

การพัฒนาฟลิกซีเซียมแคลเซียมไอโอไดด์เพื่อใช้ในการตรวจวัดรังสี



วิทยานิพนธ์นี้เป็นส่วนหนึ่งของการศึกษาตามหลักสูตรปริญญาวิทยาศาสตรมหาบัณฑิต

สาขาวิชาเทคโนโลยีนิวเคลียร์ ภาควิชาวิศวกรรมนิวเคลียร์

คณะวิศวกรรมศาสตร์ จุฬาลงกรณ์มหาวิทยาลัย

ปีการศึกษา 2563

ลิขสิทธิ์ของจุฬาลงกรณ์มหาวิทยาลัย



จุฬาลงกรณ์มหาวิทยาลัย
CHULALONGKORN UNIVERSITY

DEVELOPMENT OF CESIUM CALCIUM IODIDE CRYSTAL FOR RADIATION DETECTION



A Thesis Submitted in Partial Fulfillment of the Requirements
for the Degree of Master of Science in Nuclear Technology

Department of Nuclear Engineering

FACULTY OF ENGINEERING

Chulalongkorn University

Academic Year 2020

Copyright of Chulalongkorn University

หัวข้อวิทยานิพนธ์	การพัฒนาผลิตภัณฑ์ซีซีเอ็มเคลือบไฮโดรเจลเพื่อใช้ในการ ตรวจวัดรังสี
โดย	นายประวิทย์ บัวบาน
สาขาวิชา	เทคโนโลยีนิวเคลียร์
อาจารย์ที่ปรึกษาวิทยานิพนธ์หลัก	ผู้ช่วยศาสตราจารย์ ดร.พรรณี แสงแก้ว

คณะวิศวกรรมศาสตร์ จุฬาลงกรณ์มหาวิทยาลัย อนุมัติให้หัวข้อวิทยานิพนธ์ฉบับนี้เป็นส่วนหนึ่ง
ของการศึกษาตามหลักสูตรปริญญาวิทยาศาสตรมหาบัณฑิต

.....	คณบดีคณะวิศวกรรมศาสตร์
(ศาสตราจารย์ ดร.สุพจน์ เตชวรสินสกุล)	
คณะกรรมการสอบวิทยานิพนธ์	
.....	ประธานกรรมการ
(รองศาสตราจารย์ ดร.ศุภพงศ์ วงศ์แสง)	
.....	อาจารย์ที่ปรึกษาวิทยานิพนธ์หลัก
(ผู้ช่วยศาสตราจารย์ ดร.พรรณี แสงแก้ว)	
.....	กรรมการ
(ผู้ช่วยศาสตราจารย์ ดร.พงษ์แพทย์ เฟ่งวาณิชย์)	
.....	กรรมการภายนอกมหาวิทยาลัย
(ดร.ชัยชนา ธนชยานนท์)	

ประวิทย์ บัวบาน : การพัฒนาผลึกซีเซียมแคลเซียมไอโอไดด์เพื่อใช้ในการตรวจวัดรังสี. (DEVELOPMENT OF CESIUM CALCIUM IODIDE CRYSTAL FOR RADIATION DETECTION) อ.ที่ปรึกษาหลัก : ผศ. ดร.พรรณี แสงแก้ว

งานวิจัยนี้เป็นการพัฒนาผลึกซีเซียมแคลเซียมไอโอไดด์ (CsCaI_3) เพื่อใช้ในการตรวจวัดรังสี ผลึกซีเซียมแคลเซียมไอโอไดด์มีสัดส่วนของสารประกอบตั้งต้น คือ ซีเซียมไอโอไดด์และแคลเซียมไอโอไดด์ ($\text{CsI}:\text{CaI}_2$) ในสัดส่วนโดยน้ำหนักที่แตกต่างกัน คือ 80:20 และ 97:3 ด้วยเทคนิคการเลี้ยวเบนรังสีเอกซ์พบว่า ผลึกทั้งหมดมีโครงสร้างผลึกของรูปแบบผลึก CsI ที่มีระนาบที่โดดเด่นคือ (110) และ (211) มีค่าคงที่แลตทิซ คือ 4.5721 ± 0.0091 และ 4.5512 ± 0.0107 Å เกิดสถานะความเครียดในผลึกเมื่อเปรียบเทียบกับผลึก CsI อ้างอิง ผลึก CsCaI_3 สัดส่วน 80:20 ที่ระนาบ (110) และ (211) มีขนาดผลึก คือ 25.30 และ 25.32 nm ผลึก CsCaI_3 สัดส่วน 97:3 ที่ระนาบ (110) และ (211) มีขนาดผลึก คือ 25.10 และ 26.12 nm เห็นได้ว่าการเพิ่มปริมาณแคลเซียมไอโอไดด์ที่สูงขึ้นส่งผลทำให้การจัดเรียงระนาบของโครงสร้างผลึกมีการเปลี่ยนแปลงบ้างเพียงเล็กน้อย สำหรับการวิเคราะห์คุณสมบัติทางแสงผลึก CsCaI_3 สัดส่วน 80:20 มีจุดเริ่มโปร่งแสงที่ความยาวคลื่น 439 nm เกิดโปร่งแสงเต็มที่ร้อยละ 65 และมีค่าช่องว่างแถบพลังงาน 2.82, 3.63 และ 3.87 eV ผลึก CsCaI_3 สัดส่วน 97:3 จุดเริ่มโปร่งแสงที่ความยาว 426 nm เกิดโปร่งแสงเต็มที่ร้อยละ 49 และมีค่าช่องว่างแถบพลังงาน 2.91 และ 3.45 eV ในส่วนผลตรวจสอบการเปล่งแสงของผลึกด้วยเทคนิคโฟโตลูมิเนสเซนซ์ ผลึก CsCaI_3 สัดส่วน 80:20 และ 97:3 ความยาวคลื่นแสงที่เปล่งออกมา 458 nm โดยเปรียบเทียบผลึก CsI(Tl) มีความยาวคลื่นแสงที่เปล่งออกมา 559 nm แสดงว่าการผสมด้วยแคลเซียมทำให้การเปล่งแสงที่ความยาวคลื่นสั้นกว่า สำหรับผลการวัดรังสีแกมมาที่พลังงาน 122 keV พบว่าผลึก CsCaI_3 สัดส่วน 80:20 มีประสิทธิภาพการวัดรังสีร้อยละ 57.2 และความสามารถในการแยกพลังงานรังสีร้อยละ 79.0 สำหรับผลึก CsCaI_3 สัดส่วน 97:3 มีประสิทธิภาพการวัดรังสีร้อยละ 4.64 และความสามารถในการแยกพลังงานรังสีร้อยละ 40.3

สาขาวิชา เทคโนโลยีนิวเคลียร์

ลายมือชื่อนิสิต

ปีการศึกษา 2563

ลายมือชื่อ อ.ที่ปรึกษาหลัก

6170431021 : MAJOR NUCLEAR TECHNOLOGY

KEYWORD: BRIDGMAN-STOCKBARGER METHOD, CRYSTAL GROWTH, SCINTILLATION
DETECTOR, CALCIUM IODIDE

Prawit Buaban : DEVELOPMENT OF CESIUM CALCIUM IODIDE CRYSTAL
FOR RADIATION DETECTION. Advisor: Asst. Prof. Phannee Saengkaew,
Dr.rer.nat.

The CsI:CaI₂ crystals with 2 different compositions of 80:20 and 97:3 and CsI(Tl) for the reference scintillator were grown by Bridgeman-Stockbarger method. As the XRD results, lattice constants of CsCaI₃ crystals with 80:20 and 97:3 ratios are 4.5721 ± 0.0091 Å with the tensile strain and 4.5512 ± 0.0107 Å with the compressive strain in their crystals, respectively. Moreover, their crystallite size for (110) and (211) planes are 25.30 and 25.32 nm for the 80:20 crystal and 25.10 and 26.12 nm for the 97:3 crystal, respectively. To analyze the optical properties, in case of CsCaI₃ crystal with 80:20, the optical energy gaps are 2.83, 3.63 and 3.87 eV. For CsCaI₃ crystal with 97:3, the energy gaps are 2.91 and 3.45 eV. To investigate the emission wavelength, both CsCaI₃ crystals could emit the light of the same wavelength of 458 nm but for CsI(Tl) crystal, the emission wavelength was 559 nm. This result shows that the presence of calcium into CsI crystal could change the emission wavelength of the typical CsI:Tl crystals shifting to the blue light with the shorter wavelength. To investigate the detection efficiency of gamma-ray of 122 keV, CsCaI₃ crystal with 80:20 has the detection efficiency of 57.2% and the energy resolution of 79.0% and for CsCaI₃ crystal with 97:3, the detection efficiency of 4.64% and the energy resolution of 40.3%. In case of CsI:Tl crystal, results were the detection efficiency of 46.2% and the energy resolution of 40.2%.

Field of Study: Nuclear Technology

Student's Signature

Academic Year: 2020

Advisor's Signature

กิตติกรรมประกาศ

ขอขอบพระคุณ ผศ. ดร. พรรณี แสงแก้ว อาจารย์ที่ปรึกษาวิทยานิพนธ์ การพัฒนาผลึกซีเซียมแคลเซียมไอโอไดต์เพื่อใช้ในการตรวจวัดรังสี ซึ่งเป็นอาจารย์ที่คอยให้คำปรึกษา แนะนำทางการสนับสนุน รวมถึงการตรวจแก้วิทยานิพนธ์จนเสร็จสมบูรณ์

ขอขอบคุณ รศ. ดร. จักรพงษ์ แก้วขาว นางสาวนุชจรี คิ้วสกุลกาญจน์ และ นายนครินทร์ สิงคิบุรินทร์ คณะวิทยาศาสตร์และเทคโนโลยี มหาวิทยาลัยราชภัฏนครปฐม ที่ให้ความอนุเคราะห์ในการตรวจวิเคราะห์โครงสร้างและคุณสมบัติทางแสงของผลึก

ขอขอบคุณ อาจารย์เดโช ทองอร่าม ภาควิชาวิศวกรรมนิวเคลียร์ จุฬาลงกรณ์มหาวิทยาลัยที่ได้กรุณาสอนการติดตั้งหัววัดรังสีและการใช้งานระบบวิเคราะห์สเปกตรัมรังสี

ขอขอบคุณ นายวศิน ชิวจรัสสกุล ที่ให้คำแนะนำและช่วยเหลือในการวิจัย
สุดท้ายขอขอบคุณผู้ให้การสนับสนุนทุนวิจัยในครั้งนี้เป็นอย่างสูง

ประวิทย์ บัวบาน



จุฬาลงกรณ์มหาวิทยาลัย
CHULALONGKORN UNIVERSITY

สารบัญ

	หน้า
บทคัดย่อภาษาไทย.....	ค
บทคัดย่อภาษาอังกฤษ.....	ง
กิตติกรรมประกาศ.....	จ
สารบัญ.....	ฉ
สารบัญตาราง.....	ญ
สารบัญภาพ	ฎ
บทที่ 1 บทนำ.....	1
1.1 ที่มาและความสำคัญ.....	1
1.2 วัตถุประสงค์ของงานวิจัย	2
1.3 ขอบเขตของการวิจัย.....	2
1.4 วิธีการดำเนินงานและขั้นตอนการวิจัย	2
1.5 ประโยชน์ที่คาดว่าจะได้รับ.....	2
1.6 สถานที่ทำการวิจัย.....	2
บทที่ 2 ทฤษฎี.....	6
2.1 อันตรกิริยาของรังสีแกมมากับสสาร	6
2.1.1 ปฏิกิริยาการณโฟโตอิเล็กทริก.....	6
2.1.2 ปฏิกิริยาการณคอมป์ตัน	7
2.1.3 แพร่โพรงตักชัน	7
2.2 เครื่องวัดรังสีและหัววัดรังสีชนิดเรืองแสง	8
2.2.1 เครื่องวัดรังสี.....	8
2.2.2 หัววัดรังสีชนิดชนิดเรืองแสง.....	10

2.2.3	ผลึกและความเป็นผลึก	11
2.3	การตรวจสอบคุณภาพผลึก	14
2.3.1	เทคนิคการเลี้ยวเบนรังสีเอกซ์ (X-Ray Diffract meter, XRD).....	14
2.3.2	เทคนิคโฟโตลูมิเนสเซนซ์ (Photoluminescence).....	17
2.3.3	เทคนิคการส่องผ่านและดูดกลืนแสงอัลตราไวโอเล็ตและแสง (UV-Vis).....	18
2.4	การตรวจสอบคุณภาพการวัดรังสี.....	20
2.4.1	ประสิทธิภาพการวัดรังสี	20
2.4.2	ความสามารถในการแยกพลังงานรังสี	21
2.5	การปลูกผลึกด้วยวิธีบริดจ์แมน-สต็อกบาร์เกอร์ (Bridgman–Stock Barger).....	22
บทที่ 3	การปลูกผลึกแบบบริดจ์แมน-สต็อกบาร์เกอร์	24
3.1	ข้อมูลพื้นฐานของสารที่ใช้ในการปลูกผลึก.....	24
3.2	เตาปลูกผลึกที่พัฒนาเตามาจากวิธีบริดจ์แมน-สต็อกบาร์เกอร์.....	26
3.2.1	ชุดเตาหลอมระบบ 2 โซน.....	27
3.2.2	ระบบควบคุมอุณหภูมิ	29
3.2.3	ระบบบันทึกข้อมูลหาเกรเดียนต์อุณหภูมิ.....	30
3.2.4	ระบบปั๊มสุญญากาศและระบบควบคุมก๊าซอาร์กอน	31
3.2.5	ภาชนะปลูกผลึก (Crucible).....	32
3.3	การติดตั้งผลึกเข้ากับหลอดทวีคูณแสง (PMT) และระบบวิเคราะห์สเปกตรัมรังสี	33
3.3.1	การติดตั้งผลึกกับหลอดทวีคูณแสง(PMT)	33
บทที่ 4	การทดลองและผลการทดลอง.....	36
4.1	การทดสอบคุณลักษณะของเตาปลูกผลึก	36
4.2	การทดลองปลูกผลึก	39
4.2.1	วัสดุที่ใช้ในการทดลองปลูกผลึก.....	39
4.2.2	การเตรียมสารตั้งต้นสำหรับการปลูกผลึก	39

4.2.3 การปลูกผลึกแบบบริดจ์แมนสโต๊กบาร์เกอร์.....	40
4.2.4 ผลการปลูกผลึก.....	42
4.3 การทดสอบความเป็นผลึก.....	44
4.4 ผลการวิเคราะห์การเรืองแสงของผลึก.....	47
4.4 ผลการวิเคราะห์การส่องผ่านและการดูดกลืนแสงของผลึก.....	50
4.5 ผลการทดสอบประสิทธิภาพการวัดรังสีของผลึก.....	53
บทที่ 5 สรุปและวิจารณ์ผลการวิจัย.....	59
5.1 สรุปผลการวิจัย.....	59
5.2 วิจารณ์ผลการทดลอง.....	60
5.3 ข้อเสนอแนะ.....	61
ภาคผนวก.....	63
ภาคผนวก ก.....	64
คุณสมบัติของซีเซียมไดโอด และแทลเลียมไอโอดด์.....	64
ภาคผนวก ข.....	67
คุณสมบัติสมบัติของขดลวดความร้อน.....	67
ภาคผนวก ค.....	70
คุณสมบัติของอิฐทนไฟ.....	70
ภาคผนวก ง.....	71
ข้อมูลอุปกรณ์ควบคุมอุณหภูมิ.....	71
ภาคผนวก จ.....	74
ข้อมูลการกำหนดของหลอดทวิคูณแสง.....	74
ภาคผนวก ฉ.....	76
ฐานข้อมูล XRD ของ CsI.....	76
บรรณานุกรม.....	78

ประวัติผู้เขียน..... 81



จุฬาลงกรณ์มหาวิทยาลัย
CHULALONGKORN UNIVERSITY

สารบัญตาราง

	หน้า
ตารางที่ 2.1 คุณสมบัติทางแสงที่ดีของผลึก.....	13
ตารางที่ 2.2 คุณสมบัติทางแสงของผลึกชนิดสารอนินทรีย์ที่มีการใช้งานทั่วไป	14
ตารางที่ 4.1 เงื่อนไขการตั้งค่าอุณหภูมิสำหรับการปลูกผลึก.....	37
ตารางที่ 4.2 ปริมาณของน้ำหนักรังสีตั้งต้นที่ใช้ปลูกผลึกทั้งสามก้อน	40
ตารางที่ 4.3 เงื่อนไขของอุณหภูมิที่ใช้การปลูกผลึก	42
ตารางที่ 4.4 เปรียบเทียบค่าแลตทิซ ขนาดผลึก และเปอร์เซ็นต์ความเครียดของผลึกทั้งสาม	44
ตารางที่ 4.5 ผลการวิเคราะห์ด้วยเทคนิคโฟโตลูมิเนสเซนซ์ของผลึกทั้งสาม.....	47
ตารางที่ 4.6 ผลการวิเคราะห์การส่องผ่านแสง และค่าช่องว่างแถบพลังงานของทั้งสามผลึก.....	50
ตารางที่ 4.7 ประสิทธิภาพการวัดรังสีแกมมาพลังงาน 122 keV และความสามารถในการแยกพลังงานรังสีของผลึกทั้งสามก้อน ที่ระยะวัด 3 เซนติเมตร.....	54

สารบัญภาพ

	หน้า
ภาพที่ 2.1 อันตรกิริยาของโฟตอนกับสสาร	8
ภาพที่ 2.2 ส่วนประกอบหลักของระบบนับวัดปริมาณรังสีที่มีหัววัดรังสีชนิดเรืองแสง	9
ภาพที่ 2.3 กระบวนการเรืองแสงของของผลึกวัดรังสี	11
ภาพที่ 2.4 การเติมสารเจือเพื่อเปลี่ยนค่าช่องว่างแถบพลังงาน	12
ภาพที่ 2.5 ความสัมพันธ์ระหว่างค่าปริมาณแสงที่อุณหภูมิต่างๆของผลึกชนิดอินทรีย์	13
ภาพที่ 2.6 การเลี้ยวเบนของรังสีเอกซ์ภายในช่องว่างอะตอมของผลึกหรือสารตัวอย่าง	15
ภาพที่ 2.7 การวิเคราะห์ด้วยเทคนิคการเลี้ยวเบนรังสีเอกซ์ (b) ค่าความเข้มของรังสีเอกซ์ที่เกิดการเลี้ยวเบนที่ค่ามุมต่างๆ	15
ภาพที่ 2.8 ส่วนประกอบหลักของวิเคราะห์ผลึกหรือสารตัวอย่างด้วยเทคนิคโฟโตลูมิเนสเซนซ์	17
ภาพที่ 2.9 การกระตุ้นและการเปล่งความยาวคลื่นแสงด้วยเทคนิคโฟโตลูมิเนสเซนซ์	17
ภาพที่ 2.10 การทำงานของเครื่อง UV-Vis spectrophotometer	18
ภาพที่ 2.11 (a) ค่าความสัมพันธ์ระหว่างรอยละการส่องผ่านที่ค่าความยาวคลื่นแสงต่างๆ (b) ค่าช่องว่างแถบพลังงานที่หาได้จากวิธีของ Tauc's plot	19
ภาพที่ 2.12 ระบบการวิเคราะห์สเปกตรัมรังสี	20
ภาพที่ 2.13 ค่า Full-Width-at-Half-Maximum (FWHM) สำหรับคำนวณหาความสามารถในการแยกพลังงานรังสี	21
ภาพที่ 2.14 เกรตเดียนของอุณหภูมิ (Temperature gradient) ที่เกิดขึ้นภายในเตาปลูกผลึก	22
ภาพที่ 2.15 การเกิดผลึกด้วยวิธีแบบบริดจ์แมน-สต็อกบาร์เกอร์	23
ภาพที่ 3.1 สารตั้งต้น CsI, CaI ₂ และ Tl ที่ใช้ในการปลูกผลึก	25
ภาพที่ 3.2 โครงสร้างผลึก CsI, CaI ₂ และ Tl	25
ภาพที่ 3.3 ระบบเตาปลูกผลึกแบบบริดจ์แมน-สต็อกบาร์เกอร์	26
ภาพที่ 3.4 แผนผังส่วนประกอบเตาปลูกผลึกแบบบริดจ์แมน-สต็อกบาร์เกอร์	27

ภาพที่ 3.5 เต้าปลุกผลึก 2 โชน 28

ภาพที่ 3.6 เต้าหลอมที่มีขดลวดให้ความร้อนภายใน 29

ภาพที่ 3.7 ระบบควบคุมและบันทึกอุณหภูมิ 30

ภาพที่ 3.8 ระบบปั๊มสุญญากาศและระบบควบคุมก๊าซอาร์กอน 31

ภาพที่ 3.9 หลอดแก้วควอทซ์สำหรับใช้เป็นภาชนะปลุกผลึก 32

ภาพที่ 3.10 ชุดอุปกรณ์สำหรับเชื่อมต่อหลอดแก้วควอทซ์และระบบสุญญากาศ 33

ภาพที่ 3.11 ส่วนประกอบของหัววัดรังสีชนิดเรืองแสง 33

ภาพที่ 3.12 การติดตั้งผลึกเข้ากับหลอดทวิคูณแสง 34

ภาพที่ 3.13 แหล่งกำเนิดรังสีแกมมาสำหรับวิเคราะห์คุณภาพหัววัดรังสี 35

ภาพที่ 3.14 เครื่องวิเคราะห์สเปกตรัมรังสีแกมมาแบบหลายช่องพลังงาน (MCA) 35

ภาพที่ 4.1 กราฟโปรไฟล์อุณหภูมิตลอดการปลุกผลึกของผลึก CsCal₃ สัดส่วน CsI=80%, Cal₂=20% 37

ภาพที่ 4.2 กราฟโปรไฟล์อุณหภูมิตลอดช่วงการปลุกผลึกของผลึก CsCal₃ สัดส่วน CsI=97%, Cal₂=3% 38

ภาพที่ 4.3 กราฟโปรไฟล์อุณหภูมิตลอดช่วงการปลุกผลึกของผลึก CsI(Tl) 38

ภาพที่ 4.4 สารตั้งต้นที่บรรจุในหลอดแก้วควอทซ์ 39

ภาพที่ 4.5 ภาชนะปลุกผลึกขณะอยู่ในเต้าหลอม 41

ภาพที่ 4.6 ผลึกที่อยู่ในแก้วควอทซ์ของผลึก CsCal₃ ที่สัดส่วน 80:20 97:3 ของ CsI:Cal₂ และผลึก CsI(Tl) 43

ภาพที่ 4.7 การเรืองแสงของผลึกภายใต้การกระตุ้นด้วยแสงยูวี 43

ภาพที่ 4.8 ผลวิเคราะห์ผลึก CsCal₃ สัดส่วน 80:20 ของ CsI:Cal₂ ด้วยเทคนิคการเลี้ยวเบนรังสีเอกซ์ 45

ภาพที่ 4.9 ผลวิเคราะห์ผลึก CsCal₃ สัดส่วน 97:3 ของ CsI:Cal₂ ด้วยเทคนิคการเลี้ยวเบนรังสีเอกซ์ 46

ภาพที่ 4.10 ผลวิเคราะห์ผลึก CsI(Tl) เจือสาร Tl 0.35 % ด้วยเทคนิคการเลี้ยวเบนรังสีเอกซ์ 46

ภาพที่ 4.11 ผลวิเคราะห์ผลึก CsCa ₃ สัดส่วน 80:20 97:3 ของ CsI:Ca ₂ และผลึก CsI(Tl) เจือสาร Tl 0.35 % ด้วยเทคนิคการเลี้ยวเบนรังสีเอกซ์.....	47
ภาพที่ 4.12 ความยาวคลื่นที่กระตุ้นและเปล่งออกมาของผลึก CsCa ₃ สัดส่วน 80:20 ของ CsI:Ca ₂ ด้วยเทคนิคโฟโตลูมิเนสเซนซ์.....	48
ภาพที่ 4.13 ความยาวคลื่นที่กระตุ้นและเปล่งออกมาของผลึก CsCa ₃ สัดส่วน 97:3 ของ CsI:Ca ₂ ด้วยเทคนิคโฟโตลูมิเนสเซนซ์.....	48
ภาพที่ 4.14 ความยาวคลื่นที่กระตุ้นและเปล่งออกมาของผลึก CsI(Tl) ด้วยเทคนิคโฟโตลูมิเนสเซนซ์	49
ภาพที่ 4.15 ความยาวคลื่นแสงที่เปล่งออกมาของผลึกทั้งสามก้อนด้วยเทคนิคโฟโตลูมิเนสเซนซ์	49
ภาพที่ 4.16 การส่องผ่านแสงและช่องว่างแถบพลังงานทางแสงของผลึก CsCa ₃ สัดส่วน 80:20 ของ CsI:Ca ₂	51
ภาพที่ 4.17 การส่องผ่านแสงและช่องว่างแถบพลังงานทางแสงของผลึก CsCa ₃ สัดส่วน 897:3 ของ CsI:Ca ₂	51
ภาพที่ 4.18 ผลการส่องผ่านแสงและช่องว่างแถบพลังงานทางแสงของผลึก CsI(Tl).....	52
ภาพที่ 4.19 การค่าตอบสนองการส่องผ่านแสงของผลึกทั้งสามก้อน	52
ภาพที่ 4.20 ค่าช่องว่างแถบพลังงานทางแสงของผลึกทั้งสามก้อนด้วยเทคนิค UV-visible.....	53
ภาพที่ 4.21 สเปกตรัมรังสีแกมมาพลังงาน 122 กิโลอิเล็กตรอนโวลต์ของผลึก CsCa ₃ :CsI=80%,Ca ₂ =20% โดยวัดที่ระยะ 3 เซนติเมตร.....	55
ภาพที่ 4.22 สเปกตรัมรังสีแกมมาพลังงาน 122 กิโลอิเล็กตรอนโวลต์ของผลึก CsCa ₃ :CsI=97%,Ca ₂ =3% โดยวัดที่ระยะ 3 เซนติเมตร.....	55
ภาพที่ 4.23 สเปกตรัมรังสีแกมมาพลังงาน 122 กิโลอิเล็กตรอนโวลต์ของผลึก CsI(Tl) โดยวัดที่ระยะ 3 เซนติเมตร.....	56
ภาพที่ 4.24 สเปกตรัมรังสีแกมมาพลังงาน 122 กิโลอิเล็กตรอนโวลต์ของผลึกทั้งสามก้อน วัดที่ระยะ 3 เซนติเมตร.....	56
ภาพที่ 4.25 สเปกตรัมรังสีแกมมาพลังงาน 122 กิโลอิเล็กตรอนโวลต์ของผลึก CsCa ₃ :CsI=80%,Ca ₂ =20% วัดที่ระยะ 0-15 เซนติเมตร.....	57

ภาพที่ 4.26 สเปกตรัมรังสีแกมมาพลังงาน 122 กิโลอิเล็กตรอนโวลต์ของผลึก CsCaI ₃ :CsI=97%,CaI ₂ =3% วัดที่ระยะ 0-15 เซนติเมตร	57
ภาพที่ 4.27 สเปกตรัมรังสีแกมมาพลังงาน 122 กิโลอิเล็กตรอนโวลต์ของผลึก CsI(Tl) วัดที่ระยะ 0- 15 เซนติเมตร	58



บทที่ 1

บทนำ

1.1 ที่มาและความสำคัญ

หัวเว็ดรังสีที่ใช้อยู่ ณ ปัจจุบันแบ่งได้เป็นหลายประเภทและมีหลากหลายชนิด และที่นิยมใช้งานกันมากชนิดหนึ่งคือหัวเว็ดรังสีชนิดเรืองแสงการพัฒนาหัวเว็ดรังสีชนิดเรืองแสงเพื่อให้มีประสิทธิภาพและความสามารถในการตรวจวัดรังสีที่ดีตรงตามวัตถุประสงค์การนำไปใช้งานที่หลากหลายด้าน ทั้งงานด้านการแพทย์ ด้านอุตสาหกรรม ด้านความปลอดภัยทางนิวเคลียร์และรังสี และอื่น ๆ ซึ่งหัวเว็ดรังสีชนิดเรืองแสงมีส่วนประกอบที่สำคัญที่สุดคือ ฟิล์มเรืองแสงเป็นส่วนทำอันตรกิริยากับรังสีแล้วแปลงเป็นสัญญาณทางไฟฟ้า เข้าสู่ระบบวิเคราะห์สัญญาณ และแสดงผลเป็นค่านับวัดทางรังสี ดังนั้นฟิล์มเรืองแสงนี้จึงเป็นส่วนที่ถูกศึกษาพัฒนาให้ดียิ่งขึ้นอย่างต่อเนื่อง ในการปรับปรุงคุณภาพและคุณสมบัติทางแสงของฟิล์ม รวมถึงศึกษาสังเคราะห์ฟิล์มชนิดใหม่ มีหลายกลุ่มวิจัยที่ศึกษาการปลูกฟิล์มแคลเซียมไอโอไดต์ (CaI_2) ร่วมกับสารประกอบชนิดอื่นแล้วให้คุณสมบัติเป็นหัวเว็ดรังสีชนิดเรืองแสงที่ดี อาทิ เช่น อัตราการเรืองแสงต่อพลังงานรังสีสูง ค่าความหนาแน่นสูง ความยาวคลื่นแสงที่เปล่งออกมาอยู่ในช่วงตอบสนองของอุปกรณ์รับแสง มีความเสถียรต่อความชื้น เป็นต้น (Yanagida, 2018) ด้วยว่า แคลเซียมไอโอไดต์มีอัตราการเรืองแสงต่อพลังงานรังสี (Iida et al., 2020; Stand et al., 2019) แต่จะมีปัญหาเรื่องความชื้นได้ง่าย (Iida et al., 2020) งานวิจัยมีวัตถุประสงค์ในการวิจัยพัฒนาสังเคราะห์ปลูกฟิล์มซีเซียมแคลเซียมไอโอไดต์ ($CsCaI_3$) โดยที่ใช้ซีเซียมไอโอไดต์เป็นวัสดุตั้งต้นหลักเพราะว่าเป็นสารประกอบเรืองแสงที่มีคุณสมบัติทางโครงสร้างผลึกและคุณสมบัติทางแสงที่ดี ความแข็งแรงทนทานต่อการใช้งาน ความทนทานต่อการได้รับรังสี เสถียรภาพต่อความชื้นในอากาศ และเมื่อประกอบเป็นหัวเว็ดรังสีจึงมีประสิทธิภาพและประสิทธิผลการตรวจวัดรังสีได้ดี (Zhang, Zhao, Li, & Ouyang, 2016; Zhao, Zhang, & Ouyang, 2017) โดยงานวิจัยนี้ศึกษาถึงผลเนื่องจากการเปลี่ยนแปลงสัดส่วนของสารประกอบตั้งต้นสองชนิดนี้ที่ทำให้เกิดการเปลี่ยนแปลงคุณสมบัติทางโครงสร้างและคุณสมบัติทางแสงของฟิล์มซีเซียมแคลเซียมไอโอไดต์ได้ ซึ่งทำการปลูกฟิล์มโดยวิธีบริดจ์แมน-สโตคบาร์เกอร์ (Bridgeman-Stock Barger) ฟิล์มที่ปลูกได้นำไปตรวจสอบคุณสมบัติทางโครงสร้าง ตรวจสอบคุณสมบัติทางแสง ช่องว่างแถบพลังงานทางแสง (Optical energy band gap) และ คุณสมบัติการเปล่งแสง (Light emission) ของฟิล์ม เมื่อได้สัดส่วนของสารประกอบตั้งต้นที่เหมาะสมแล้ว จึงนำไปประกอบเป็นหัวเว็ดรังสีเพื่อทดสอบหาประสิทธิภาพหัวเว็ดรังสีและความสามารถในการแยกพลังงานรังสี

1.2 วัตถุประสงค์ของงานวิจัย

เพื่อพัฒนาผลึกซีเซียมแคลเซียมไอโอไดต์สำหรับใช้ในการตรวจวัดรังสี

1.3 ขอบเขตของการวิจัย

1. ปรับการควบคุมอุณหภูมิสำหรับหาโปรไฟล์อุณหภูมิของการปลูกผลึก
2. ปลูกผลึกซีเซียมแคลเซียมไอโอไดต์ โดยวิธีบริดจ์แมน-สต็อกบาร์เกอร์ ที่มีอัตราส่วนของซีเซียมไอโอไดต์และแคลเซียมไอโอไดต์ ดังนี้ 20:80, 80:20 โดยน้ำหนัก
3. ตรวจสอบโครงสร้างและคุณสมบัติทางแสงของผลึก
4. หาประสิทธิภาพและความสามารถในการแยกพลังงานของการตรวจวัดรังสีของผลึก

1.4 วิธีการดำเนินงานและขั้นตอนการวิจัย

1. ศึกษาค้นคว้าข้อมูลและงานวิจัยที่เกี่ยวข้อง
2. ศึกษาวิธีการปลูกผลึกโดยวิธีบริดจ์แมน-สต็อกบาร์เกอร์
3. จัดเตรียมอุปกรณ์และทำการทดลองปลูกผลึก
4. ตรวจสอบคุณสมบัติของผลึก (โครงสร้างและคุณสมบัติทางแสงของผลึก) และตรวจวัดประสิทธิภาพและความสามารถในการแยกพลังงานของผลึก
6. สรุปผลและทำรายงานรูปเล่มวิทยานิพนธ์

1.5 ประโยชน์ที่คาดว่าจะได้รับ

ได้แนวทางในการปลูกผลึกซีเซียมแคลเซียมไอโอไดต์สำหรับใช้ในการตรวจวัดรังสี

1.6 สถานที่ทำการวิจัย

1. ภาควิชาวิศวกรรมนิวเคลียร์ คณะวิศวกรรมศาสตร์ จุฬาลงกรณ์มหาวิทยาลัย
2. คณะวิทยาศาสตร์และเทคโนโลยี มหาวิทยาลัยราชภัฏนครปฐม

1.7 งานวิจัยที่เกี่ยวข้อง

1. ปี 2019 Takashi Iida, Takashi Iida, Kei Kamada, Masao Yoshino, Kyoung Jin Kim, Koichi Ichimura, Akira Yoshikawa ปลูกผลึก CaI_2 ด้วยวิธีปลูกผลึกด้วยวิธีบริดจ์แมน-สต็อกบาร์เกอร์ ผลึกที่ได้มีขนาด $5 \times 5 \times 1$ ลูกบาศก์มิลลิเมตร ผลึกใสแต่มีรอยแตกร้าว เมื่อทดสอบคุณสมบัติทางแสง ความยาวคลื่นที่เปล่งออกมา คือ 410 นาโนเมตร ซึ่งความยาวคลื่นอยู่ภายในช่วงการตอบสนองของอุปกรณ์รับแสงหรือหลอดทิวคูนออิเล็กทรอนิกส์ ค่าปริมาณแสง 107,000 Ph/MeV หรือประมาณ 2.7 เท่าของผลึก NaI(Tl) และความสามารถในการแยกพลังงานรังสี 3.2 % ที่พลังงาน 662 keV

2. ปี ค.ศ. 2018 L. Standa, M. Zhuravleva, B. Chakoumakos, H. Weia, J. Johnsona, V. Martin, M. Loyd, D. Rutstrom, W. McAlexander, Y. Wu, M. Koschan, C.L. Melcher ปลูกผลึก $\text{CsCaBrI}_2:\text{Eu}$ 7% ด้วยวิธีบริดจ์แมน-สต็อกบาร์เกอร์ ตั้งค่าอุณหภูมิโซนสูงและต่ำที่ 720/600 °C อุณหภูมิโซนปลูกผลึกคือ 671 °C อัตราการลดลงของอุณหภูมิ 5 °C/hr อัตราการตกผลึก 1 mm/hr ผลึกขนาด $8 \times 8 \times 20$ ลูกบาศก์มิลลิเมตร มีลักษณะโปร่งแสง เมื่อทดสอบโครงสร้างผลึกด้วยเทคนิคการเลี้ยวเบนรังสีเอกซ์ โครงสร้างเป็นแบบคิวบิก และผลการตรวจสอบคุณสมบัติทางแสงผลึก ความยาวคลื่นแสงที่เปล่งออกมาคือ 462 นาโนเมตร ค่าปริมาณรังสีแสง 51,800 Ph/MeV และความสามารถในการแยกพลังงานรังสี 3.8 % ที่พลังงาน 662 keV

3. ปี พ.ศ. 2560 อิมรอน วาเด็ง จุฬาลงกรณ์มหาวิทยาลัย ได้การพัฒนาผลึกซีเซียมไอโอไดด์ โดยเทคนิคการเจือสารร่วมหลายชนิด ปลูกผลึกแบบบริดจ์แมน-สต็อกบาร์เกอร์ ผลการทดสอบคุณลักษณะเตาปลูก โดยผลึก CsI(Tl) มีการตอบสนองต่ออัตราการเพิ่มอุณหภูมิเข้าสู่สภาวะเสถียรของอุณหภูมิในเวลา 7 ชั่วโมง และ 5 ชั่วโมงสำหรับ CsI(Ca) และ CsI(Tl,Ca) ผลวิเคราะห์คุณสมบัติเฉพาะของผลึกโดยTlและCa สัดส่วนร้อยละ0.35 โดยน้ำหนัก พบว่าผลึกทั้งสามมีโครงสร้างผลึกแบบพหุสัณฐานและโครงสร้างการจัดเรียงตัวเด่นชัดที่ระนาบ(110) คุณสมบัติทางแสงของผลึก CsI(Tl) , CsI(Ca) และ CsI(Tl,Ca) มีการเปล่งแสงที่ความยาวคลื่น 590 นาโนเมตร 425 นาโนเมตร และ 452 นาโนเมตร ตามลำดับ คุณสมบัติการส่องผ่านแสง พบผลึก CsI(Tl) มีการตอบสนองดีที่สุดที่ความยาวคลื่น 560 นาโนเมตร ซึ่งมีความสัมพันธ์กับค่าแถบช่องว่างพลังงาน 2.21 eV สำหรับผลึก CsI(Ca) มีการตอบสนองที่ความยาวคลื่นที่ 430 นาโนเมตร ค่าแถบช่องว่างพลังงาน 2.95 eV และผลึก CsI(Tl,Ca) มีการตอบสนองความยาวคลื่นที่ 500 นาโนเมตร ค่าแถบช่องว่างพลังงาน 2.48 eV และผลการวัดสเปกตรัมของรังสีแกมมาพลังงาน 122 keV พบว่า ผลึกCsI(Tl) , CsI(Ca) และ

CsI(Tl,Ca) มีประสิทธิภาพการวัดรังสีร้อยละ 81, 60, 89 โดยมีค่าความสามารถในการแยกพลังงานรังสี คือ 27.8%, 60.38% และ 40.98 % ตามลำดับ

4. ปี ค.ศ. 2013 Mikhail S. Alekhin, Daniel A. Biner, Karl W. Kramer และ Pieter Dorenbos ปลูกผลึกโดยการเจือสาร Ca^{2+} ในผลึก $\text{LaBr}_3: 5\% \text{Ce}^{3+}$ ปลูกผลึกปลูกด้วยวิธีบริดจ์แมน-สต็อกบาร์เกอร์ และผลตรวจสอบคุณสมบัติทางแสง พบว่าผลึกมีค่าการเปล่งแสงที่ความยาวคลื่น 350-420 นาโนเมตร และค่าปริมาณแสง 71000 Ph/MeV ค่าความสามารถในการแยกพลังงานรังสี 2.9 % ที่พลังงาน 662 keV เมื่อนำไปทดสอบด้วยพลังงานรังสีที่ต่ำกว่า ผลค่าความสามารถในการแยกพลังงานรังสีคือ 8.2% ที่พลังงาน 60 keV และ 11.5% ที่พลังงาน 32 keV

5. ปี ค.ศ. 2012 Mariya Zhuravleva, Bonnie Blalock, KanYang, Merry Koschan, Charles L. Melcher ปลูกผลึก $\text{CsCa}_3\text{:Eu}$ และ $\text{CsCaCl}_3\text{:Eu}$ ด้วยวิธีบริดจ์แมน-สต็อกบาร์เกอร์ โดยให้อุณหภูมิที่ตำแหน่งปลูกผลึกอุณหภูมิ 686 และ 910 °C ตามลำดับ โดยให้อุณหภูมิคงที่เป็นเวลา 12 ชั่วโมง โดยเกรเดียนต์อุณหภูมิมีค่า 19.69 °C/cm ใช้อัตราการลดลงของอุณหภูมิ 5 °C /hr ได้อัตราการตกผลึก 1 mm/hr ผลึกมีขนาดเส้นผ่านศูนย์กลาง 1.2 เซนติเมตร และความยาว 4 และ 5 เซนติเมตรตามลำดับ ผลึกมีลักษณะโปร่งแสง เมื่อตรวจสอบโครงสร้างด้วยเทคนิคการเลี้ยวเบนรังสีเอกซ์ โครงสร้างเป็นแบบ orthorhombic และคิวบิก ตามลำดับ และผลตรวจสอบคุณสมบัติทางแสง พบว่าผลึกทั้งสองมีค่าความยาวคลื่นแสงที่เปล่งออกมาคือ 450 นาโนเมตร และค่าปริมาณแสง 38,500 และ 18,000 Ph/MeV ตามลำดับ และมีค่าความสามารถในการแยกพลังงานรังสี 8 % และ 8.9 ที่พลังงาน 662 keV

6. ปี ค.ศ. 1998 S. S. Novosad ปลูกผลึก CaI_2 ซึ่งเจือสารด้วยหมู่โลหะ คือ Fe^{2+} , Co^{2+} และ N^{2+} ด้วยเปอร์เซ็นต์สารเจือที่ค่าต่างๆ ปลูกผลึกด้วยวิธีสต็อกบาร์เกอร์ เมื่อนำผลึกที่ได้ไปตรวจสอบสเปกตรัมและคุณสมบัติทางแสง ผลึก CaI_2 ที่เจือด้วยสารหมู่โลหะมีแนวโน้มให้ค่าปริมาณแสงที่วัดได้มีค่าน้อยลงเมื่อเพิ่มความเข้มข้นของสารเจือ และค่าความสามารถในการแยกพลังงานรังสีมีค่าแย่ง แต่ช่วงความยาวคลื่นที่เปล่งออกมามีค่าที่แตกต่างกันเพียงเล็กน้อย โดยที่ผลึก CaI_2 ซึ่งเป็นผลึกอ้างอิงวัดค่าปริมาณแสงเป็น 1.7 เท่า ของ NaI(Tl) ความยาวคลื่นแสงที่เปล่งออกมาในช่วง 410-425 นาโนเมตร และค่าความสามารถในการแยกพลังงานรังสี 27% ที่พลังงาน 17.4 keV ผลึก CaI_2 (0.01 mol % FeCl_2) ค่าปริมาณแสง 0.73 เท่าของผลึกอ้างอิง และค่าความสามารถในการแยกพลังงานรังสี 43 % ที่พลังงาน 17.4 keV ผลึก CaI_2 (1.0 mol % FeCl_2) ค่าปริมาณแสงเป็น 0.21 เท่าของผลึกอ้างอิง และค่าความสามารถในการแยกพลังงานรังสี 80 % ที่พลังงาน 17.4 keV ผลึก

CaI_2 (0.03 mol % CoCl_2) ค่าปริมาณแสงเป็น 0.5 เท่าของผลึกอ้างอิง และค่าความสามารถในการแยกพลังงานรังสี 45 % ที่พลังงาน 17.4 keV ผลึก CaI_2 (1.5 mol % CoCl_2) ค่าปริมาณแสงเป็น 0.14 เท่าของผลึกอ้างอิง และค่าความสามารถในการแยกพลังงานรังสี 17.4 keV ผลึก CaI_2 (0.01 mol % NiI_2) ค่าปริมาณแสงเป็น 0.47 เท่าของผลึกอ้างอิง และค่าความสามารถในการแยกพลังงานรังสี 48 % ที่พลังงาน 17.4 keV และผลึก CaI_2 (0.1 mol % NiI_2) ค่าปริมาณแสงเป็น 0.2 เท่าของผลึกอ้างอิงและค่าความสามารถในการแยกพลังงานรังสี 95% ที่พลังงาน 17.4 keV



บทที่ 2

ทฤษฎี

2.1 อันตรกิริยาของรังสีแกมมา กับสสาร

รังสีแกมมาหรือรังสีเอกซเรย์อาจเรียกรวมว่าโฟตอน (Photon) หมายถึง กลุ่มของพลังงานในรูปคลื่นแม่เหล็กไฟฟ้า อันตรกิริยาของโฟตอนจะขึ้นอยู่กับปัจจัยหลายอย่าง เช่น พลังงานของโฟตอน เลขมวลของสสาร โฟตอนอาจเกิดอันตรกิริยากับอิเล็กตรอน นิวเคลียส หรือสนามไฟฟ้าของนิวเคลียส ซึ่งอาจเป็นการชนแบบยืดหยุ่น และการชนแบบไม่ยืดหยุ่น ส่วนอันตรกิริยาที่เกิดกับนิวเคลียสของสสารนั้นโฟตอนต้องมีพลังงานสูงมาก ซึ่งรังสีแกมมาจากนิวเคลอ์ดกัมมันตรังสีมีพลังงานไม่สูงพอ จึงไม่สามารถทำให้เกิดอันตรกิริยานี้ อันตรกิริยาของโฟตอนกับสสารที่สำคัญได้แก่ ปฏิกิริยาการแผ่รังสีคอมป์ตัน ปฏิกิริยาการเกิดโฟโตอิเล็กทริก ปฏิกิริยาการเกิดคู่อิเล็กตรอน และแพร่โพรงแตกชั้น

2.1.1 ปฏิกิริยาการเกิดโฟโตอิเล็กทริก

ปฏิกิริยาการเกิดโฟโตอิเล็กทริกเกิดขึ้นเมื่อโฟตอนถ่ายเทพลังงานให้กับอะตอมของสสาร หากพลังงานที่ถ่ายเทให้กับอิเล็กตรอนสูงกว่าพลังงานยึดเหนี่ยวของอิเล็กตรอนในวงนั้น อิเล็กตรอนจะหลุดออกจากอะตอมได้ ซึ่งเรียกอิเล็กตรอนนี้ว่าโฟโตอิเล็กตรอน โดยโฟโตอิเล็กตรอนจะมีพลังงานจลน์เท่ากับผลต่างของพลังงานโฟตอนกับพลังงานยึดเหนี่ยว ความถี่ต่ำสุดของโฟตอนที่สามารถทำให้เกิดโฟโตอิเล็กตรอนในสสารใดๆได้ เรียกว่า ความถี่ขีดเริ่ม (Threshold frequency) ซึ่งพลังงานจลน์และจำนวนของโฟโตอิเล็กตรอนจะมีค่าเพิ่มขึ้น เมื่อโฟตอนมีพลังงานและความเข้มของโฟตอนสูงขึ้น ปฏิกิริยาการเกิดโฟโตอิเล็กทริกนี้มีโอกาสเกิดขึ้นได้มากเมื่อโฟตอนพลังงานต่ำทำอันตรกิริยากับสสารที่มีเลขเชิงอะตอมสูง (high atomic number) เมื่อโฟโตอิเล็กตรอนหลุดออกจากอะตอมของสสารจะเกิดคู่อิออนขึ้นเช่นเดียวกับการแตกตัวเป็นคู่อิออน โฟโตอิเล็กตรอนมีสมบัติเช่นเดียวกับอนุภาคบีตา ซึ่งจะทำอันตรกิริยาต่อไปได้อีก สำหรับโฟตอนที่มีพลังงานสูง โฟโตอิเล็กตรอนจะมีทิศทางการเคลื่อนที่ในแนวเดียวกับโฟตอน และจะทำมุมกับแนวการเคลื่อนที่ของโฟตอน เมื่อโฟตอนมีพลังงานต่ำโอกาสการเกิดปฏิกิริยาการเกิดโฟโตอิเล็กทริกพิจารณาจากค่าภาคตัดขวางของพลังงานโฟตอนและสสารนั้นๆ

$$\sigma = \frac{CZ^5}{E^3} \quad (2.1)$$

σ คือ ภาคตัดขวางปฏิกิริยาการเกิดโฟโตอิเล็กทริก (Photoelectric cross-section) Z คือ เลขอะตอม (Atomic number) E คือ พลังงานของโฟตรอน (eV)

2.1.2 ปรากฏการณ์คอมป์ตัน

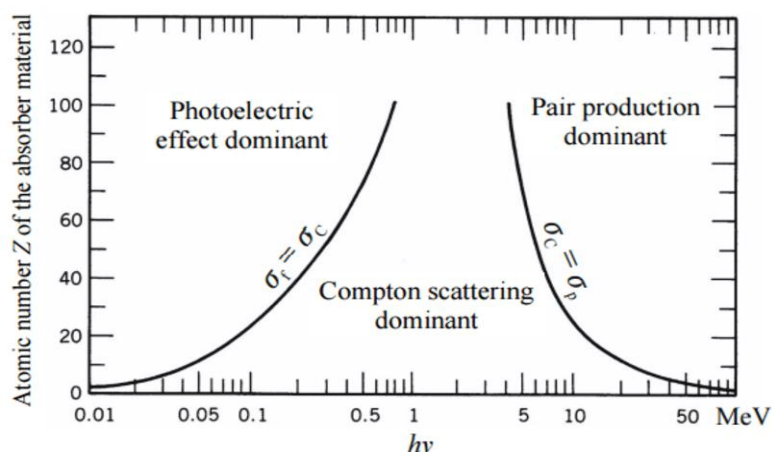
ปรากฏการณ์นี้โฟตอนเข้าชนกับอิเล็กตรอนในอะตอมของสสารแบบยึดหยุ่นโฟตอนก็เกิดการสูญเสียพลังงานให้กับอิเล็กตรอนทำให้อิเล็กตรอนหลุดออกจากอะตอม โดยเรียกอิเล็กตรอนที่หลุดออกไปนี้ว่าคอมป์ตันอิเล็กตรอน (Compton electron) ส่วนโฟตอนมีพลังงานลดลงแล้วเกิดการกระเจิงออกจากอะตอมหรือเรียกว่า การกระเจิงคอมป์ตัน (Compton scattering) ความยาวคลื่นของโฟตอนที่กระเจิงเพิ่มขึ้นตามค่ามุมกระเจิง (อันตรกิริยานี้เกิดขึ้นได้ดีเมื่อโฟตอนมีพลังงานสูง (0.5-3.5 เมกะอิเล็กตรอนโวลต์) ถ้าโฟตอนที่กระเจิงออกไปมีพลังงานมากพอ ก็อาจเกิดปรากฏการณ์โฟโตอิเล็กทริกได้ต่อไป ในส่วนของคอมป์ตันอิเล็กตรอนนั้นมีพลังงานเท่ากับผลต่างของพลังงานของโฟตอนที่เข้ามาและพลังงานยึดเหนี่ยวของอิเล็กตรอน ถ้าคอมป์ตันอิเล็กตรอนมีพลังงานจลน์มากพอ อาจทำอันตรกิริยาต่อไปอีกเช่นเดียวกับอนุภาค บีตา โดยโอกาสการเกิดปรากฏการณ์คอมป์ตัน พิจารณาได้จากค่าภาคตัดขวางของพลังงานโฟตอนและสสารนั้นๆ

$$\sigma = \frac{C Z \rho}{AE} \quad (2.2)$$

σ คือ ภาคตัดขวางปรากฏการณ์คอมป์ตัน (Compton scattering cross-section) Z คือ เลขอะตอม (atomic number) ρ คือ ความหนาแน่นของสสาร (Density, g/cm³) และ E คือ ค่าพลังงานของโฟตอน (eV)

2.1.3 แพร่โปรดักชัน

แพร่โปรดักชันเป็นอันตรกิริยาที่เกิดขึ้นเมื่อโฟตอนพลังงานสูงผ่านเข้าใกล้นิวเคลียสพลังงานโฟตอนเปลี่ยนเป็นอนุภาคอิเล็กตรอนและโพสิตรอน เนื่องจากมวลของอิเล็กตรอนรวมกับมวลของโพสิตรอนแล้วเทียบเท่าพลังงาน 1.02 เมกะอิเล็กตรอนโวลต์ ดังนั้นโฟตอนต้องมีพลังงานอย่างน้อย 1.02 เมกะอิเล็กตรอนโวลต์ ถ้าพลังงานมากกว่า 1.02 เมกะอิเล็กตรอนโวลต์ พลังงานส่วนที่เกินนี้จะเปลี่ยนเป็นพลังงานจลน์ของอิเล็กตรอนและโพสิตรอน อันตรกิริยาหลักของโฟตอนกับสสารทั้ง 3 แบบ นั้นขึ้นกับค่าพลังงานของโฟตอนและค่าเลขอะตอมของสสารแสดงดังในภาพที่ 2.1



ภาพที่ 2.1 อันตรกิริยาของโฟตอนกับสสาร

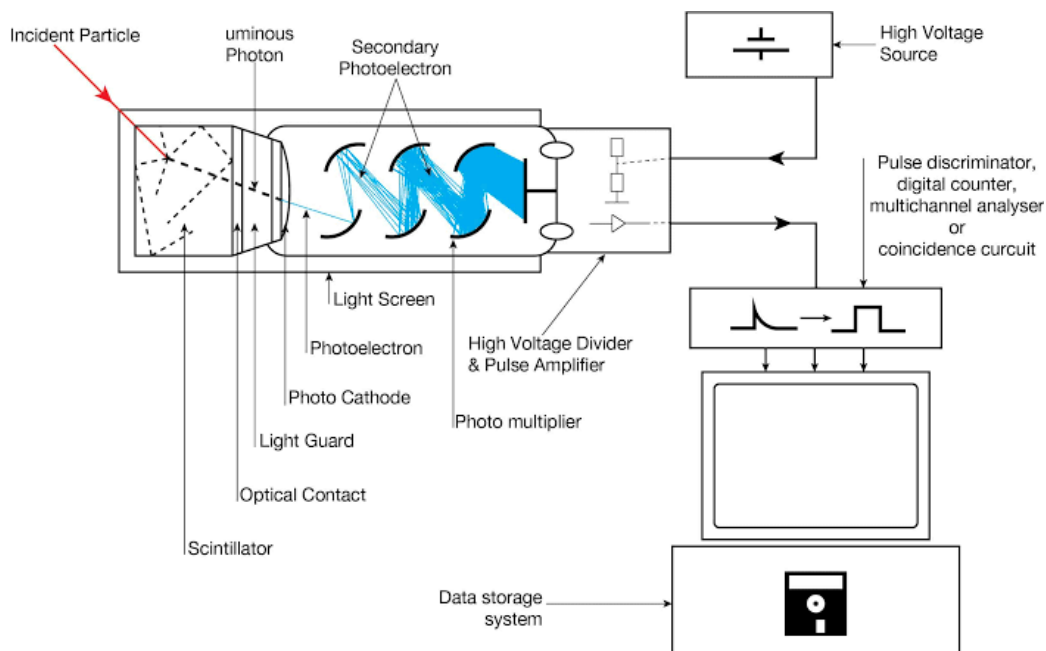
(Kharisov and Kharissova, 2013)

สำหรับผลึกหรือสารที่มีเลขอะตอมที่สูงและมีขนาดใหญ่จะมีโอกาสในการเกิดปฏิกิริยากับรังสีมากกว่าผลึกหรือสารที่มีเลขอะตอมที่น้อย ดังนั้นการนำผลึกหรือสารที่มีเลขอะตอมที่สูงมาทำเป็นหัววัดรังสีชนิดเรืองแสงนั้นจะทำให้การวัดรังสีมีประสิทธิภาพที่มากกว่า

2.2 เครื่องวัดรังสีและหัววัดรังสีชนิดเรืองแสง

2.2.1 เครื่องวัดรังสี

เครื่องมือที่ใช้ตรวจวัดรังสีอาจแบ่งเป็น 2 ส่วนหลักๆด้วยกัน คือ ส่วนที่เป็นหัววัดรังสี กับส่วนที่เป็นเครื่องนับวัดที่เป็นวงจรอิเล็กทรอนิกส์ ส่วนหัววัดรังสีเป็นส่วนที่รังสีทำให้เกิด ปฏิกิริยาอย่างใดอย่างหนึ่งกับรังสี ส่วนที่เป็นเครื่องนับวัดรังสีเป็นส่วนที่วิเคราะห์ นับวัดสัญญาณ และแสดงผล อันเกิดจากปฏิกิริยาอย่างใดอย่างหนึ่งของรังสีที่เกิดกับหัววัดรังสี โดยหัววัดรังสีก็มีหลากหลายชนิดด้วยกัน เช่น ชนิดบรรจุแก๊ส ชนิดสารกึ่งตัวนำชนิดเรืองแสงหรือซินทิลเลชัน เป็นต้น โดยส่วนประกอบหลักของระบบวิเคราะห์ทางรังสีดังแสดงในภาพที่ 2.2



ภาพที่ 2.2 ส่วนประกอบหลักของระบบนับวัดปริมาณรังสีที่มีหัววัดรังสีชนิดเรืองแสง

(Connor, 2019)

ระบบนับวัดหรือวิเคราะห์พลังงานรังสีแกมมานั้นหัววัดรังสีส่วนมากจะทำงานในรูปของพัลส์สัญญาณ เมื่อมีรังสีเข้ามาตกกระทบ หัววัดรังสีทำการสร้างสัญญาณไฟฟ้าขึ้นตามจำนวนรังสีที่เข้ามาและนำสัญญาณมาวิเคราะห์หาความสูงของสัญญาณ และคัดเลือกสัญญาณที่ต้องการโดยตั้งช่องพลังงานแคบๆ เพื่อแยกสัญญาณที่ไม่ต้องการหรือสัญญาณรบกวนออกจากการนับวัด หลักการทำงานของระบบนับวัดทางรังสีมีดังต่อไปนี้

ตัวขยายสัญญาณส่วนหน้าหรือปริแอมป์ (Preamplifier) เมื่อมีรังสีเข้ามาตกกระทบกับหัววัดรังสีทำให้เกิดการสร้างสัญญาณไฟฟ้าเกิดขึ้น สัญญาณที่ได้ส่วนมากจะมีขนาดเล็กและหัววัดรังสีส่วนมากจะมีอิมพีแดนซ์เอาต์พุต (output impedance) ค่อนข้างสูงทำให้จำเป็นต้องหาอุปกรณ์ที่มาเชื่อมต่อที่มีอิมพีแดนซ์ที่สัมพันธ์กันมิฉะนั้นจะเกิดการบิดเบี้ยวของรูปสัญญาณเป็นเหตุให้ประสิทธิภาพของการนับวัดเสียไป ปริแอมป์ที่ต่อกับหัววัดรังสีที่มีหน้าที่ขยายสัญญาณ เนื่องจากสัญญาณที่ได้จากหัววัดรังสีจะต่ำมาก ทำให้อิมพีแดนซ์ระหว่างหัววัดรังสีกับอุปกรณ์ส่วนอื่นๆ มีความใกล้เคียงกัน และปรับรูปร่างสัญญาณให้เหมาะสมเพื่อที่จะนำไปวิเคราะห์ต่อไป ปริแอมป์ที่ดีควรทำหน้าที่ขยายสัญญาณโดยความสูงของสัญญาณเป็นสัดส่วนโดยตรงกับจำนวนสัญญาณที่มาจากหัววัดรังสี นั่นคือความสูงของสัญญาณสัมพันธ์โดยตรงกับพลังงานของรังสีที่นับวัดได้นั่นเองเพื่อให้การขยายสัญญาณได้ผลตามที่ต้องการ ปริแอมป์ควรอยู่ใกล้กับหัววัดรังสีมากที่สุดทั้งนี้เพื่อเป็นการทำให้อัตราส่วนระหว่าง

สัญญาณและสัญญาณรบกวนสูงสุด นั่นคือต้องขยายสัญญาณก่อนที่จะมีสัญญาณจากสายเคเบิลมารบกวน

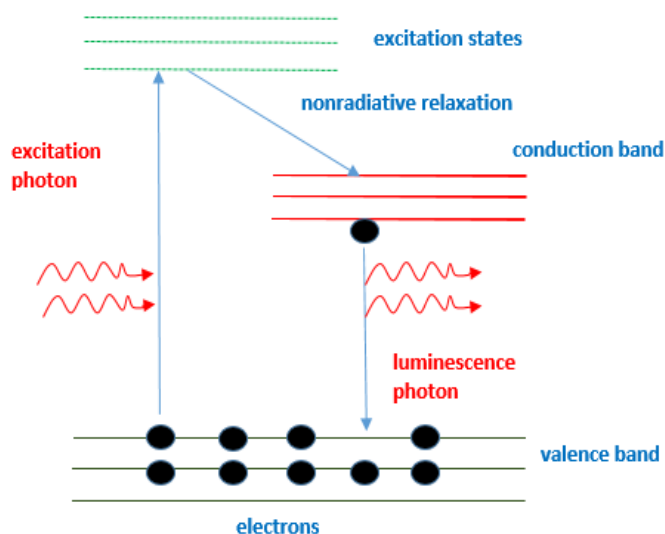
ตัวขยายสัญญาณหรือแอมพลิฟายเออร์ (Amplifier) เป็นส่วนเชื่อมต่อกับปริแอมป์มีหน้าที่หลักคือ ขยายสัญญาณที่ได้จากปริแอมป์ซึ่งถือว่าเป็นขนาดเล็ก ให้มีความสูงพอเหมาะสำหรับที่จะส่งไปยังอุปกรณ์ส่วนอื่น เช่น เครื่องวิเคราะห์ความสูงของสัญญาณ เป็นต้น สัญญาณออกจากกันได้ ในการตั้งค่าแอมพลิฟายเออร์จะใช้ค่าเกนแพคเตอร์ ซึ่งทำหน้าที่ขยายสัญญาณให้มีความสูงตามที่ต้องการโดยความสูงของสัญญาณต้องสัมพันธ์กับพลังงานของรังสีที่ทำการนับวัด

เครื่องวิเคราะห์ความสูงสัญญาณ (Pulse high analyzer) เมื่อรังสีตกกระทบหัววัดรังสี ความสูงของสัญญาณที่ได้จาก แอมพลิฟายเออร์จะเป็นสัดส่วนโดยตรงกับจำนวนของพลังงานที่ถูกดูดกลืนในหัววัดรังสี สัญญาณที่ได้ออกมาจะสามารถบอกพลังงานของรังสีได้จากความสูงของสัญญาณ ดังนั้นการคัดเลือกสัญญาณที่จะนับวัดก็คือ ดูจากความสูงของสัญญาณนั่นเอง

เครื่องวิเคราะห์แบบหลายช่องพลังงาน (Multichannel Analysis: MCA) ทำหน้าที่วิเคราะห์สัญญาณที่มีหลากหลายพลังงานโดยที่มีช่องพลังงานงานหลายช่องพลังงานงานเรียงต่อกัน สามารถแยกพลังงานงานที่เข้ามาได้ทำให้เห็นรูปสัญญาณทั้งหมด นั่นคือสามารถเห็นสเปกตรัมของรังสีที่เข้ามาตกกระทบกับหัววัดรังสีได้ทั้งหมดในเวลาเดียวกัน โดยเป็นกราฟที่สร้างขึ้นจากแกน X จะเป็นพลังงานของรังสีหรือเป็นความสูงของสัญญาณ และแกน Y เป็นจำนวนค่านับวัดที่เข้ามาต่อหน่วยเวลา

2.2.2 หัววัดรังสีชนิดชนิดเรืองแสง

หัววัดรังสีชนิดเรืองแสงหรือซินทิลเลชัน ประกอบด้วยผลึก และอุปกรณ์รับแสง ได้แก่ หลอดทวีคูณแสง (PMT) และ โฟโตไดโอด (Photodiode) หลักการทำงานของหัววัดรังสีชนิดนี้ดังแสดงในภาพที่ 2.3 เมื่อรังสีตกกระทบแล้วถ่ายเทพลังงานให้กับอะตอมของผลึกทำให้อิเล็กตรอนในอะตอมมีระดับพลังงานที่สูงขึ้น แล้วเคลื่อนที่ไปสู่ระดับชั้นพลังงานที่สูงกว่า อะตอมที่อยู่ในสถานะกระตุ้นไม่สามารถอยู่ในสถานะนี้ได้ อิเล็กตรอนที่อยู่ในระดับพลังงานสูงจึงจะลงสู่ระดับพลังงานที่ต่ำกว่าเป็นตามลำดับจนกระทั่งสู่สภาวะพื้น จึงปลดปล่อยพลังงานออกมาในรูปของโฟตอนแสง พลังงานที่ปลดปล่อยออกมานั้นก็ขึ้นอยู่กับค่าผลต่างของระดับพลังงานของอิเล็กตรอน ระหว่างแถบวาเลนซ์ (Valence band) และแถบนำ (Conduction band) โดยพลังงานที่อยู่ระหว่างแถบวาเลนซ์และแถบนำ คือ ค่าช่องว่างแถบพลังงาน ซึ่งสารหรือผลึกแต่ละชนิดก็มีระดับพลังงานนี้แตกต่างกันซึ่งนี้จะส่งผลให้คุณสมบัติทางแสงที่มีค่าแตกต่างกัน



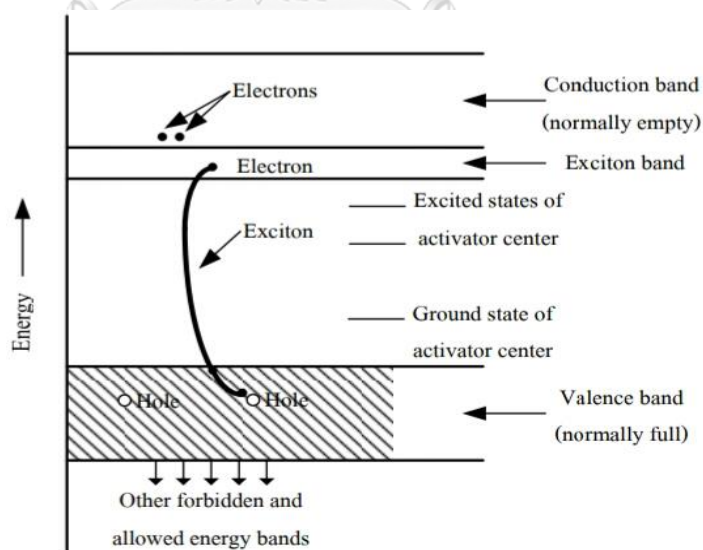
ภาพที่ 2.3 กระบวนการเรืองแสงของของผลึกวัตรังสี

2.2.3 ผลึกและความเป็นผลึก

ผลึกเกิดจากการที่อะตอมหรือโมเลกุลมารวมกันจำนวนมาก โดยระยะห่างระหว่างอะตอมมีค่าคงที่และมีการจัดเรียงตัวกันอย่างเป็นระบบแบบรูปทรงเรขาคณิตที่แน่นอนและเป็นระเบียบอย่างต่อเนื่องกันภายในหนึ่งหน่วยเซลล์ของผลึกอาจประกอบไปด้วยอะตอมของธาตุเพียงชนิดเดียวหรือหลายชนิดก็ได้ หรืออาจประกอบด้วยหลายอะตอมหรือหลายโมเลกุล หน่วยที่เล็กที่สุดที่สามารถแสดงความเป็นผลึกหรือเป็นตัวแทนของผลึกได้เรียกว่าหน่วยเซลล์ (Unit cell) โดยที่ค่าความยาวแต่ละด้านของหน่วยเซลล์เรียกว่าค่าคงที่แลตทิซมีหน่วยเป็นอังสตรอม เมื่อหน่วยเซลล์เรียงต่อกันเป็นระเบียบในขอบเขตหนึ่งๆ จะเรียกส่วนนี้ว่าเกรน (Grain) ผลึกในอุดมคติคือผลึกมีอะตอมหรือหน่วยเซลล์เรียงต่อกันเป็นระนาบอย่างต่อเนื่องและเป็นระเบียบทั่วทั้งผลึก ซึ่งลักษณะเช่นนี้จึงมีความเป็นผลึกที่สูง แต่ในความเป็นจริงแล้วผลึกไม่ได้มีความสมบูรณ์ทั้งหมด โดยที่ความไม่สมบูรณ์ของผลึกอาจเกิดจากการขาดหายไปของอะตอม (Vacancy) การมีอะตอมมากเกินไปในช่องว่างระหว่างอะตอม (Interstitial) อะตอมที่ขาดหายไปเข้าไปแทรกช่องว่างที่อยู่ใกล้เคียง (Frenkel imperfection) ประจุบวกหรือลบหายไป (Schottky imperfection) อะตอมของธาตุอื่นเข้าไปแทรก (Interstitial impurity atom) ความไม่สมบูรณ์จากการอยู่ผิดที่ของกลุ่มอะตอมตลอดทั้งแถวหรือระนาบภายในผลึก และอะตอมของขอบเกรนที่เรียงไม่เป็นระเบียบ เป็นต้น ซึ่งความไม่สมบูรณ์ต่างๆ ที่กล่าวมาอาจส่งผลในเรื่องของการแสดงคุณสมบัติทางแสงของผลึกเช่น ทำให้ระดับชั้นพลังงานระหว่างแถบวาเลนซ์ (Valence band) และแถบนำ (Conduction band) ไม่ชัดเจน ทำให้ผลึกมีคุณสมบัติทางแสง

ไม่ดี สำหรับผลึกที่ให้คุณสมบัติทางแสงเช่นให้ค่าความยาวคลื่นที่เปล่งออกมาเป็นค่าเดียวหรือค่าใกล้เคียงกันจะเรียกผลึกชนิดนี้ว่าผลึกเดี่ยว (Single crystal)

การแปลงพลังงานแสงหรือความยาวคลื่นที่แตกต่างขึ้นกับชนิดของสารหรือผลึกนั้นๆ สำหรับคุณสมบัติทางแสงของสารเรืองแสง เช่น สารเรืองแสงชนิดอินทรีย์ให้การเรืองแสงที่น้อย แต่กระบวนการเรืองแสงใช้เวลาน้อย และสารเรืองแสงชนิดอนินทรีย์ให้การเรืองแสงที่มากกว่า แต่กระบวนการเรืองแสงใช้เวลามากกว่า ตัวอย่างของผลึกเรืองแสงชนิดสารอนินทรีย์ เช่น CsI, NaI, BaF, CaF₂, Zn และ CsF เป็นต้น ผลึกเรืองแสงเหล่านี้เป็นกลุ่ม อัลคาล์ไลน์-เฮไลด์ (Alkaline halide) คุณสมบัติของผลึกจะขึ้นกับสถานะของสาร และลักษณะโมเลกุลเป็นหลัก ส่วนปัจจัยที่มีผลต่อประสิทธิภาพการเปล่งแสงจะขึ้นกับลักษณะของผลึกและสารเจือ สำหรับสารหรือผลึกเรืองที่เป็นสารบริสุทธิ์ โดยส่วนใหญ่เมื่อมีพลังงานเข้ามาแล้วเกิดการดูดกลืนพลังงานทำให้อะตอมของสารถูกกระตุ้น แล้วกลับเข้าสู่สถานะพื้น โดยการปลดปล่อยพลังงานออกมาในย่านความยาวคลื่นแสงที่ตาไม่สามารถมองเห็นและให้ความยาวคลื่นที่เปล่งออกมกว้างและไม่ตรงกับช่วงการตอบสนองของอุปกรณ์แสง จึงต้องมีการเติมสารเจือลงไปเพื่อทำให้ค่าช่องว่างแถบพลังงาน (Energy gap) ของสารนั้นเปลี่ยนไป และเพื่อให้ได้แสงที่ได้มีความยาวคลื่นตามต้องการ และปริมาณแสงที่เปล่งออกมาจะเป็นสัดส่วนโดยตรงกับพลังงานของรังสีที่ถูกดูดกลืนไว้ในสารหรือผลึก ดังแสดงในภาพที่ 2.4



ภาพที่ 2.4 การเติมสารเจือเพื่อเปลี่ยนค่าช่องว่างแถบพลังงาน

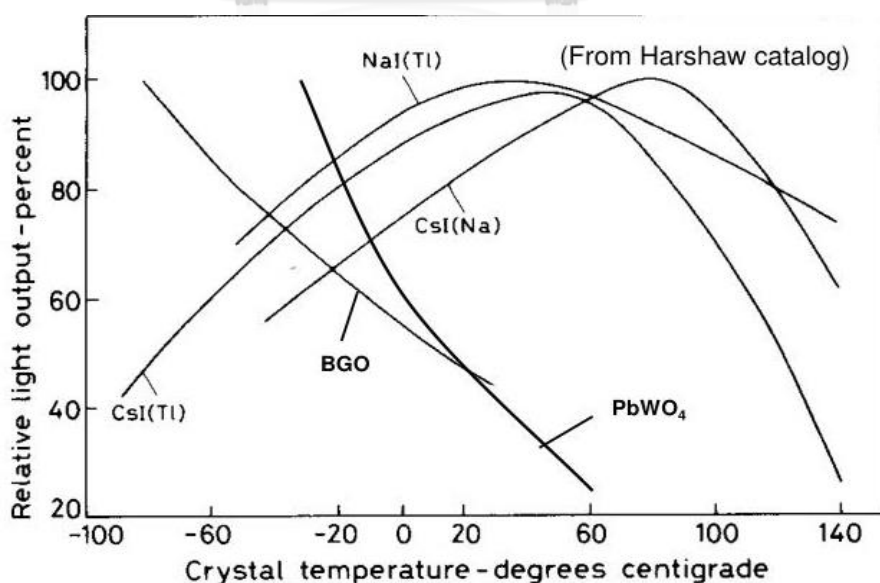
การเติมสารเจือลงไปในสารบริสุทธิ์เพื่อทำให้ช่องว่างแถบพลังงานของสารหรือผลึกนั้นเปลี่ยนแปลงไปให้ตรงกับช่วงการตอบสนองของอุปกรณ์รับแสง สำหรับผลึกเรืองแสงชนิดสารอนินทรีย์ที่เป็นของแข็ง

นั้นเป็นผลึกที่นิยมใช้มากในปัจจุบัน เช่นเพื่อการค้นคว้าวิจัยต่างๆ ทางนิวเคลียร์และใช้ในด้านความปลอดภัยทางรังสี ผลึกเรืองแสงที่เหมาะสมในการทำหัววัดรังสีควรมีคุณสมบัติดังแสดงในตารางที่ 2.1

ตารางที่ 2.1 คุณสมบัติทางแสงที่ดีของผลึก

1	เปลี่ยนพลังงานรังสีให้ได้แสงเรืองที่มาก (High light yield)
2	การแจกแจงหรือกำลังแยกพลังงานสูง (High energy resolution)
3	แสงเรืองไม่ถูกดูดกลืนในผลึกเอง (Transparent)
4	ปลดปล่อยสเปกตรัมแสงที่สามารถวัดได้ด้วยอุปกรณ์วัดแสงได้เหมาะสม (An emission spectra matched to the spectral sensitivity of the photo detector)
5	แสงเรืองในเวลาที่ยาว (Short decay time)
6	ไม่ไวต่อความชื้น (Non Hygroscopic)
7	ดัชนีการหักเห (Index) ควรใกล้เคียงกับแก้ว คือ 1.5
8	ความหนาแน่น(Density, high atomic number) 3-9 g/cm ³

สำหรับหัววัดชนิดเรืองแสงถ้านำไปใช้งานอาจต้องพิจารณาในเรื่องของอุณหภูมิด้วยเนื่องจากอุณหภูมิมิผลต่อค่าปริมาณแสง โดยความสัมพันธ์ระหว่างค่าปริมาณแสงที่อุณหภูมิต่างๆดังแสดงในภาพที่ 2.5 สำหรับคุณสมบัติทางแสงของผลึกอนินทรีย์ที่มีใช้งานทั่วไปดังแสดงในตารางที่ 2.2



ภาพที่ 2.5 ความสัมพันธ์ระหว่างค่าปริมาณแสงที่อุณหภูมิต่างๆของผลึกชนิดอนินทรีย์

ตารางที่ 2.2 คุณสมบัติทางแสงของผลึกชนิดสารอนินทรีย์ที่มีการใช้งานทั่วไป

Properties	NaI(Tl)	BGO	CeF ₃	BaF ₂	CsI(Tl)	PbWO ₄
Density (g cm ⁻³)	3.67	7.13	6.16	4.89	4.53	8.28
Radiation						
Length (cm)	2.59	1.12	1.68	2.05	1.85	0.89
Moliere radius (cm)	4.5	2.4	2.6	3.4	3.8	2.2
dE/dx(MeV cm ⁻¹ per mip)	4.8	9.2	7.9	6.6	5.6	13.0
Decay time (ns)						
short	230	300	~5	0.6	>1000	5
long	150[ms]		30	620		15
Peak emission (nm)						
short	415	480	310	220	550	440
long			340	310		530
Refractive index						
at peak emission	1.85	2.20	1.68	1.56	1.80	2.16
Light yield						
(versus NaI(Tl))	1.00	0.15	0.10	0.05(fast) 0.20(slow)	0.40	0.01
Light yield γ /MeV	4×10^4	8×10^3	2×10^3	10^4	5×10^4	1.5×10^2

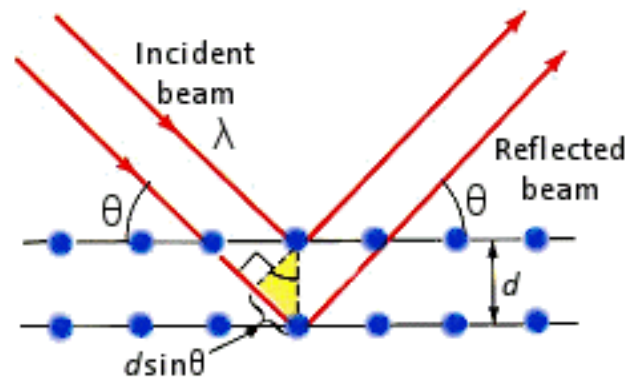
(Leroy and Rancoita, 2000)

2.3 การตรวจสอบคุณภาพผลึก

การตรวจสอบคุณภาพผลึกเป็นการตรวจสอบลักษณะโครงสร้างและคุณสมบัติทางแสงของผลึก มีเทคนิค ที่ใช้ในการตรวจสอบดังต่อไปนี้

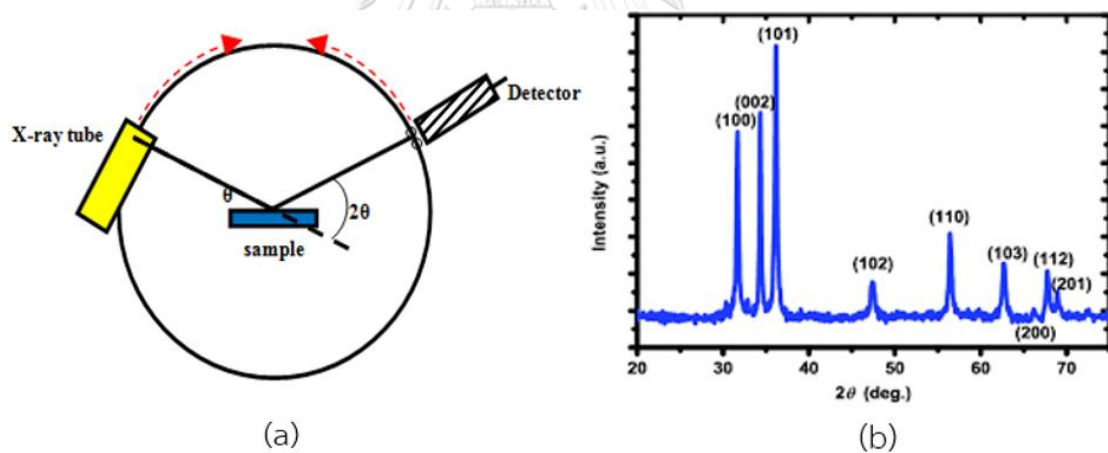
2.3.1 เทคนิคการเลี้ยวเบนรังสีเอกซ์ (X-Ray Diffract meter, XRD)

การวิเคราะห์ด้วยเทคนิคการเลี้ยวเบนรังสีเอกซ์เป็นการศึกษารายละเอียดเกี่ยวกับโครงสร้างผลึกตัวอย่างเป็นการวิเคราะห์ แบบไม่ทำลายสารตัวอย่าง (Non-destructive method) โดยให้รังสีเอกซ์ตกกระทบ สะท้อน และเลี้ยวเบนผ่านไปตามช่องว่างระหว่างอะตอมด้วยค่ามุมต่างๆ แล้ววัดความเข้มที่เกิดขึ้น เนื่องจากสารแต่ละชนิด มีขนาดของหน่วยเซลล์และการจัดเรียงอะตอมที่แตกต่างกัน ดังนั้นรูปแบบการเลี้ยวเบนรังสีเอกซ์ที่ออกมาจึงมีรูปแบบที่แตกต่างกัน สารตัวอย่างที่เป็นผลึกมีการจัดเรียงตัวของอะตอมภายในโครงสร้างอย่างเป็นระเบียบ โดยการจัดเรียงตัวของอะตอมภายในผลึกจะมีลักษณะเป็นระนาบเส้นตรงขนานกัน แต่ละระนาบจะอยู่ห่างกันเป็นระยะ d ดังแสดงในภาพที่ 2.6 ซึ่งระยะห่าง d จะมีค่าแตกต่างกันไปขึ้นกับธรรมชาติของผลึก



ภาพที่ 2.6 การเลี้ยวเบนของรังสีเอกซ์ภายในช่องว่างอะตอมของผลึกหรือสารตัวอย่าง
(ChemViews, 2012)

เมื่อรังสีเอกซ์เกิดการสะท้อนและเลี้ยวเบนผ่านช่องว่างอะตอมด้วยมุมต่างๆแล้วเข้าสู่หัววัดรังสี จะทำให้เกิดความเข้มที่ตำแหน่ง 2θ ต่างๆ มีค่าไม่เท่ากันดังแสดงในภาพที่ 2.7 (a) และ 2.7 (b) ซึ่งผลที่ได้จะถูกนำไปเปรียบเทียบกับโครงสร้างผลึกอ้างอิง



ภาพที่ 2.7 การวิเคราะห์ด้วยเทคนิคการเลี้ยวเบนรังสีเอกซ์ (b) ค่าความเข้มของรังสีเอกซ์ที่เกิดการเลี้ยวเบนที่ค่ามุมต่างๆ

(<http://content.inflibnet.ac.in>)

การสะท้อนและการเลี้ยวเบนของรังสีเอกซ์บนระนาบของผลึก สามารถอธิบายความสัมพันธ์โดยสมการของ Bragg's Law ดังสมการที่ 2.3

$$2d\sin(\theta) = n\lambda \quad (2.3)$$

เมื่อ d คือ ระยะห่างระหว่างระนาบผลึก n คือ ลำดับของการเลี้ยวเบนเป็นเลขจำนวนเต็ม λ คือ ความยาวคลื่นของรังสีเอกซ์ และ θ คือ ค่ามุมเลี้ยวเบนของรังสีเอกซ์ สำหรับรูปแบบการเลี้ยวเบนที่ปรากฏเป็นค่าความเข้มและมุม 2θ สามารถทำการวิเคราะห์โครงสร้างของผลึกได้ โดยการหาค่าคงที่แลตทิซ (Lattice constant) สามารถหาได้จากสมการที่ 2.4

$$d_{hkl} = \frac{a}{\sqrt{h^2+k^2+l^2}} \quad (2.4)$$

เมื่อ a คือ ค่าคงที่แลตทิซ d คือ ค่าความยาวระนาบ h, k, l คือ ค่าดัชนีมิลเลอร์ของระนาบ สำหรับผลึกที่ได้จากการปลูกนั้นอาจมีการเปลี่ยนแปลงหรือมีการจัดเรียงตัวในระนาบที่เปลี่ยนไปจากเดิม แสดงว่าเกิดความเครียดในโครงผลึกขึ้น โดยค่าความเครียด (Strain) ที่เกิดขึ้นในโครงผลึก เป็นค่าอัตราส่วนค่าคงที่แลตทิซที่เปลี่ยนไปต่อค่าคงที่แลตทิซมาตรฐานสามารถหาได้จากสมการที่ 2.5

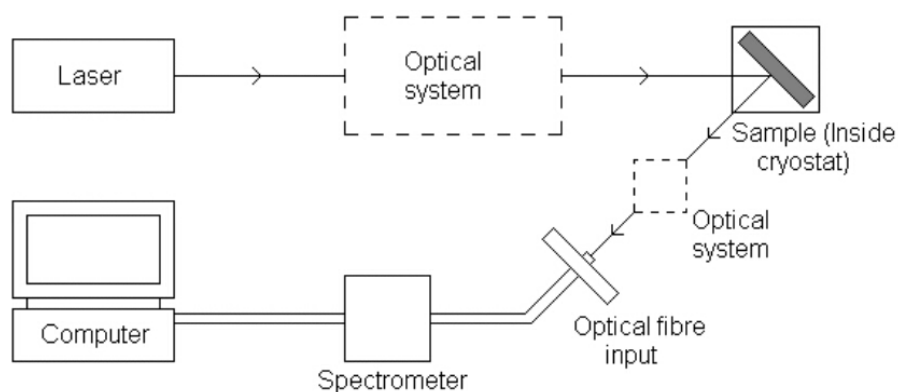
$$\% \text{ strain} = \left(\frac{a-a_0}{a_0} \right) \times 100 \quad (2.5)$$

เมื่อ a คือ ค่าคงที่แลตทิซที่วิเคราะห์ได้ a_0 คือ ค่าคงที่แลตทิซมาตรฐาน ดังนั้นสภาวะความเครียดของผลึกจึงสามารถแบ่งได้เป็น 2 ประเภท คือ สภาวะเครียดแบบถูกบีบอัด (Compressive strain) ในกรณีที่ค่าคงที่แลตทิซที่วิเคราะห์ได้ของผลึกมีขนาดสั้นกว่าหรือหดตัว และ สภาวะเครียดแบบดึงขยาย (Tensile strain) สำหรับกรณีที่ค่าคงที่แลตทิซที่วิเคราะห์ได้ของผลึกมีขนาดยาวกว่าหรือยืดขยายตัว ในส่วนของการหาเกรนผลึก ซึ่งเป็นสิ่งที่บอกถึงความเป็นผลึกนั้นสามารถหาได้จากสมการเชอร์เรอร์ (Scherrer) ดังแสดงในสมการที่ 2.6

$$D = \frac{K\lambda \cos(\theta)}{\beta} \quad (2.6)$$

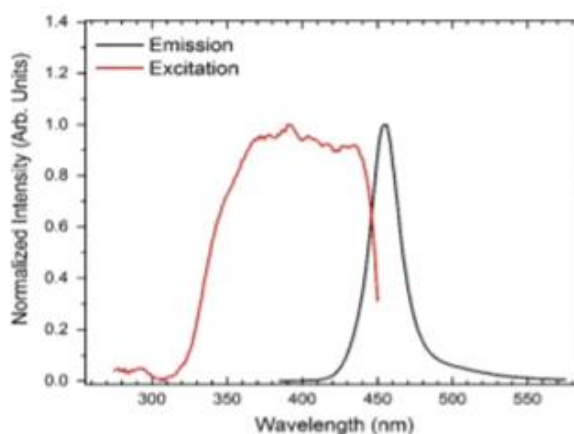
K คือ ค่าคงที่ของเชอร์เรอร์ มีค่า 0.9, β คือ ขนาดความกว้างของพีคที่มีความเข้มเป็นครึ่งหนึ่งของความเข้มสูงสุด (FWHM)

2.3.2 เทคนิคโฟโตลูมิเนสเซนซ์ (Photoluminescence)



ภาพที่ 2.8 ส่วนประกอบหลักของวิเคราะห์ผลึกหรือสารตัวอย่างด้วยเทคนิคโฟโตลูมิเนสเซนซ์
(<http://warwick.ac.uk>)

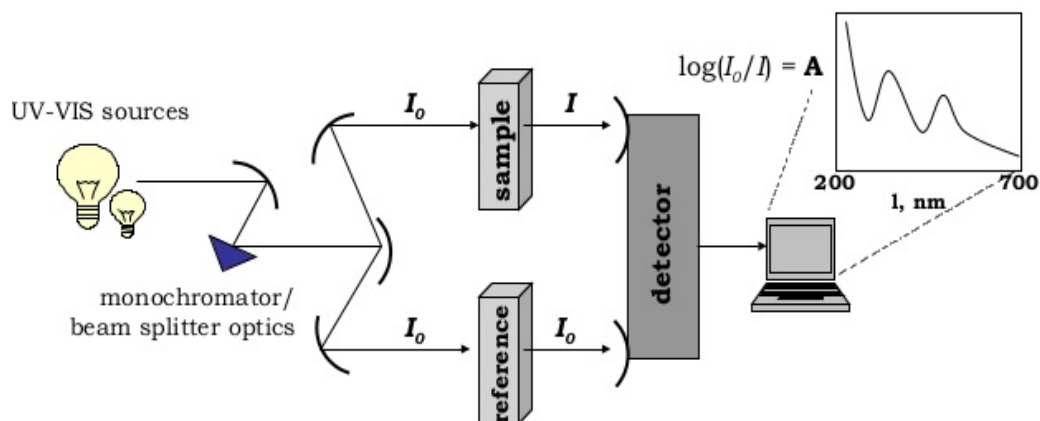
เทคนิคโฟโตลูมิเนสเซนซ์เป็นการวิเคราะห์คุณสมบัติทางแสงของผลึกหรือสารตัวอย่างดังแสดงในภาพที่ 2.8 แสดงส่วนประกอบและหลักการทำงานโดยการที่ให้แหล่งกำเนิดแสงเลเซอร์ผ่านตัวกรองความยาวคลื่นแสง เพื่อให้ได้ช่วงความยาวคลื่นแสงที่เหมาะสมที่จะกระตุ้นผลึกหรือสารตัวอย่าง เมื่อเกิดการดูดกลืนพลังงานทำให้อิเล็กตรอนถูกกระตุ้นแล้วขึ้นไปอยู่ในชั้นพลังงานที่สูงกว่า และเพื่อกลับเข้าสู่สถานะเดิมอิเล็กตรอนจึงทำการปลดปล่อยพลังงานออกมาในรูปของแสง โดยความยาวคลื่นแสงที่เปล่งออกมานั้นเป็นค่าเฉพาะของแต่ละผลึกตัวหรือสารอย่างนั้นๆ ซึ่งก็ขึ้นอยู่กับค่าช่องว่างแถบพลังงาน (Energy gap) ตัวอย่างการดูดกลืนพลังงานหรือการกระตุ้น และการเปล่งพลังงานจะมีลักษณะดังแสดงในภาพที่ 2.9



ภาพที่ 2.9 การกระตุ้นและการเปล่งความยาวคลื่นแสงด้วยเทคนิคโฟโตลูมิเนสเซนซ์

2.3.3 เทคนิคการส่องผ่านและดูดกลืนแสงอัลตราไวโอเล็ตและแสง (UV-Vis)

เทคนิคการส่องผ่านและดูดกลืนแสงอัลตราไวโอเล็ตใช้ตรวจสอบสมบัติทางแสงของผลึก โดยให้แสงยูวีและแสงมีความยาวคลื่นช่วง 190-1000 นาโนเมตรผ่านเข้าไปในผลึก ดังแสดงในภาพที่ 2.10

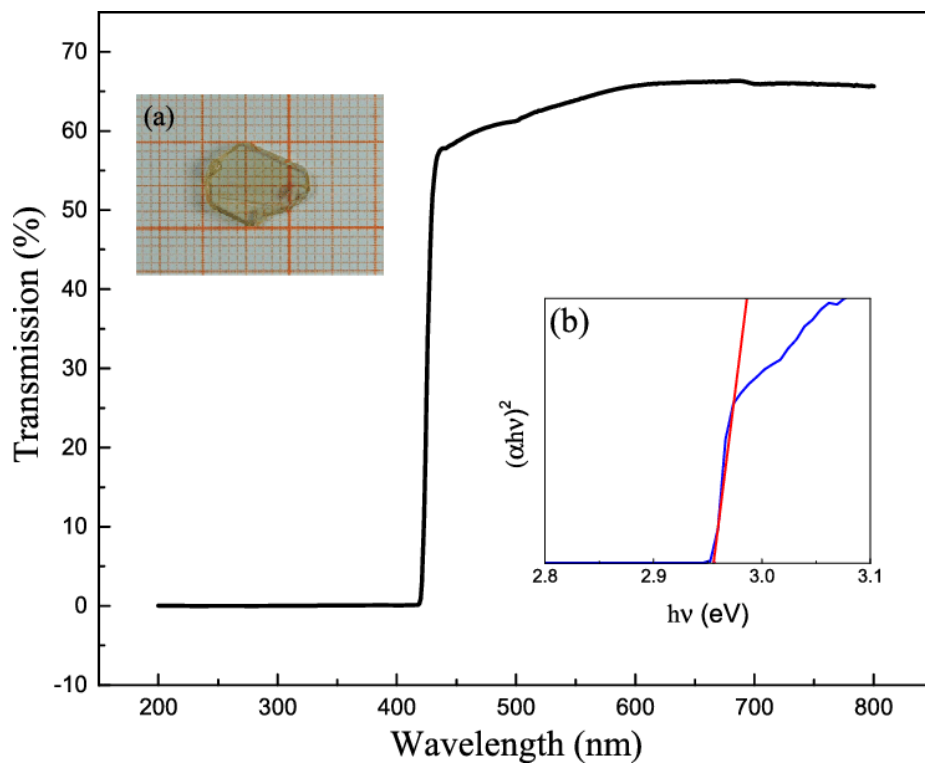


ภาพที่ 2.10 การทำงานของเครื่อง UV-Vis spectrophotometer

เมื่อผลึกหรือตัวอย่างต่างชนิดกันมีการดูดกลืนความยาวคลื่นแสงในช่วงที่แตกต่างกัน การวิเคราะห์สามารถใช้หลักการส่องผ่าน (Transmittance) และ การดูดกลืนแสง (Absorbance) โดยค่าการดูดกลืนแสงจะมีค่าผกผันกับความโปร่งแสงของผลึกตัวอย่าง ผลของการวิเคราะห์จะได้กราฟความสัมพันธ์ร้อยละการส่องผ่านแสงที่ความยาวคลื่นต่างๆ และยังสามารถแปลงค่าเป็นความสัมพันธ์ระหว่างค่าการดูดกลืนแสงที่ค่าความยาวคลื่นแสงต่างๆ ดังแสดงในภาพที่ 2.11 (a) และ 2.11 (b) สำหรับความสัมพันธ์ระหว่างค่าการส่องผ่านและค่าการดูดกลืนแสงสามารถหาได้จากสมการที่ 2.7

$$\% T = e^{-A} \times 100 \quad (2.7)$$

เมื่อ % T คือ ร้อยละการส่องผ่าน (Transmittance) และ A คือ ค่าการดูดกลืนแสง (Absorbance)



ภาพที่ 2.11 (a) ค่าความสัมพันธ์ระหว่างร้อยละการส่องผ่านที่ค่าความยาวคลื่นแสงต่างๆ (b) ค่าช่องว่างแถบพลังงานที่หาได้จากวิธีของ Tauc's plot

(<http://www.researchgate.net>)

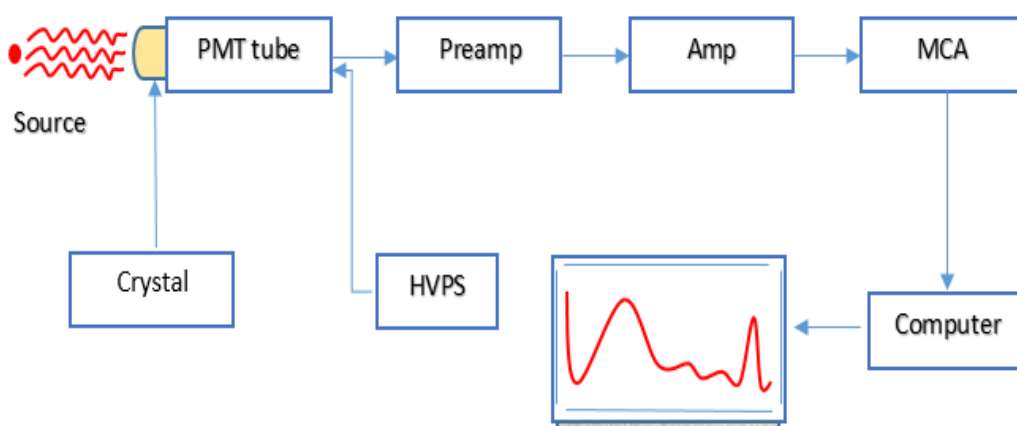
นอกจากนั้นยังสามารถหาค่าช่องว่างแถบพลังงาน (Energy gap, E_g) ของผลึกตัวอย่าง ได้จากวิธีของ Tauc's plot ซึ่งได้จากการประมาณค่าจุดตัดแกน x ซึ่งเกิดจากการกราฟความสัมพันธ์ระหว่างค่า $(\alpha hv)^2$ และ hv ณ จุด $(\alpha hv)^2 = 0$ ดังสมการที่ 2.7

$$(\alpha hv)^2 = A(hv - E_g) \quad (2.7)$$

เมื่อ α คือ ค่าสัมประสิทธิ์การดูดกลืนแสงของผลึกเมื่อ $\alpha = \frac{1}{t} \ln \frac{1}{T}$ และ t คือ ความหนาผลึก hv คือ พลังงานแสง (eV)

2.4 การตรวจสอบคุณภาพการวัดรังสี

การตรวจสอบคุณภาพการวัดรังสีโดยการติดตั้งอุปกรณ์ต่างๆเข้าด้วยกันดังแสดงในภาพที่ 2.12 โดยเริ่มจากการนำผลึกที่ผ่านการขัดให้ผิวเรียบแล้วติดตั้งเข้ากับอุปกรณ์รับแสงหรือหลอดทวิคูณแสง เมื่อติดตั้งสองส่วนนี้เข้าด้วยกันแล้วจะเรียกส่วนนี้ว่าหัววัดรังสีชนิดเรืองแสง สำหรับขั้นตอนการวัด สเปกตรัมรังสีแกมมามีขั้นตอนคือต้องติดตั้งหัววัดรังสีเข้ากับตัวขยายสัญญาณส่วนแรก และส่วนที่ขยายสัญญาณต่อจากส่วนแรกให้มีขนาดที่มากขึ้นโดยขนาดของสัญญาณจะเป็นสัดส่วนโดยตรงกับพลังงานของรังสีแกมมา สัญญาณที่ได้จะถูกวิเคราะห์ด้วยเครื่องวิเคราะห์สัญญาณแบบหลายช่อง (MCA) หลังจากติดตั้งทุกอุปกรณ์ทั้งหมดเข้าด้วยกันแล้ว ทำการจ่ายศักย์ไฟฟ้าให้กับหัววัด และทำการตรวจวิเคราะห์ทางรังสี เพื่อประเมินคุณภาพของระบบวัดรังสี โดยคุณภาพการวัดรังสีก็ขึ้นอยู่กับประสิทธิภาพของการวัด (Efficiency) และค่าความสามารถในการแยกพลังงานรังสี (Energy resolution)



ภาพที่ 2.12 ระบบการวิเคราะห์สเปกตรัมรังสี

2.4.1 ประสิทธิภาพการวัดรังสี

ประสิทธิภาพการวัดรังสีมีอยู่ 2 ประเภท คือ ประสิทธิภาพในการวัดปริมาณรังสีแบบสัมบูรณ์ (Absolute peak efficiency, E_{abs}) และประสิทธิภาพในการวัดปริมาณรังสีแบบแท้จริง (Intrinsic peak efficiency, E_{int}) ประสิทธิภาพการวัดรังสีคือความสามารถในการเปลี่ยนพลังงานรังสีเป็นค่านับวัดทางรังสี ซึ่งก็ขึ้นอยู่กับชนิดของผลึกและระบบการวิเคราะห์รังสี สำหรับประสิทธิภาพในการวัดปริมาณรังสีแบบสัมบูรณ์สามารถหาได้จากสมการที่ 2.8

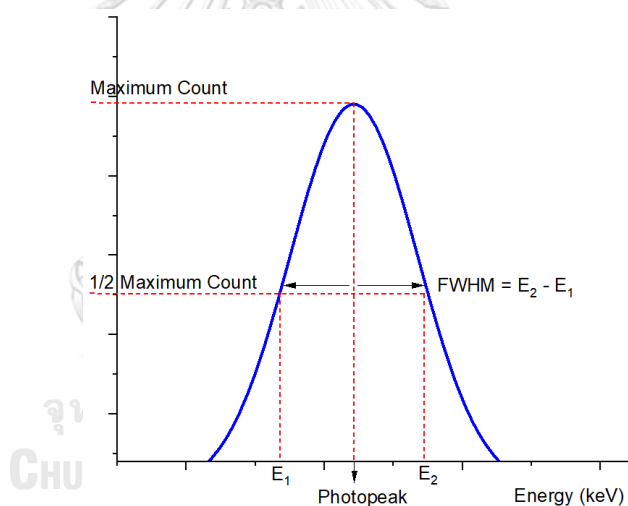
$$\epsilon = \frac{N(cpc)4\pi}{S(dps)\Omega} \quad (2.8)$$

เมื่อ ϵ แทน ประสิทธิภาพการวัดรังสี N แทน ค่าจำนวนรังสีที่นับวัดได้ (cps) S แทน ค่าความแรงของกัมมันตภาพรังสี (dps) และ Ω แทน มุมตันกรณิแหล่งกำเนิดรังสีเป็นจุด (ค่าระยะหัววัดถึงแหล่งกำเนิด, d มีค่ามากกว่าค่าระยะรัศมีหัววัด, $\Omega = \frac{\pi a^2}{d^2}$) สำหรับค่าประสิทธิภาพในการวัดปริมาณรังสีแบบแท่งจึงสามารถหาได้จากสมการที่ 2.9

$$\epsilon = \frac{N(\text{cpc})}{S(\text{dps})} \quad (2.9)$$

2.4.2 ความสามารถในการแยกพลังงานรังสี

ความสามารถในการแยกพลังงานงานรังสีที่เข้าสู่หัววัดและระบบการวัดทางรังสีนั้นขึ้นอยู่กับชนิดของผลึก ระบบการวัดรังสี และค่าพลังงานจากแหล่งกำเนิดรังสี เช่น Co-57, Am-241, Cs-137 และอื่นๆ



ภาพที่ 2.13 ค่า Full-Width-at-Half-Maximum (FWHM) สำหรับคำนวณหาความสามารถในการแยกพลังงานรังสี

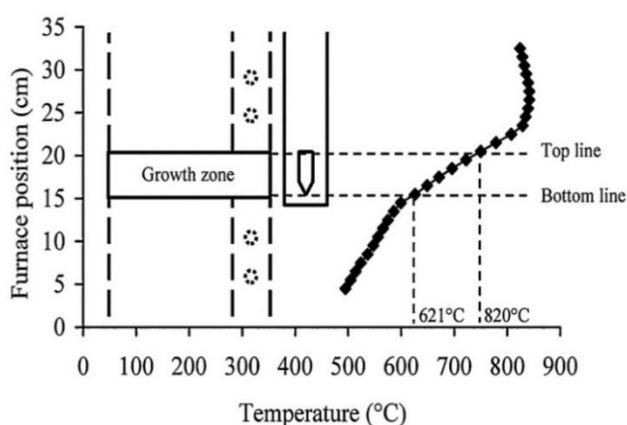
ค่าความสามารถในการแยกพลังงานรังสีของหัววัดวัดรังสีหาได้จากสมการที่ 2.10 โดยการพิจารณาค่าของ Full-Width-at-Half-Maximum (FWHM) ที่ได้จากค่าความสัมพันธ์ระหว่างค่านับวัดรังสีกับค่าพลังงานของรังสีดังแสดงในภาพที่ 2.13

$$\text{Energy resolution (\%)} = \frac{\Delta E \text{ at FWHM} \times 100}{E \text{ at photopeak}} \quad (2.10)$$

เมื่อ FWHM คือ ความกว้างของพลังงานที่ตำแหน่งค่านับวัดเป็นครึ่งหนึ่งของค่านับวัดสูงสุด และ E คือ ค่าพลังงานที่ตำแหน่งตรงกลางโฟโตพีค

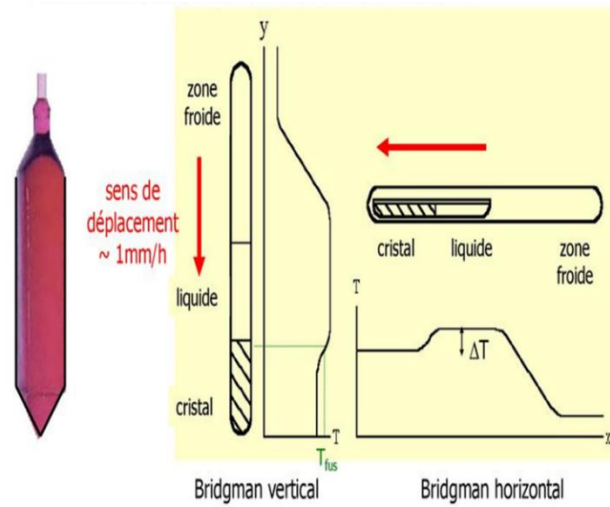
2.5 การปลูกผลึกด้วยวิธีบริดจ์แมน-สต็อกบาร์เกอร์ (Bridgman–Stock Barger)

การปลูกผลึกด้วยวิธี เป็นการปลูกผลึกด้วยการหลอมละลายสารด้วยความร้อน โดยการใส่สารตั้งต้นที่เป็นผงแล้วใส่ในภาชนะปลูกผลึก (Crucible) ซึ่งภายในภาชนะปลูกนี้จะทำให้เป็นสุญญากาศแล้วเติมก๊าซอาร์กอนเข้าไปภายในภาชนะปลูกผลึกเพื่อไม่เกิดการทำปฏิกิริยาของสารและภาชนะ สำหรับเตาหลอมละลายแบ่งเป็น 2 โซน คือ โซนอุณหภูมิสูงและโซนอุณหภูมิต่ำ โดยโซนอุณหภูมิสูงจะเป็นการให้อุณหภูมิที่สูงกว่าจุดหลอมเหลวของสารและโซนเย็นจะให้อุณหภูมิต่ำกว่าจุดหลอมเหลวสาร การปลูกผลึกนั้นต้องพิจารณาถึงการเปลี่ยนแปลงอุณหภูมิต่อหน่วยระยะทางที่เปลี่ยนไป หรือ เกรตเดียนของอุณหภูมิ (Temperature gradient) ที่เกิดขึ้นภายในเตาปลูกผลึก ค่าเกรตเดียนอุณหภูมิทำให้ทราบถึงตำแหน่งที่เหมาะสมในการปลูกผลึก และยังสามารถนำไปคำนวณหาค่าอัตราการการเกิดผลึกได้ด้วย หลักการให้ความร้อนที่ตำแหน่งปลูกผลึกจะให้อุณหภูมิที่สูงกว่าจุดหลอมเหลวเล็กน้อยเพื่อให้สารที่ใช้ปลูกผลึกเกิดการหลอมเหลว แต่ต้องไม่ตั้งค่าอุณหภูมิที่สูงกว่าจุดเดือดของสารที่ใช้ปลูกผลึก สำหรับเกรตเดียนอุณหภูมิที่เกิดขึ้นภายในเตาหลอมละลายมีลักษณะดังแสดงในภาพที่ 2.14 และการเกิดผลึกด้วยวิธีบริดจ์แมน-สต็อกบาร์เกอร์ จะเป็นการลดอัตราของอุณหภูมิทั้ง 2 โซนลงอย่างช้าเพื่อให้ผลึกเริ่มก่อตัวที่ส่วนปลายแหลมของภาชนะปลูก โดยเวลาที่ใช้ในการปลูกอาจใช้เวลาหลายสัปดาห์ ลักษณะการเกิดผลึกแบบบริดจ์แมน-สต็อกบาร์เกอร์ ดังแสดงในภาพที่ 2.15



ภาพที่ 2.14 เกรตเดียนของอุณหภูมิ (Temperature gradient) ที่เกิดขึ้นภายในเตาปลูกผลึก

(Jitpukdee, Wongsawaeng, & Punnachaiya, 2011)



ภาพที่ 2.15 การเกิดผลึกด้วยวิธีแบบบริดจ์แมน-สต็อกบาร์เกอร์

การทำให้ได้ผลึกที่มีลักษณะที่ดีคือมีความใส ไม่มีรอยแตกร้าวขึ้นกับอัตราการลดลงของอุณหภูมิที่ช้า แต่ถ้าจะให้ผลึกที่มีคุณภาพ มีคุณสมบัติทางกายภาพและทางแสงที่ดีนั้นก็ขึ้นกับชนิดของสารตั้งต้นนั้นๆด้วย

บทที่ 3

การปลูกผลึกแบบบริดจ์แมน-สต็อกบาร์เกอร์

งานวิจัยนี้ได้ทำการปลูกผลึกชนิดเรืองแสง โดยทำการปลูกผลึกซีเซียมแคลเซียมไอโอไดต์ (CsCaI_3) โดยใช้สารตั้งต้นซีเซียมไอโอไดต์ต่อแคลเซียมไอโอไดต์ ($\text{CsI}:\text{CaI}_2$) ด้วยสัดส่วนโดยน้ำหนัก คือ 80:20, 97:3 และปลูกผลึกซีเซียมเทลลูไรด์ไอโอไดต์ (Cs(Tl)) เพื่อเปรียบเทียบคุณสมบัติของผลึก การวิจัยเริ่มจากการศึกษาคุณสมบัติของสารแต่ละชนิดเพื่อกำหนดอุณหภูมิแต่ละโซนของเตาปลูกผลึก สำหรับการปลูกผลึกจะใช้วิธีของบริดจ์แมน-สต็อกบาร์เกอร์ คือ การควบคุมเกรเดียนท์ของอุณหภูมิ (Temperature gradient) และอุณหภูมิ (Temperature profile) ตลอดการปลูกผลึก เตาปลูกผลึกที่ใช้จะแบ่งออกเป็น 2 โซน คือ โซนอุณหภูมิสูง และโซนอุณหภูมิต่ำ ทำการตั้งค่าอุณหภูมิสูงและอุณหภูมิต่ำ เพื่อให้ได้อุณหภูมิตรงกลางที่เหมาะสมสำหรับการปลูกผลึก ควบคุมเวลาเมื่ออุณหภูมิถึงสภาวะเสถียรให้เป็นเวลาให้นานพอเพื่อให้สารเกิดการละลายตัวได้อย่างเต็มที่ หลังจากนั้นทำการลดอัตราอุณหภูมิ (Temperature gradient drift rate) เพื่อให้เกิดการตกผลึกสำหรับผลึกที่ได้จะถูกนำไปทดสอบคุณสมบัติทางกายภาพ และคุณสมบัติทางแสงเพื่อที่จะนำไปเปรียบเทียบกับช่วงการตอบสนองของหลอดทวิคูณแสงและทำการตรวจวัดประสิทธิภาพและความสามารถในการแยกรังสี

3.1 ข้อมูลพื้นฐานของสารที่ใช้ในการปลูกผลึก

สารตั้งต้นใช้ในการปลูกผลึกแบบบริดจ์แมน-สต็อกบาร์เกอร์ คือ สารซีเซียมไอโอไดต์ (CsI) สารแคลเซียมไอโอไดต์ (CaI_2) และสารเทลลูไรด์ไอโอไดต์ (TlI) มีคุณสมบัติดังต่อไปนี้

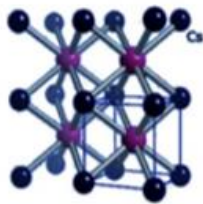
1. สารประกอบซีเซียมไอโอไดต์ (CsI) ดังแสดงในภาพที่ 3.1 มีความบริสุทธิ์ 99.9 เปอร์เซ็นต์ จุดหลอมเหลว $626\text{ }^{\circ}\text{C}$ จุดเดือด $1280\text{ }^{\circ}\text{C}$ และความหนาแน่น 4.51 กรัมต่อลูกบาศก์เซนติเมตร เป็นสารประกอบในกลุ่มอัลคาไลน์-เฮไลด์ (Alkaline halides) มีโครงสร้างผลึกแบบ BCC (body center cubic) ดังแสดงในภาพที่ 3.2 (a) และสามารถระเหยสู่บรรยากาศได้ง่าย

2. สารประกอบแคลเซียมไอโอไดต์ (CaI_2) ดังแสดงในภาพที่ 3.1 ความบริสุทธิ์ 99.5 เปอร์เซ็นต์ จุดหลอมเหลว $779\text{ }^{\circ}\text{C}$ จุดเดือด $1100\text{ }^{\circ}\text{C}$ และความหนาแน่น 3.95 กรัมต่อลูกบาศก์เซนติเมตร เป็นสารประกอบไอออนิกที่มีความไวต่อความชื้น มีโครงสร้างผลึกแบบ Rhombohedral ดังแสดงในภาพที่ 3.2 (b) และสามารถละลายน้ำได้

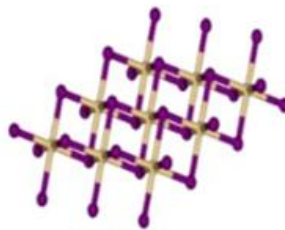
3. สารแคลเซียมไอโอไดต์ (TlI) ดังแสดงในภาพที่ 3.1 มีความบริสุทธิ์ 99.9 เปอร์เซ็นต์ จุดหลอมเหลว 442 °C จุดเดือด 823 °C และความหนาแน่น 7.1 กรัมต่อลูกบาศก์เซนติเมตร มีโครงสร้างผลึกแบบ BCC (body center cubic) ดังแสดงในภาพที่ 3.2 (c) และสามารถระเหยสู่อากาศได้ง่าย



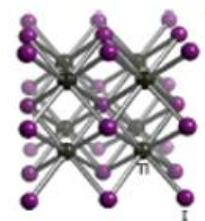
ภาพที่ 3.1 สารตั้งต้น CsI, CaI_2 และ TlI ที่ใช้ในการปลูกผลึก



(a) โครงสร้างผลึก CsI
(body center cubic)



(b) โครงสร้างผลึก CaI_2
(Rhombohedral)



(c) โครงสร้างผลึก TlI
(Orthorhombic)

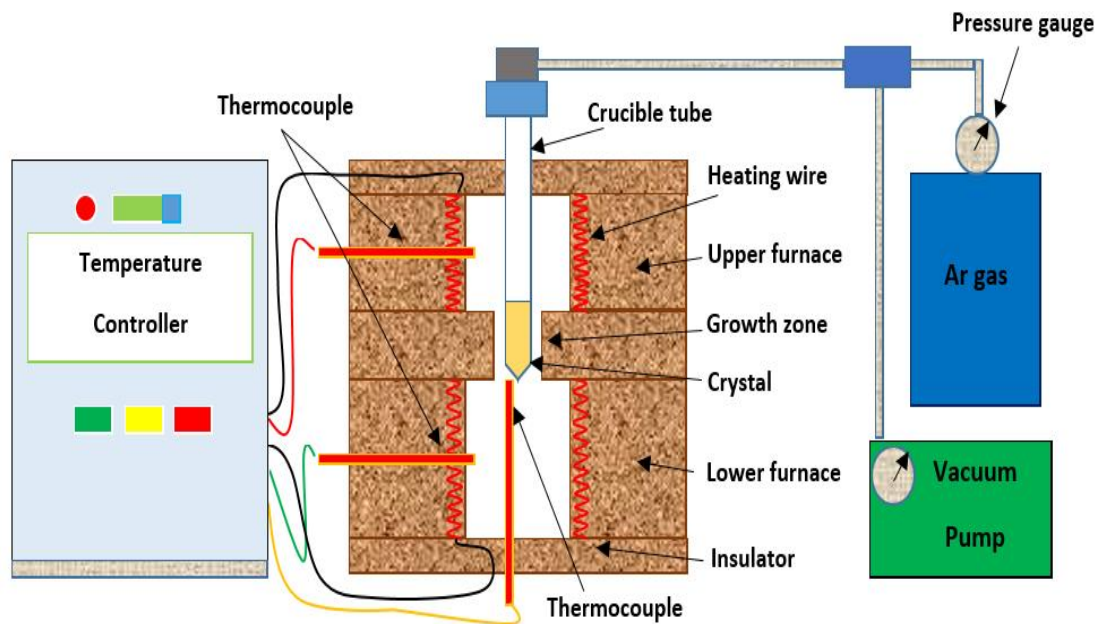
ภาพที่ 3.2 โครงสร้างผลึก CsI, CaI_2 และ TlI

3.2 เตาปลุกผลึกที่พัฒนาเตามาจากวิธีบริดจ์แมน-สต็อกบาร์เกอร์

เตาปลุกผลึกและอุปกรณ์ที่ใช้ในงานวิจัยถูกพัฒนาเตามาจากวิธีบริดจ์แมน-สต็อกบาร์เกอร์ มีอุปกรณ์หลักที่ใช้ในการปลุกผลึกดังแสดงในภาพที่ 3.3 คือ เตาปลุกผลึกแบบ 2 โซน คือ โซนอุณหภูมิสูง และโซนอุณหภูมิต่ำ หัววัดอุณหภูมิ ระบบควบคุมอุณหภูมิ ระบบบันทึกอุณหภูมิ ระบบสูบลมสุญญากาศ ขดลวดให้ความร้อน อิฐมวลเบา และระบบจ่ายก๊าซอาร์กอนในภาชนะปลูก (Crucible)



ภาพที่ 3.3 ระบบเตาปลุกผลึกแบบบริดจ์แมน-สต็อกบาร์เกอร์



ภาพที่ 3.4 แผนผังส่วนประกอบเตาปลูกผลึกแบบบริดจ์แมน-สโต๊กบาร์เกอร์

เตาปลูกผลึกที่พัฒนามาจากการปลูกด้วยวิธีบริดจ์แมน-สโต๊กบาร์เกอร์ มีแผนผังดังแสดงในภาพที่ 3.4 โดยมีการติดตั้งเทอร์โมคัปเปิลไว้ 3 ตำแหน่ง คือ โซนอุณหภูมิสูง โซนอุณหภูมิต่ำ และโซนปลูกผลึก ตำแหน่งตรงกลางเตาปลูก ซึ่งติดตั้งไว้เพื่อการวัดอุณหภูมิภายในเตาหลอม เมื่ออุณหภูมิภายในเตาไม่อยู่ในค่าอุณหภูมิที่ตั้งไว้ระบบควบคุมจะทำการจ่ายหรือตัดกระแสไฟฟ้า ภายในเตามีฉนวนกันความร้อนทำจากอิฐมวลเบาใช้สำหรับป้องกันการสูญเสียความร้อนของเตาปลูกผลึก และภายในเตาทั้งสองโซนได้ติดตั้งขดลวดให้ความร้อน โดยที่ขดลวดทั้งสองมีตัวควบคุมการจ่ายกระแสไฟฟ้าที่แยกจากกัน บริเวณตรงกลางระหว่างอุณหภูมิทั้งสองโซนเป็นตำแหน่งภาชนะที่ใช้ในการปลูกผลึก ภาชนะปลูกผลึกมีส่วนปลายที่แหลมซึ่งส่วนนี้จะเป็นส่วนที่อยู่โซนปลูกผลึก และปลายอีกด้านของภาชนะปลูกเชื่อมต่อกับระบบสุญญากาศ และระบบจ่ายก๊าซอาร์กอน อุณหภูมิที่เกิดขึ้นภายในเตาตลอดช่วงที่ทำการปลูกผลึกถูกบันทึกด้วยระบบบันทึกข้อมูลอุณหภูมิ

3.2.1 ชุดเตาหลอมระบบ 2 โซน

เตาปลูกผลึกที่ใช้ถูกออกแบบให้มีเตาหลอมที่แบ่งเป็น 2 โซน คือ โซนอุณหภูมิสูง (High zone) และโซนอุณหภูมิต่ำ (Low zone) ดังแสดงในภาพที่ 3.5 เตาหลอมโซนอุณหภูมิสูง มีความยาว 15 เซนติเมตร และเตาหลอมโซนอุณหภูมิต่ำ มีความยาว 22 เซนติเมตร โดยแต่ละโซนออกแบบภายในให้เป็นทรงกระบอกและมีขดลวดให้ความร้อนอยู่ภายใน สำหรับขดลวดให้ความร้อนและระบบ

อุปกรณ์ควบคุมความร้อนนั้นแยกเป็นอิสระออกจากกัน และบริเวณที่ใช้ในการปลูกผลึก (growth zone) อยู่ตรงกลางระหว่าง 2 โซน ขดลวดที่ใช้เป็นชนิด Kanthal-AF ที่สามารถให้ความร้อนสูงสุด 1400 องศาเซลเซียส และออกแบบให้มีกำลังไฟฟ้า 1.2 กิโลวัตต์ ขดลวดมีลักษณะพันเป็นเกลียวมีเส้นผ่าศูนย์กลาง 5 มิลลิเมตร ถูกบรรจุในช่องของอิฐมวลเบา ดังแสดงในภาพที่ 3.6 การตั้งค่าอุณหภูมิของเตาหลอมบริเวณโซนอุณหภูมิสูงจะตั้งให้มีอุณหภูมิที่สูงกว่าจุดหลอมเหลว (Melting point) ของสารที่ใช้ปลูกผลึก และการตั้งค่าอุณหภูมิของเตาหลอมบริเวณโซนอุณหภูมิต่ำจะตั้งให้มีอุณหภูมิที่ต่ำกว่าจุดหลอมเหลวของสารที่ใช้ปลูกผลึก ดังนั้นจะทำให้เกิดเกรเดียนท์ของอุณหภูมิขึ้น โดยค่าเกรเดียนท์อุณหภูมิเป็นค่าการเปลี่ยนแปลงของอุณหภูมิต่อระยะทางที่เปลี่ยนไปภายในบริเวณโซนปลูกผลึก ค่าเกรเดียนท์ของอุณหภูมิสามารถเปลี่ยนแปลงได้ขึ้นอยู่กับค่าอุณหภูมิของทั้งสองโซนปลูกผลึก บริเวณรอบเตาปลูกผลึกจะมีฉนวนที่ทำจากอิฐทนความร้อน ทำหน้าที่ป้องกันไม่ให้อุณหภูมิความร้อนและทำให้สามารถควบคุมอุณหภูมิของเตาปลูกผลึกได้



ภาพที่ 3.5 เตาปลูกผลึก 2 โซน

ฉนวนอิฐมวลเบาที่สร้างเป็นเตาหลอมบริเวณอุณหภูมิสูงมีขนาดเส้นผ่าศูนย์กลาง 23 เซนติเมตร สูง 15 เซนติเมตร และเตาหลอมบริเวณอุณหภูมิต่ำมีขนาดเส้นผ่าศูนย์กลางเท่ากันแต่มีความสูงที่มากกว่าคือ สูง 22 เซนติเมตร ระหว่างเตาหลอมสองโซนจะมีโซนตรงกลางที่ไม่มีขดลวดพันรอบเป็น

บริเวณที่ใช้สำหรับปลุกผลึกหรือบัฟเฟิล (Baffle zone) สำหรับฉนวนด้านนอกทำหน้าที่ป้องกันความร้อนออกสู่ภายนอกและทำให้สามารถกักเก็บความร้อนไว้ภายในเตาหลอมให้คงที่ได้ และ ป้องกันบริเวณรอบนอกของเตาไม่ให้เกิดความเสียหายจากความร้อน



ภาพที่ 3.6 เตาหลอมที่มีขดลวดให้ความร้อนภายใน

3.2.2 ระบบควบคุมอุณหภูมิ

ระบบควบคุมอุณหภูมิดังแสดงในภาพที่ 3.7 เป็นระบบที่ใช้ในการควบคุมอุณหภูมิภายในเตาหลอม โดยระบบสามารถตั้งค่าอัตราการเพิ่ม อัตราการลดลงของอุณหภูมิ และยังสามารถควบคุมเวลาในการให้ความร้อนกับเตาหลอมได้โดยระบบควบคุมอุณหภูมิจะมี 2 ระบบที่แยกออกจากกัน คือ ระบบควบคุมอุณหภูมิสูงและอุณหภูมิต่ำ โดยทั้งสองระบบมีหลักการทำงานที่เหมือนกัน สำหรับการควบคุมอุณหภูมินั้นต้องควบคุมอุณหภูมิให้มีความเสถียรเพราะจะมีผลต่อการตกผลึกและคุณสมบัติของผลึกที่ได้ เตาหลอมอุณหภูมิสูงและเตาหลอมอุณหภูมิต่ำ มีการติดตั้งเทอร์โมคัปเปิลชนิด K สามารถวัดอุณหภูมิได้สูงถึง 1200 °C ระบบควบคุมอุณหภูมิแบบ พีไอดี ของบริษัท TAIE รุ่น F400 และมีวงจรรจ่ายกำลังไฟฟ้าขนาด 6 kW ระบบสามารถทำการควบคุมอัตราการเพิ่มและอัตราการลดลงของอุณหภูมิได้ในช่วง 0-500 °C/min หลักการทำงานและควบคุมอุณหภูมิเมื่ออุณหภูมิภายในเตามีค่าอุณหภูมิไม่ตรงตามที่ได้ตั้งค่าไว้ ระบบควบคุมจะสั่งให้วงจรรจ่ายกระแสไฟฟ้าเพิ่มหรือลดลงเพื่อทำให้อุณหภูมิตรงตามค่าที่ตั้งไว้ และเมื่อถึงระดับอุณหภูมิที่ตั้งไว้แล้วระบบก็จะทำการหยุดจ่ายกระแสไฟฟ้าให้ขดลวด



ภาพที่ 3.7 ระบบควบคุมและบันทึกอุณหภูมิ

3.2.3 ระบบบันทึกข้อมูลหาเกรเดียนท์อุณหภูมิ

ระบบบันทึกข้อมูลอุณหภูมิมีอยู่ 2 ส่วนคือ ระบบบันทึกเพื่อหาเกรเดียนท์อุณหภูมิและระบบบันทึกข้อมูลอุณหภูมิ ตลอดช่วงการปลูกผลึก ระบบบันทึกข้อมูลเพื่อหาเกรเดียนท์อุณหภูมิจะใช้เทอร์โมคัปเปิลบริเวณตรงกลางเลื่อนขึ้นหรือลงภายในโซนปลูกผลึกแล้วบันทึกอุณหภูมิที่เปลี่ยนแปลงไปตามระยะทาง การขับเคลื่อนของเทอร์โมคัปเปิลจะใช้ระบบขับเคลื่อนด้วยมอเตอร์ การอ่านค่าอุณหภูมิจะอ่านข้อมูลทุกระยะ 1 มิลลิเมตร หลังจากหยุดรอ 5 นาที เพื่อให้การอ่านได้ค่าที่คงที่ ข้อมูลการอ่านที่ได้เป็นการเปลี่ยนแปลงอุณหภูมิต่อระยะทางที่เปลี่ยนไป นำข้อมูลที่บันทึกได้เพื่อหาเกรเดียนท์ของอุณหภูมิ และสามารถหาดำแหน่งปลูกที่เหมาะสมได้ สำหรับระบบบันทึกข้อมูลอุณหภูมิ ตลอดช่วงการปลูกผลึก ระบบจะทำการบันทึกข้อมูลตั้งแต่ช่วงเริ่มต้นของอัตราเพิ่มอุณหภูมิ ช่วงอุณหภูมิคงที่ และช่วงอัตราการลดลงของอุณหภูมิ (Temperature gradient drift rate) ซึ่งเป็นช่วงที่สารถูกหลอมละลายแล้วเย็นตัวลง ทำให้เกิดการตกผลึกของสาร โดยอัตราการตกผลึกหรืออัตราการปลูกผลึกหาได้จากสมการต่อไปนี้

$$\text{Growth rate} \left(\frac{\text{mm}}{\text{hr}} \right) = \frac{\text{Temperature gradient drift rate (}^\circ\text{C/hr)}}{\text{Temperature gradient (}^\circ\text{C/mm)}} \quad (3.1)$$

สำหรับค่าอัตราการลดลงของอุณหภูมิต่อเวลา (Temperature gradient drift rate) สามารถหาได้จากกราฟการเปลี่ยนแปลงอุณหภูมิ (Temperature profile) ในช่วงกราฟที่แสดงอัตราการลดลงของอุณหภูมิที่วัดได้จากเทอร์โมคัปเปิลบริเวณตรงกลางหรือบริเวณโซนปลุกผลึก

3.2.4 ระบบปั๊มสุญญากาศและระบบควบคุมก๊าซอาร์กอน



ภาพที่ 3.8 ระบบปั๊มสุญญากาศและระบบควบคุมก๊าซอาร์กอน

ปั๊มสุญญากาศที่ใช้ในงานวิจัยนี้เป็น rotary pump ทำหน้าที่ดึงอากาศภายในภาชนะปลุกผลึก (crucible) ออกสู่บรรยากาศภายนอกทำให้ภายในภาชนะปลุกมีความดันเป็นสุญญากาศ และระบบควบคุมก๊าซอาร์กอนจะควบคุมผ่านอุปกรณ์ควบคุมความดัน (Pressure regulator) ทำหน้าที่ในการจ่ายก๊าซอาร์กอนที่มีความบริสุทธิ์ร้อยละ 99.99 เข้าไปในภาชนะปลุก เพื่อลดการทำปฏิกิริยาของสารที่ใช้ปลุกผลึกกับภาชนะปลุกผลึกโดยควบคุมความดันของก๊าซอาร์กอนภายในภาชนะปลุกให้มีค่าเท่ากับ 1 ความดันบรรยากาศ โดยระบบปั๊มสุญญากาศและระบบควบคุมก๊าซอาร์กอน ดังแสดงในภาพที่ 3.8

3.2.5 ภาชนะปลุกผลึก (Crucible)

ภาชนะปลุกผลึกที่ใช้เป็นหลอดแก้วควอทซ์ ดังแสดงในภาพที่ 3.9 เป็นภาชนะที่ใช้บรรจุสารที่ต้องการปลุกผลึก มีขนาดความยาว 42 มิลลิเมตรขนาดเส้นผ่านศูนย์กลางภายใน 10 มิลลิเมตร สามารถทนต่อความร้อนสูงได้ โดยมีจุดหลอมเหลวประมาณ 1730 °C หลอดแก้วจะไม่ทำปฏิกิริยาใดๆระหว่างการหลอมละลายผลึกเนื่องจากมีสัมประสิทธิ์การขยายตัวที่น้อยกว่าผลึก ขณะที่ผลึกมีการเย็นตัวลงผลึกจะหดตัวได้มากกว่าหลอดแก้วปลุกผลึก ดังนั้นเมื่อการปลุกผลึกเสร็จสิ้นลงจะสามารถนำหรือแกะผลึกออกได้ง่าย



ภาพที่ 3.9 หลอดแก้วควอทซ์สำหรับใช้เป็นภาชนะปลุกผลึก

สำหรับการติดตั้งหลังจากที่บรรจุสารแล้วจะนำไปติดตั้งเข้ากับท่ออลูมิเนียมสองชั้นที่มีเส้นผ่านศูนย์กลางภายในขนาด 1.2 เซนติเมตรดังแสดงในภาพที่ 3.10 โดยท่ออลูมิเนียมนี้ทำขึ้นมาเพื่อให้สามารถเชื่อมต่อเข้ากับระบบสุญญากาศ และ ระบบควบคุมก๊าซอาร์กอนได้

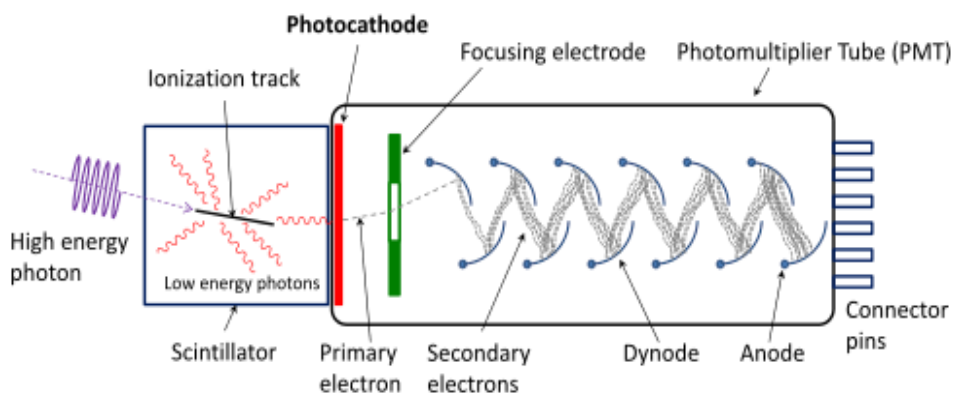


ภาพที่ 3.10 ชุดอุปกรณ์สำหรับเชื่อมต่อหลอดแก้วควอทซ์และระบบสุญญากาศ

3.3 การติดตั้งผลึกเข้ากับหลอดทวีคูณแสง (PMT) และระบบวิเคราะห์สเปกตรัมรังสี

ผลึกที่ได้จากการปลูกนั้นจะถูกนำมาวิเคราะห์ประสิทธิภาพและกำลังแยกพลังงานรังสีแกมมา โดยการนำผลึกที่ได้มาเชื่อมต่อเข้ากับหลอดทวีคูณแสงและนำหัววัดรังสีนี้ไปเชื่อมต่อเข้ากับส่วนขยายสัญญาณและระบบวิเคราะห์สเปกตรัมพลังงานรังสีแกมมาต่อไป

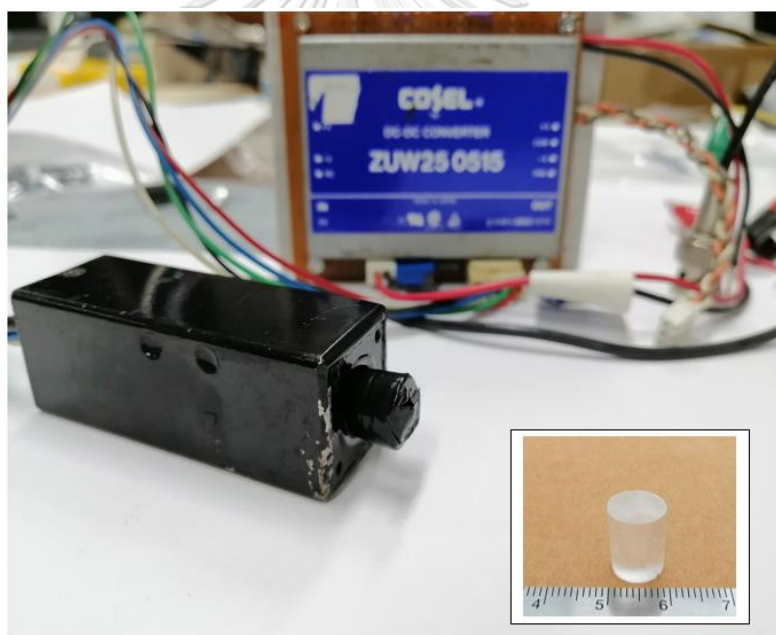
3.3.1 การติดตั้งผลึกกับหลอดทวีคูณแสง(PMT)



ภาพที่ 3.11 ส่วนประกอบของหัววัดรังสีชนิดเรืองแสง

(<https://scionix.nl/read-out/>)

ผลึกที่ได้จากการปลูกนั้นต้องนำมาเข้ากับหลอดทวิคูณแสงดังแสดงในภาพที่ 3.11 การติดตั้งผลึกเข้ากับหลอดทวิคูณแสงต้องทำการตัดและขัดผลึกให้ผิวเรียบ และให้มีขนาดพอดีกับช่องรับแสงของหลอดทวิคูณแสง นำเทปขาวพันรอบผลึกและพันด้วยเทปดำอีกหนึ่งชั้นให้เหลือส่วนปลายอีกด้านของผลึกสำหรับทาน้ำยาประสาน (Coupling) ก่อนการติดตั้งเข้ากับหลอดทวิคูณแสง เพื่อลดการหักเหแสงออกนอกบริเวณที่รับแสง โดยหลอดทวิคูณแสงที่เลือกใช้ทดสอบคุณภาพหัววัดคือ PMT ยี่ห้อ Hamamatsu รุ่น H5783 ที่มีขนาดเส้นผ่านศูนย์กลางบริเวณ Photocathode โดยประมาณ 1 เซนติเมตร การตรวจคุณภาพของระบบวัดรังสีและการแจกแจงหรือกำลังแยงพลังงานรังสีนั้น ที่สำคัญในการเลือกใช้หลอดทวิคูณแสงนั้น ต้องพิจารณาจากคุณสมบัติทางแสงของผลึก โดยความยาวคลื่นแสงที่ปลดปล่อยออกมาจากผลึกนั้นควรจะมีควมยาวคลื่นแสงที่หลอดทวิคูณแสงสามารถรับได้ เมื่อประกอบสองส่วนนี้เข้าด้วยกันแล้วจะเรียกว่าหัววัดรังสีดังแสดงในภาพที่ 3.12

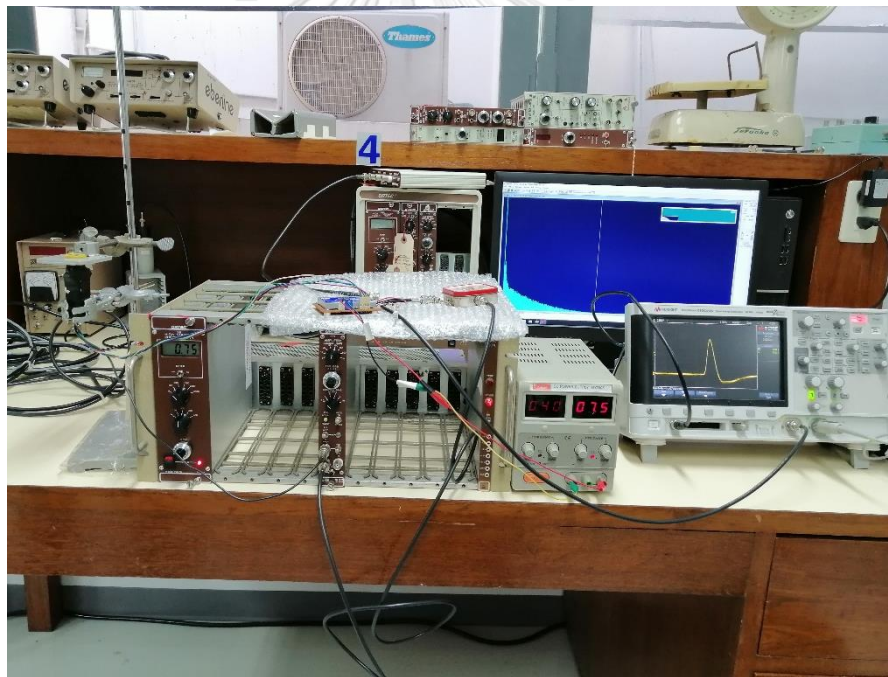


ภาพที่ 3.12 การติดตั้งผลึกเข้ากับหลอดทวิคูณแสง

หลังจากขั้นตอนการติดตั้งผลึกกับหลอดทวิคูณแสงแล้วให้ทำการเชื่อมต่อหัววัดรังสีเข้ากับส่วนขยายสัญญาณ ระบบวิเคราะห์สเปกตรัมรังสีแกมมาแบบหลายช่องพลังงาน (MCA) เมื่อต่อครบทุกอุปกรณ์แล้วจ่ายแรงดันไฟฟ้าที่เหมาะสมให้กับหัววัดรังสี ทำการทดสอบประสิทธิภาพและค่าความสามารถในการแยกรังสีกับต้นกำเนิดรังสีต่างๆ โดยการวิเคราะห์สเปกตรัมรังสีแกมมาดังแสดงในภาพที่ 3.14 สำหรับแหล่งกำเนิดรังสีหรือสารกัมมันตรังสีที่ใช้ทดสอบ ดังแสดงในภาพที่ 3.13



ภาพที่ 3.13 แหล่งกำเนิดรังสีแกมมาสำหรับวิเคราะห์คุณภาพห้วงรังสี



ภาพที่ 3.14 เครื่องวิเคราะห์สเปกตรัมรังสีแกมมาแบบหลายช่องพลังงาน (MCA)

บทที่ 4

การทดลองและผลการทดลอง

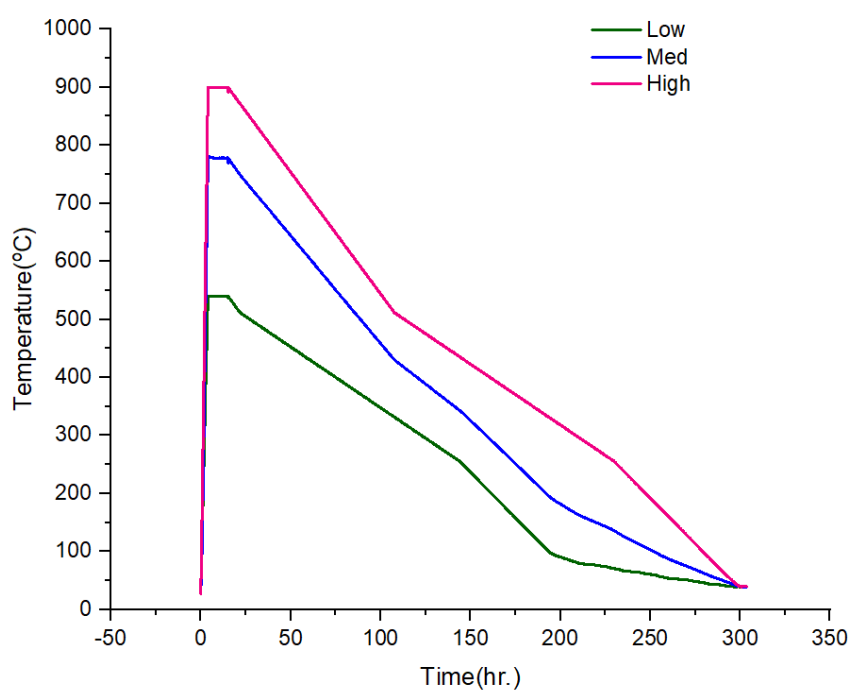
การวิจัยพัฒนาผลึกซีเซียมแคลเซียมไอโอไดต์ที่มีสัดส่วนของสาร CsI และ CaI_2 ที่แตกต่างกันนั้นจะใช้วิธีการอย่างง่ายด้วยอุปกรณ์ของห้องปฏิบัติการที่มีอยู่ การปลูกผลึกด้วยวิธีแบบบริดจ์แมน-สตีอ์กบาร์เกอร์ที่มีการแบ่งโซนของเตาหลอมออกเป็น 2 โซน แต่ละโซนก็ถูกควบคุมอุณหภูมิที่เป็นอิสระต่อกัน ดังนั้นการตั้งค่าอุณหภูมิของทั้งสองโซนแล้วให้ได้อุณหภูมิบริเวณปลูกผลึกที่มีอุณหภูมิที่เหมาะสม หลังจากที่มีการกำหนดอุณหภูมิโซนสูงและต่ำแล้วต้องทำการทดสอบกราฟอุณหภูมิเพื่อให้แน่ใจว่าอุณหภูมิที่ตั้งไว้นั้นสามารถทำการปลูกผลึกได้ โดยอุณหภูมิตรงบริเวณปลูกผลึกนั้นต้องสูงกว่าจุดหลอมเหลวของสารตั้งต้น เมื่อสามารถปลูกผลึกได้แล้วนั้นผลึกจะถูกนำไปทดสอบคุณสมบัติทางแสง และคุณภาพในการวิเคราะห์สเปกตรัมของรังสีแกมมาโดยการประกอบเข้ากับหลอดทวิคูณแสงที่มีการตอบสนองทางความยาวคลื่นแสงที่ตรงกันหรืออยู่ในช่วงที่สามารถทำการวัดได้ และหลังจากนั้นนำหัววัดที่ได้เชื่อมต่อเข้ากับระบบขยายสัญญาณ และระบบวิเคราะห์สเปกตรัมของรังสีแกมมา

4.1 การทดสอบคุณลักษณะของเตาปลูกผลึก

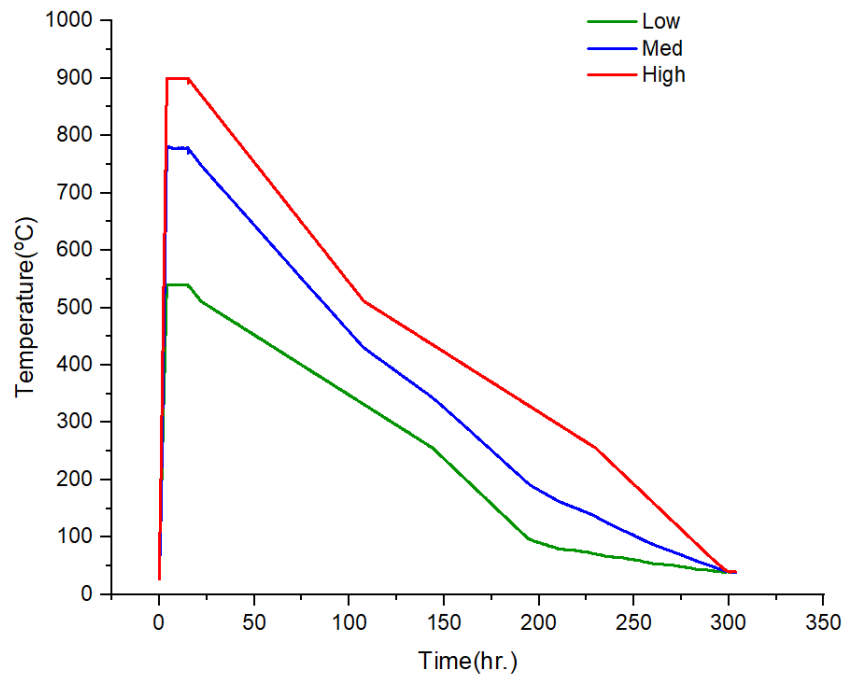
การตั้งค่าอุณหภูมิสำหรับการปลูกผลึกด้วยการกำหนดการตั้งค่าอุณหภูมิโซนสูงและอุณหภูมิโซนต่ำ เพื่อให้ได้อุณหภูมิโซนปลูกผลึกตามที่ต้องการนั้น โดยในการทดลองนี้กำหนดการตั้งค่าอุณหภูมิโซนสูงไว้ที่ 900 องศาเซลเซียส และอุณหภูมิโซนต่ำไว้ที่ 540 องศาเซลเซียส สำหรับผลึกซีเซียมแคลเซียมไอโอไดต์ที่มีสัดส่วน 80:20 และ 97:3 ของ $\text{CsI}:\text{CaI}_2$ และตั้งค่าอุณหภูมิโซนสูงไว้ที่ 780 องศาเซลเซียส และอุณหภูมิโซนต่ำไว้ที่ 450 องศาเซลเซียสสำหรับผลึกซีเซียมแคลเซียมไอโอไดต์ โดยเงื่อนไขการตั้งค่าอุณหภูมิสำหรับการปลูกผลึกแสดงในตารางที่ 4.1 หลังจากนั้นทำการตั้งอัตราการเพิ่มอุณหภูมิที่ตัวควบคุมอุณหภูมิโซนสูงที่ 2.8 องศาเซลเซียสต่อวินาที และการตั้งอัตราการเพิ่มอุณหภูมิที่ตัวควบคุมอุณหภูมิโซนต่ำที่ 1.7 องศาต่อวินาที เมื่อถึงอุณหภูมิที่ตั้งไว้ให้ระบบควบคุมอุณหภูมิตั้งไว้ประมาณราว 10 ชั่วโมง หลังจากนั้นทำการปรับอัตราการลดลงของอุณหภูมิ (Temperature gradient drift rate) 0.05 องศาเซลเซียสต่อวินาที ซึ่งอุณหภูมิช่วงนี้สำคัญมากเพราะเป็นช่วงที่จะมีการตกผลึก ถ้าปรับอัตราการลดลงของอุณหภูมิเร็วเกินไปอาจเกิดความเสียหายแก่ผลึกได้ ผลกราฟอุณหภูมิที่ได้จากระบบบันทึกข้อมูลตลอดการทดลองปลูกผลึก ดังแสดงในภาพที่ 4.1, 4.2 และ 4.3 ตามลำดับ

ตารางที่ 4.1 เงื่อนไขการตั้งค่าอุณหภูมิสำหรับการปลูกผลึก

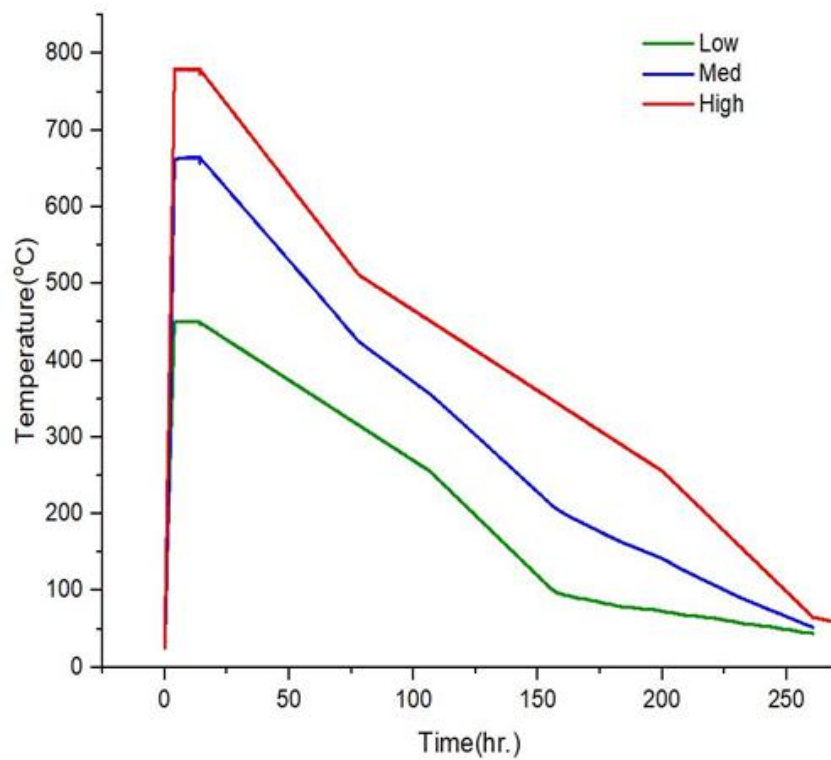
โซนอุณหภูมิ	CsCal ₃ :Csl=80%,Cal ₂ =20%	CsCal ₃ :Csl=97%,Cal ₂ =3%	Csl(Tl)=0.35%
ต่ำ	540 °C	540 °C	450 °C
กลาง	790 °C	790 °C	660 °C
สูง	900 °C	900 °C	780 °C



ภาพที่ 4.1 กราฟโปรไฟล์อุณหภูมิตลอดการปลูกผลึกของผลึก CsCal₃ สัดส่วน Csl=80%, Cal₂=20%



ภาพที่ 4.2 กราฟโปรไฟล์อุณหภูมิตลอดช่วงการปลูกผลึกของผลึก CsCal₃ สัดส่วน
CsI=97%,CaI₂=3%



ภาพที่ 4.3 กราฟโปรไฟล์อุณหภูมิตลอดช่วงการปลูกผลึกของผลึก CsI(TL)

4.2 การทดลองปลูกผลึก

4.2.1 วัสดุที่ใช้ในการทดลองปลูกผลึก

1. สารตั้งต้นซีเซียมไอโอไดด์ (CsI) ชนิดผงที่มีความบริสุทธิ์ร้อยละ 99.9
2. สารตั้งต้นแคลเซียมไอโอไดด์ (CaI₂) ชนิดผงที่มีความบริสุทธิ์ร้อยละ 99.5
3. เตาปลูกผลึกแบบ 2 โซน
4. เครื่องชั่งน้ำหนักสาร มีความละเอียด 0.001 กรัม ยี่ห้อ Sartorius รุ่น BSA323S-CW
5. หลอดแก้วควอทซ์สำหรับเป็นภาชนะบรรจุสารตั้งต้น ขนาดเส้นผ่านศูนย์กลางภายใน 1.0

เซนติเมตร ความยาว 42 เซนติเมตร

6. ก๊าซอาร์กอนบริสุทธิ์
7. ปืนสุญญากาศชนิดโรตารี

4.2.2 การเตรียมสารตั้งต้นสำหรับการปลูกผลึก

ทำการชั่งน้ำหนักสาร CsI, CaI₂, CsI(Tl) โดยการคำนวณจากสัดส่วนร้อยละโดยน้ำหนัก สัดส่วน 80:20 และ 97:3 ชั่งน้ำหนักสารตั้งต้นให้ได้ตามสัดส่วนที่คำนวณดังแสดงในตารางที่ 4.2 บรรจุสารตั้งต้นลงในหลอดแก้วควอทซ์ ที่มีเส้นผ่านศูนย์กลางภายใน 10 เซนติเมตรจะทำให้ได้ความสูงของสารตั้งต้นก่อนการหลอมละลายที่ความสูงประมาณ 10 เซนติเมตร เพื่อให้ได้ผลึกที่มีความยาว 5 เซนติเมตร ลักษณะสารตั้งต้นที่บรรจุในหลอดแก้วควอทซ์ดังแสดงในภาพที่ 4.4



ภาพที่ 4.4 สารตั้งต้นที่บรรจุในหลอดแก้วควอทซ์

ตารางที่ 4.2 ปริมาณของน้ำหนักรังสีตั้งต้นที่ใช้ปลูกผลึกทั้งสามก้อน

ชนิดผลึก	น้ำหนักรังสี CsI (กรัม)	น้ำหนักรังสี CaI_2 (กรัม)	น้ำหนักรังสี Tl (กรัม)
$CsCaI_3$:CsI=80%, CaI_2 =20%	13.90	3.43	-
$CsCaI_3$:CsI=97%, CaI_2 =3%	17.12	0.53	-
CsI(Tl=0.35%)	17.72	-	0.1534

4.2.3 การปลูกผลึกแบบบริดจ์แมนส์ไตท์บาร์เกอร์

การวิจัยนี้ทำการปลูกผลึกซีเซียมแคลเซียมไอโอไดต์โดยวิธีการปลูกผลึกแบบบริดจ์แมนส์ไตท์บาร์เกอร์ โดยทำการปลูกผลึกทั้งหมด 3 ก้อน ที่มีสัดส่วนสารตั้งต้นของปริมาณสารซีเซียมไอโอไดต์ (CsI) ต่อแคลเซียมไอโอไดต์ (CaI_2) ที่แตกต่างกัน จำนวน 2 ค่า 80:20 และ 97:3 และผลึกซีเซียมเทลเลียมไอโอไดต์ (CsI(Tl)) สำหรับเป็นผลึกอ้างอิง การคำนวณสัดส่วนโดยน้ำหนักรังสีของสารประกอบตั้งต้น ซีเซียมไอโอไดต์ที่ใช้เป็นสารตั้งต้นเป็นลักษณะผงละเอียดระดับเกรดที่มีความบริสุทธิ์ร้อยละ 99.9 โดยบริษัท เทอร์โม ฟิชเชอร์ ไซแอนทิฟิก จุดหลอมเหลว 626 องศาเซลเซียส ความหนาแน่น 4.15 กรัมต่อลูกบาศก์เซนติเมตร และแคลเซียมไอโอไดต์ที่ใช้เป็นสารตั้งต้นมีความบริสุทธิ์ร้อยละ 99.5 โดย บริษัท เทอร์โมฟิชเชอร์ ไซแอนทิฟิก จุดหลอมเหลว 779 องศาเซลเซียส ความหนาแน่น 3.95 กรัมต่อลูกบาศก์เซนติเมตร ส่วนเทลเลียมไอโอไดต์(Tl) ที่ใช้เป็นสารเจือปนเป็นลักษณะผงละเอียดระดับเกรดที่มีความบริสุทธิ์ร้อยละ 99 โดย บริษัท ฟิฟล์ซ์แอนด์เบอาเออร์ จุดหลอมเหลว 442 องศาเซลเซียส ความหนาแน่น 7.29 กรัมต่อลูกบาศก์เซนติเมตร สำหรับกรณีปลูกผลึกซีเซียมเทลเลียมไอโอไดต์โดยเจือเทลเลียมไอโอไดต์ที่ปริมาณร้อยละ 0.35 เมื่อเตรียมสารตั้งต้นให้ได้ตามสัดส่วนดังกล่าวข้างต้น จะนำบรรจุในหลอดปลูกผลึกคือเป็นหลอดแก้วควอทซ์ ขนาดเส้นผ่านศูนย์กลางภายใน 10 มิลลิเมตร หนา 1.5 มิลลิเมตร และยาว 42 เซนติเมตร โดยออกแบบให้หลอดแก้วมีปลายแหลมมากเป็นรูปตัววี ซึ่งหลอดก่อนทำการปลูกผลึกจะต้องผ่านการทำความสะอาดด้วยเครื่องอัลตราโซนิคเป็นเวลา 15 นาที แล้วล้างด้วยแอลกอฮอล์ ทำซ้ำจำนวน 3 รอบ และอบด้วยความร้อนที่อุณหภูมิ 120 องศาเซลเซียส เป็นเวลา 3 ชั่วโมง เพื่อไม่ให้ความชื้นเหลือในหลอดแก้วปลูกผลึก หลอดแก้วควอทซ์ที่บรรจุสารตั้งต้นไว้แล้วนำบรรจุลงในเตาปลูกผลึก และทำการติดตั้งเข้ากับระบบสุญญากาศ เพื่อดึงอากาศภายในหลอดแก้วควอทซ์ให้เป็นสุญญากาศแล้วทำการแทนที่ด้วยก๊าซอาร์กอน เตาปลูกผลึกนี้เป็นเตาปลูกผลึกอย่างง่ายแบ่งออกเป็น 3 โซน สำหรับผลึกซีเซียมแคลเซียมไอโอไดต์ทั้งสองสัดส่วนโซนอุณหภูมิสูงตั้งไว้ที่ 900 องศาเซลเซียส โซนอุณหภูมิต่ำตั้งไว้ที่

540 องศาเซลเซียส ซึ่งจะได้ช่วงอุณหภูมิโซนปลูกผลึก 790 ถึง 800 องศาเซลเซียส ซึ่งโซนนี้เป็นโซนที่มีความสำคัญมากที่สุดในการหลอมละลายสารตั้งต้น สำหรับผลึกซีเซียมแกลเลียมไอโอไดต์ทั้งสอง สัดส่วนโซนอุณหภูมิสูงตั้งไว้ที่ 780 องศาเซลเซียส โซนอุณหภูมิต่ำตั้งไว้ที่ 450 องศาเซลเซียส ซึ่งจะได้อุณหภูมิโซนปลูกผลึก 660 องศาเซลเซียส การควบคุมระดับความร้อนของเตาจะแบ่งได้เป็น 3 ช่วง คือ ช่วงการเพิ่มความร้อน ช่วงสภาวะคงที่ทางความร้อน และช่วงลดอุณหภูมิสำหรับการตกผลึก โดยเมื่อถึงค่าอุณหภูมิที่ตั้งไว้ให้ควบคุมรักษาอุณหภูมิให้คงที่ไว้เป็นเวลา 10 ชั่วโมง เพื่อให้เกิดสภาวะคงตัวของสารละลายที่มีการหลอมละลายทั้งหมด หลังจากนั้นจึงเริ่มช่วงขั้นตอนการลดอุณหภูมิลง เพื่อให้เกิดการตกผลึกของสารละลาย โดยจะให้มีการลดอุณหภูมิลงอย่างช้าด้วยอัตรา 0.05 องศาเซลเซียสต่ออนาที ทำให้ได้เวลารวมที่ใช้ในการปลูกผลึกราว 2 สัปดาห์ โดยภาชนะที่ใส่สารตั้งต้นขณะอยู่ในเตาหลอมดังแสดงในภาพที่ 4.5



ภาพที่ 4.5 ภาชนะปลูกผลึกขณะอยู่ในเตาหลอม

4.2.4 ผลการปลูกผลึก

ผลึกซีเซียมแคลเซียมไอโอไดด์ที่มีสัดส่วน 80:20 และ 97:3 ของ CsI:CaI₂ และผลึกซีเซียมแคลเซียมไอโอไดด์ที่ได้จากการทดลองมีอัตราการตกผลึกดังแสดงในตารางที่ 4.3

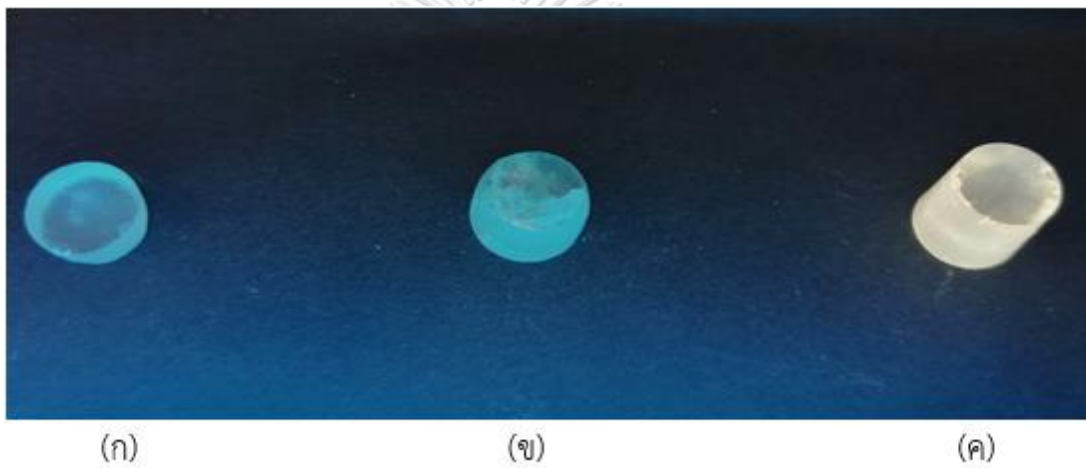
ตารางที่ 4.3 เงื่อนไขของอุณหภูมิที่ใช้การปลูกผลึก

ผลึก	Gradient ($\frac{^{\circ}\text{C}}{\text{mm}}$)	Growth rate ($\frac{\text{mm}}{\text{hr}}$)
CsCaI ₃ : 80:20	4.6	0.82
CsCaI ₃ : 97:3	4.6	0.82
CsI (TL)	4.8	0.78

สำหรับลักษณะผลึกที่ปลูกได้ทั้ง 3 ก้อน ขณะที่ยังบรรจุอยู่ในหลอดแก้วควอทซ์ดังแสดงในภาพที่ 4.6 จากนั้นจึงนำผลึกมาตัดเป็นแว่นหนาประมาณ 1 ซม. โดยสังเกตลักษณะกายภาพของผลึกที่ปลูกทั้ง 3 ก้อน แสดงดังภาพที่ 4.7 (ก) ผลึกซีเซียมแคลเซียมไอโอไดด์ (CsCaI₃) ที่มีสัดส่วน 80:20 ของ CsI:CaI₂ มีขนาดเส้นผ่านศูนย์กลาง 1 ซม. ความยาว 0.5 ซม. มีลักษณะใสและโปร่งแสง ผลึกมีรอยร้าวเล็กน้อย มีความไวต่อความชื้นไม่มากนัก ภาพที่ 4.7 (ข) ผลึก CsCaI₃ ที่มีสัดส่วน 97:3 ของ CsI:CaI₂ มีขนาดเส้นผ่านศูนย์กลาง 1 ซม. ความยาว 1 ซม. มีลักษณะใสและโปร่งแสง แต่ผลึกมีรอยแตกร้าวมากกว่าผลึกที่มีสัดส่วน 80:20 มีความไวต่อความชื้นไม่มากนัก ภาพที่ 4.8 (ค) ผลึก CsI(TL) เจือสาร TL 0.35% มีขนาดเส้นผ่านศูนย์กลาง 1 ซม. ความยาว 1 ซม. มีลักษณะใสและโปร่งแสง และผลึกเป็นเนื้อเดียวกัน มีความไวต่อความชื้นไม่มากนัก และภายใต้แสงยูวีที่ส่องให้กับผลึกทั้ง 3 ก้อน จะเห็นได้ว่าผลึกทั้ง 3 ก้อน มีการเปล่งแสงออกมาที่แสงย่านความยาวคลื่นต่างกัน คือ ก้อนผลึก CsCaI₃ ที่มีสัดส่วน 80:20 และ 97:3 เปล่งแสงสว่างย่านแสงสีฟ้า และก้อนผลึก CsI:TL เปล่งแสงสว่างย่านแสงสีเหลือง



ภาพที่ 4.6 ผลึกที่อยู่ในแก้วควอทซ์ของผลึก CsCal_3 ที่มีสัดส่วน 80:20 97:3 ของ $\text{CsI}:\text{CaI}_2$ และผลึก CsI(Tl)



ภาพที่ 4.7 การเรืองแสงของผลึกภายใต้การกระตุ้นด้วยแสงยูวี

- (ก) ผลึก CsCal_3 ที่มีสัดส่วน 80:20 ของ $\text{CsI}:\text{CaI}_2$ ขนาดเส้นผ่านศูนย์กลาง 1 ซม. ความยาว 0.5 ซม.
 (ข) ผลึก CsCal_3 ที่มีสัดส่วน 97:3 ของ $\text{CsI}:\text{CaI}_2$ ขนาดเส้นผ่านศูนย์กลาง 1 ซม. ความยาว 1 ซม.
 (ค) ผลึก CsI(Tl) เจือสาร TL 0.35% ขนาดเส้นผ่านศูนย์กลาง 1 ซม. ความยาว 1 ซม.

4.3 การทดสอบความเป็นผลึก

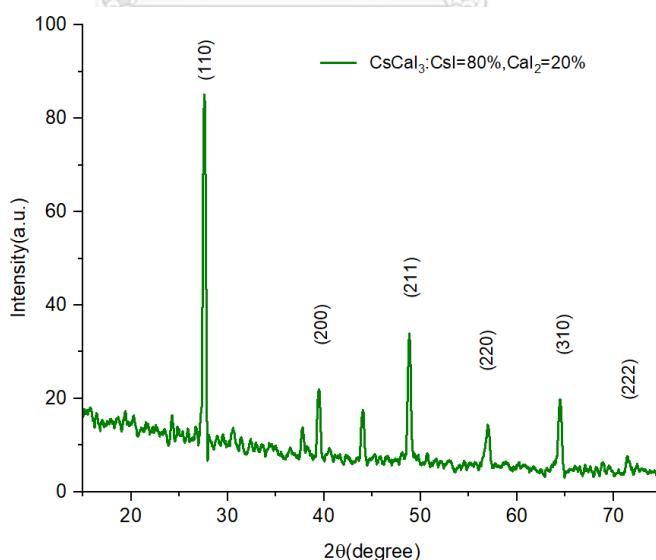
ผลการตรวจสอบโครงสร้างผลึกและความเป็นผลึกด้วยเทคนิคการเลี้ยวเบนรังสีเอกซ์ของผลึก CsCa₃ สัดส่วน 80:20 และ 97:3 ของ CsI:Ca₂ และผลึก CsI(Tl) เจือสาร Tl 0.35 % มีรูปแบบการเลี้ยวเบนรังสีเอกซ์ดังแสดงในภาพที่ 4.8, 4.9 และ 4.10 ตามลำดับ และเมื่อเปรียบเทียบรูปแบบการเลี้ยวเบนรังสีเอกซ์ของผลึกทั้งสามมีรูปแบบดังแสดงในภาพที่ 4.11 ผลึกซีเซียมแคลเซียมไอโอไดต์ทั้ง 2 ก้อน ได้แสดงรูปแบบการจัดเรียงตัวของโครงสร้างผลึกของผลึกซีเซียมไอโอไดต์มาตรฐานทั่วไปซึ่งเป็นโครงสร้างแบบคิวบิกที่มีอะตอมตรงกลาง (body-center cubic) หรือโครงสร้างแบบ BCC โดยแสดงถึงรูปแบบการเลี้ยวเบนรังสีเอกซ์ทั้งหมด 6 พิกของตำแหน่ง 2 θ คือ พิกของระนาบ (110) (200) (211) (220) (310) และ (222) และมีโครงสร้างผลึกที่เด่นชัด คือ โครงสร้างผลึกระนาบ (110) ที่เด่นชัดมากที่สุดและรองถัดลงมาด้วยระนาบ (211) และพบว่าผลึกซีเซียมแคลเซียมไอโอไดต์ ที่มีสัดส่วน 80:20 ของ CsI:Ca₂ มีพิกที่ตำแหน่งค่ามุม 2 θ ที่ 45 องศา ซึ่งเป็นพิกของแคลเซียมไอโอไดต์ (Persson and Kristin, 2014; Yee et al., 2019) ซึ่งแสดงว่ามีสารแคลเซียมไอโอไดต์บางส่วนที่ยังไม่หลอมรวมกันกับสารซีเซียมไอโอไดต์ ส่วนผลึกซีเซียมไอโอไดต์เจือเทลเลียม มีลักษณะของโครงสร้างผลึกเป็นแบบ BCC โดยมีโครงสร้างผลึกที่เด่นชัดพอกัน 2 ระนาบ คือโครงสร้างผลึกระนาบ (110) และระนาบ (211) ดังแสดงในภาพที่ 4.8 สำหรับค่าคงที่แลตทิซ ความเครียด และขนาดผลึกที่ได้จากคำนวณดังแสดงในตารางที่ 4.4

ตารางที่ 4.4 เปรียบเทียบค่าแลตทิซ ขนาดผลึก และเปอร์เซ็นต์ความเครียดของผลึกทั้งสาม

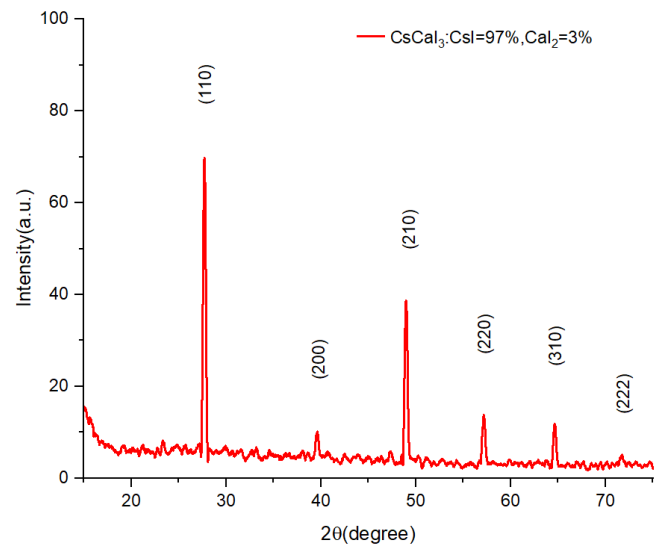
ผลการทดสอบผลึก	CsCa ₃ :CsI=80%, Ca ₂ =20%	CsCa ₃ :CsI=97%, Ca ₂ =3%	CsI(Tl)
ระนาบเด่น	(110) และ (211)	(110) และ (211)	(110) และ (211)
ค่าคงที่แลตทิซ	4.5721±0.0091 °Å	4.5512±0.0107 °Å	4.5484±0.0022 °Å
(%) Strain	0.34	-0.12	-0.18
ขนาดผลึกที่ระนาบ เด่น (nm)	25.30 และ 25.32	25.10 และ 26.12 nm	21.78 และ 23.59

ผลึกซีเซียมแคลเซียมไอโอไดต์ที่มีสัดส่วน 80:20 ของ CsI:Ca₂ มีค่าคงที่แลตทิซ 4.5721±0.0091 อังสตรอม โดยทำให้เกิดสภาวะความเครียดแบบดึงขยาย (Tensile strain) ในผลึกเล็กน้อย 0.34% เมื่อเทียบกับผลึกซีเซียมไอโอไดต์ที่มีค่าคงที่แลตทิซ 4.5567 อังสตรอม (Klimmonsky et al., 2011)

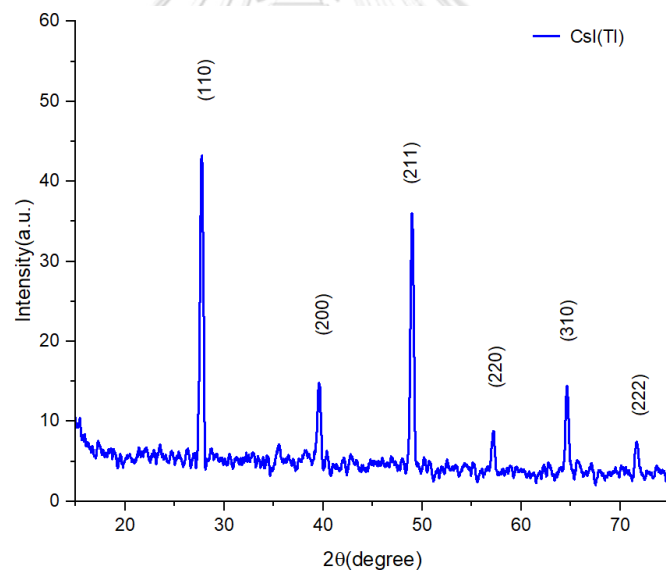
ขนาดผลึกระนาบ (110) 25.30 นาโนเมตร และ ขนาดผลึกระนาบ (211) 25.32 นาโนเมตร และ ผลึกซีเซียมแคลเซียมไอโอไดต์ที่มีสัดส่วน 97:3 ของ CsI:CaI₂ มีค่าคงที่แลตทิซ 4.5512 ± 0.0107 อังสตรอม โดยทำให้เกิดสภาวะความเครียดแบบบีบอัด (Compressive strain) ในผลึกเล็กน้อย -0.12% และมีขนาดผลึกระนาบ (110) 25.10 นาโนเมตร และ ขนาดผลึกระนาบ (211) 26.12 นาโนเมตร และ ผลึกซีเซียมไอโอไดต์เจือเทลเลียม มีค่าคงที่แลตทิซ 4.5484 ± 0.0022 อังสตรอม โดยทำให้เกิดสภาวะความเครียดแบบบีบอัด (Compressive strain) ในผลึกเล็กน้อย -0.18% ขนาดผลึกระนาบ (110) 21.78 นาโนเมตร และ ขนาดผลึกระนาบ (211) 23.59 นาโนเมตร ซึ่งจากผลสังเกตเห็นได้ว่าปริมาณแคลเซียมไอโอไดต์ผสมในการปลูกผลึกซีเซียมไอโอไดต์เพิ่มมากขึ้นทำให้ค่าคงที่แลตทิซของผลึกเพิ่มขึ้น โดยเมื่อเพิ่มปริมาณแคลเซียมไอโอไดต์สูงถึงร้อยละ 20 ส่งผลให้เปลี่ยนรูปแบบสภาวะความเครียดในผลึกเปลี่ยนจากแบบบีบอัดกลายเป็นแบบดึงขยาย ซึ่งหมายถึงการส่งผลต่อการเปลี่ยนแปลงของโครงสร้างผลึกที่มีปริมาณสัดส่วนของแคลเซียมเป็นองค์ประกอบที่แตกต่างกัน สำหรับขนาดผลึกค่อนข้างใกล้เคียงกันมีการเปลี่ยนแปลงเพิ่มเล็กน้อย แต่สังเกตเห็นว่าขนาดผลึกระนาบ (211) มีการเปลี่ยนแปลงมากกว่า คือ เมื่อมีสัดส่วนปริมาณแคลเซียมไอโอไดต์สูงกว่านั้นขนาดผลึกเล็กลง แสดงว่าผลึกที่มีสัดส่วนของ CsI:CaI₂ ต่างกันนั้นน่าจะมีการจัดเรียงตัวหน้าระนาบของโครงสร้างผลึกที่เปลี่ยนแปลงไปที่เป็นผลมาจากปริมาณแคลเซียมที่เพิ่มขึ้น



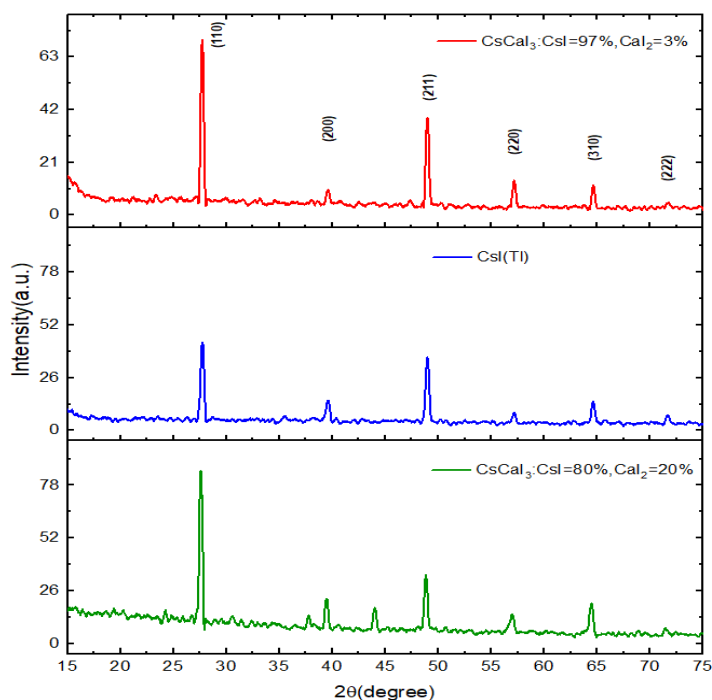
ภาพที่ 4.8 ผลวิเคราะห์ผลึก CsCal₃ สัดส่วน 80:20 ของ CsI:CaI₂ ด้วยเทคนิคการเลี้ยวเบนรังสีเอกซ์



ภาพที่ 4.9 ผลวิเคราะห์ผลึก CsCal_3 สัดส่วน 97:3 ของ $\text{CsI}:\text{CaI}_2$ ด้วยเทคนิคการเลี้ยวเบนรังสีเอกซ์



ภาพที่ 4.10 ผลวิเคราะห์ผลึก CsI(Tl) เจือสาร Tl 0.35 % ด้วยเทคนิคการเลี้ยวเบนรังสีเอกซ์



ภาพที่ 4.11 ผลวิเคราะห์ผลึก CsCal_3 สัดส่วน 80:20 97:3 ของ $\text{CsI}:\text{CaI}_2$ และผลึก CsI(Tl) เจือสาร TlI 0.35 % ด้วยเทคนิคการเลี้ยวเบนรังสีเอกซ์

4.4 ผลการวิเคราะห์การเรืองแสงของผลึก

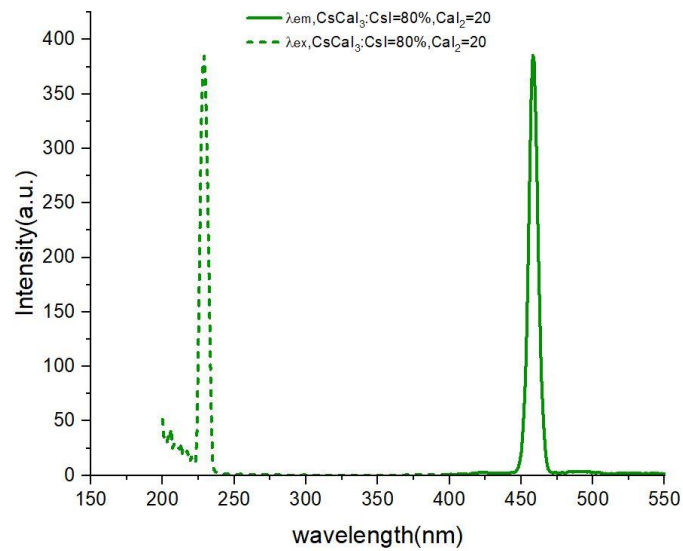
การวิเคราะห์สมบัติทางแสงของผลึกเป็นการทดสอบถึงประสิทธิภาพการเรืองแสงเมื่อได้รับพลังงานกระตุ้น โดยเทคนิคโฟโตลูมิเนสเซนซ์ ซึ่งผลที่ได้การวิเคราะห์ดังแสดงในตารางที่ 4.5

ตารางที่ 4.5 ผลการวิเคราะห์ด้วยเทคนิคโฟโตลูมิเนสเซนซ์ของผลึกทั้งสาม

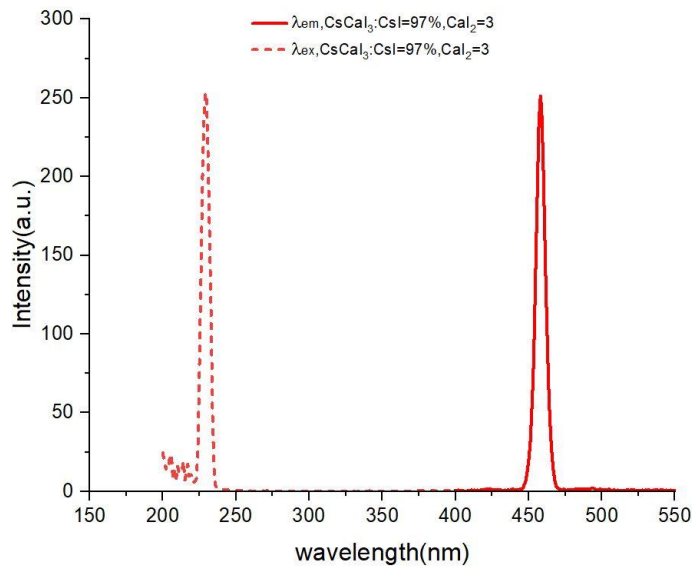
ผลการทดสอบคุณสมบัติทางแสง ของผลึก	$\text{CsCal}_3:\text{CsI}=80\%$, $\text{CaI}_2=20\%$	$\text{CsCal}_3:\text{CsI}=97\%$, $\text{CaI}_2=3\%$	CsI(Tl)
ความยาวคลื่นแสงที่เปล่งออกมา	458 nm	458 nm	559 nm

ผลการตรวจสอบคุณสมบัติการเปล่งแสงของผลึกเมื่อใช้แสงที่มีความยาวคลื่น 229 นาโนเมตร สำหรับผลึกซีเซียมแคลเซียมไอโอไดต์ทั้ง 2 ก้อน พบว่าผลึก ซีเซียมแคลเซียมไอโอไดต์ที่มีสัดส่วน 80:20 ของ $\text{CsI}:\text{CaI}_2$ มีการเปล่งแสงที่มีความยาวคลื่น 458 นาโนเมตร เป็นย่านของแสงสีเขียว ดังแสดงในภาพที่ 4.12 และผลึกซีเซียมแคลเซียมไอโอไดต์ที่มีสัดส่วน 97:3 ของ $\text{CsI}:\text{CaI}_2$ มีการเปล่งแสงที่มีความยาวคลื่น 458 นาโนเมตร ซึ่งเป็นย่านของแสงสีเขียวเช่นกัน ดังแสดงในภาพที่ 4.13 และผลึก

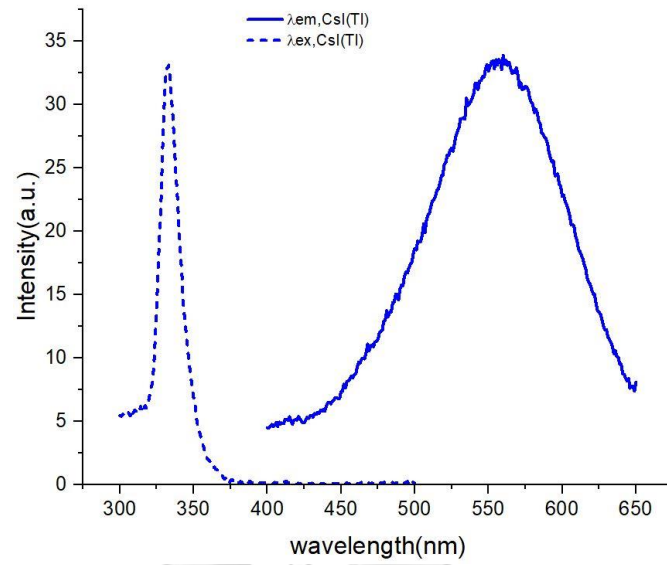
ซีเซียมไอโอไดต์ที่เจือด้วยแคลเซียม มีการเปล่งแสงที่มีความยาวคลื่น 559 นาโนเมตร ซึ่งเป็นย่านของแสงสีส้ม โดยถูกกระตุ้นด้วยแสงที่มีความยาวคลื่น 332 นาโนเมตร ดังแสดงในภาพที่ 4.14 สำหรับผลการเปรียบเทียบคุณสมบัติการเปล่งแสงของผลึก 3 ก้อน ดังแสดงในภาพที่ 4.15



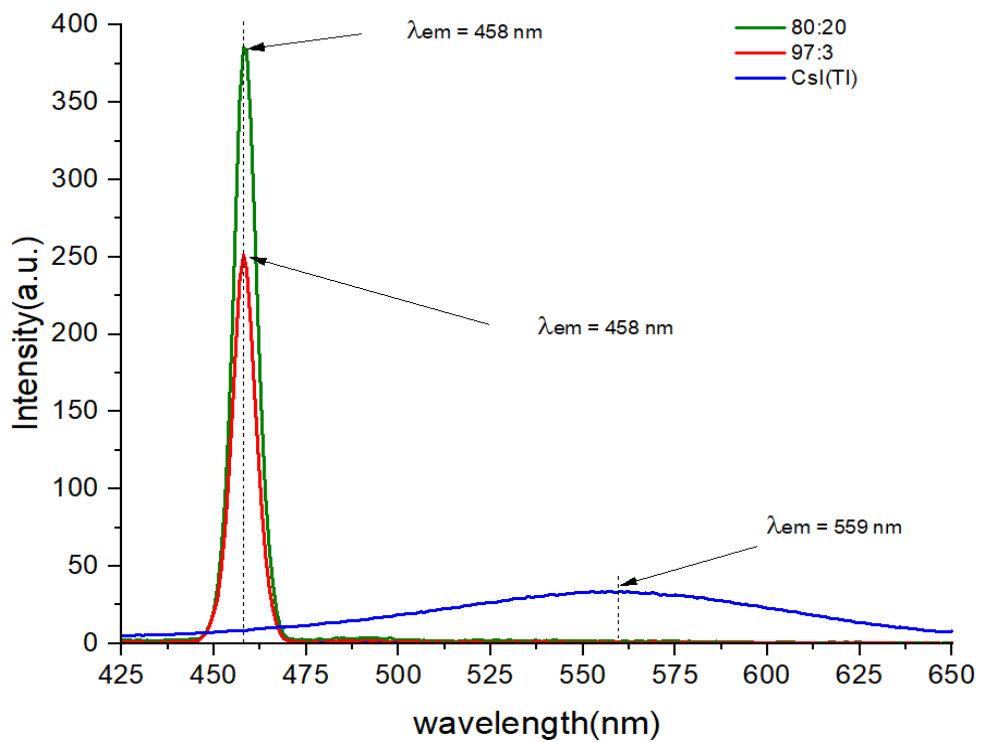
ภาพที่ 4.12 ความยาวคลื่นที่กระตุ้นและเปล่งออกมาของผลึก CsCaI_3 สัดส่วน 80:20 ของ $\text{CsI}:\text{CaI}_2$ ด้วยเทคนิคโฟโตลูมิเนสเซนซ์



ภาพที่ 4.13 ความยาวคลื่นที่กระตุ้นและเปล่งออกมาของผลึก CsCaI_3 สัดส่วน 97:3 ของ $\text{CsI}:\text{CaI}_2$ ด้วยเทคนิคโฟโตลูมิเนสเซนซ์



ภาพที่ 4.14 ความยาวคลื่นที่กระตุ้นและเปล่งออกมาของผลึก CsI(Tl) ด้วยเทคนิคโฟโตลูมิเนสเซนซ์



ภาพที่ 4.15 ความยาวคลื่นแสงที่เปล่งออกมาของผลึกทั้งสามก้อนด้วยเทคนิคโฟโตลูมิเนสเซนซ์

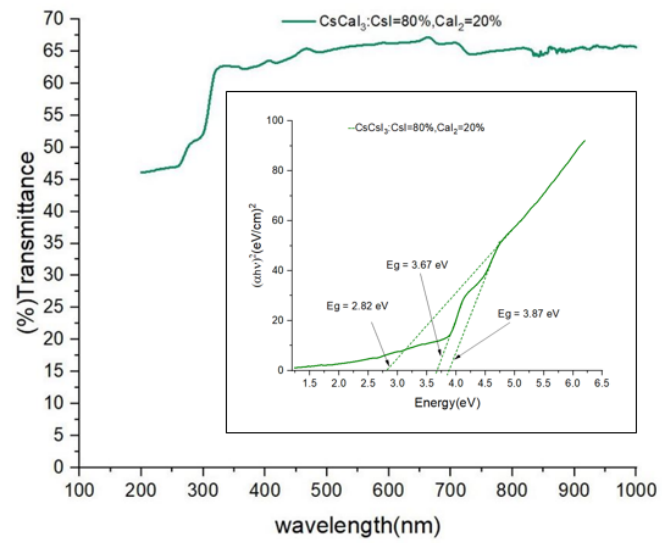
4.4 ผลการวิเคราะห์การส่องผ่านและการดูดกลืนแสงของผลึก

การวิเคราะห์คุณสมบัติทางแสงของผลึกถึงความสามารถในการส่องผ่านแสง การดูดกลืนแสง และช่องว่างแถบพลังงานทางแสง ด้วยเทคนิคการวัดสเปกตรัมแสงย่านแสงยูวีและช่วงตามมองเห็น ตามหลัก Beer-Lambert (Chen and Jaramillo, 2017) คือแสงในช่วงความยาวคลื่นแสง 190-1000 นาโนเมตร ผลจากการวิเคราะห์การส่องผ่านแสง และค่าช่องว่างแถบพลังงานของทั้งสามผลึกดังแสดงในตารางที่ 4.6

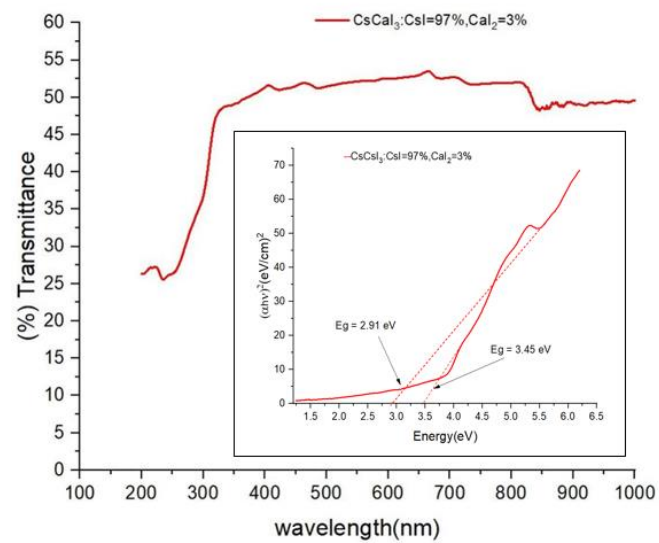
ตารางที่ 4.6 ผลการวิเคราะห์การส่องผ่านแสง และค่าช่องว่างแถบพลังงานของทั้งสามผลึก

ผลการทดสอบผลึก	CsCa ₃ :CsI=80%, Ca ₂ =20%	CsCa ₃ :CsI=97%, Ca ₂ =3%	CsI(TL)
การโปร่งแสงเต็มที่ (%)	65	49	76
ช่องว่างแถบพลังงาน (eV)	2.82, 3.63, 3.87	2.91, 3.45	2.38, 3.61, 4.66

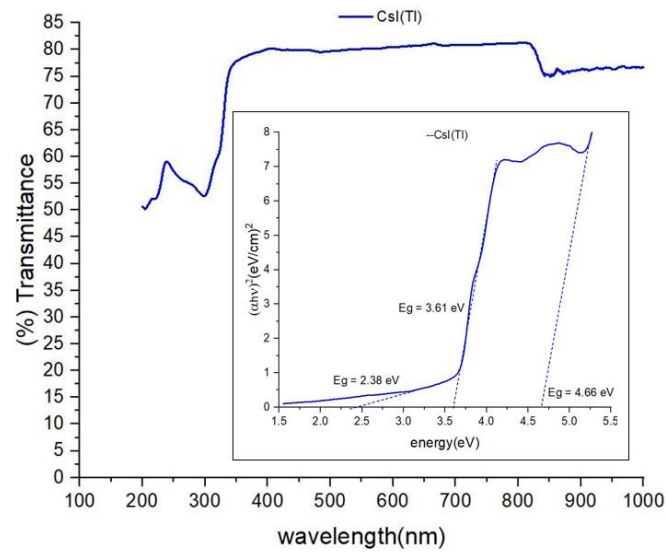
ผลการตอบสนองการส่องผ่านแสงของผลึกซีเซียมแคลเซียมไอโอไดต์ที่มีสัดส่วน 80:20 ของ CsI:Ca₂ แสดงจุดเริ่มโปร่งแสงที่ความยาวคลื่นช่วง 439 นาโนเมตร และเกิดการโปร่งแสงเต็มที่ที่ประมาณร้อยละ 65 ซึ่งค่าช่องว่างแถบพลังงานที่ 2.82, 3.63 และ 3.87 อิเล็กตรอนโวลต์ ดังแสดงในภาพที่ 4.16 ผลการตอบสนองการส่องผ่านแสงของผลึก ผลึกซีเซียมแคลเซียมไอโอไดต์ที่มีสัดส่วน 97:3 ของ CsI:Ca₂ แสดงจุดเริ่มโปร่งแสงที่ความยาวคลื่น 426 นาโนเมตร และเกิดการโปร่งแสงเต็มที่ที่ประมาณร้อยละ 49 ซึ่งค่าช่องว่างแถบพลังงานที่ 2.91 และ 3.45 อิเล็กตรอนโวลต์ดังแสดงในรูปที่ 4.17 และผลการตอบสนองการส่องผ่านแสงของผลึกซีเซียมไอโอไดต์เจือด้วยเทลเลียม มีจุดเริ่มโปร่งแสงที่ความยาวคลื่น 521 นาโนเมตร และเกิดการโปร่งแสงเต็มที่ที่ประมาณร้อยละ 76 ซึ่งค่าช่องว่างแถบพลังงานที่ 2.38, 3.61 และ 4.66 อิเล็กตรอนโวลต์ ดังแสดงในภาพที่ 4.18 สำหรับผลการตอบสนองการส่องผ่านแสงที่ความยาวคลื่นต่างๆของผลึกทั้งสามก้อนดังแสดงในภาพที่ 4.19 และเมื่อทำการแปลงผลการตอบสนองทางแสงให้เป็นค่าการดูดกลืนแสง เพื่อที่จะค่าช่องว่างแถบพลังงานตามหลักการหาความสัมพันธ์ของทาว (Tauc's plot) (Chen and Jaramillo, 2017) ซึ่งผลค่าช่องว่างแถบพลังงานทางแสงของผลึกทั้งสามก้อนที่ได้ ดังแสดงในภาพที่ 4.20



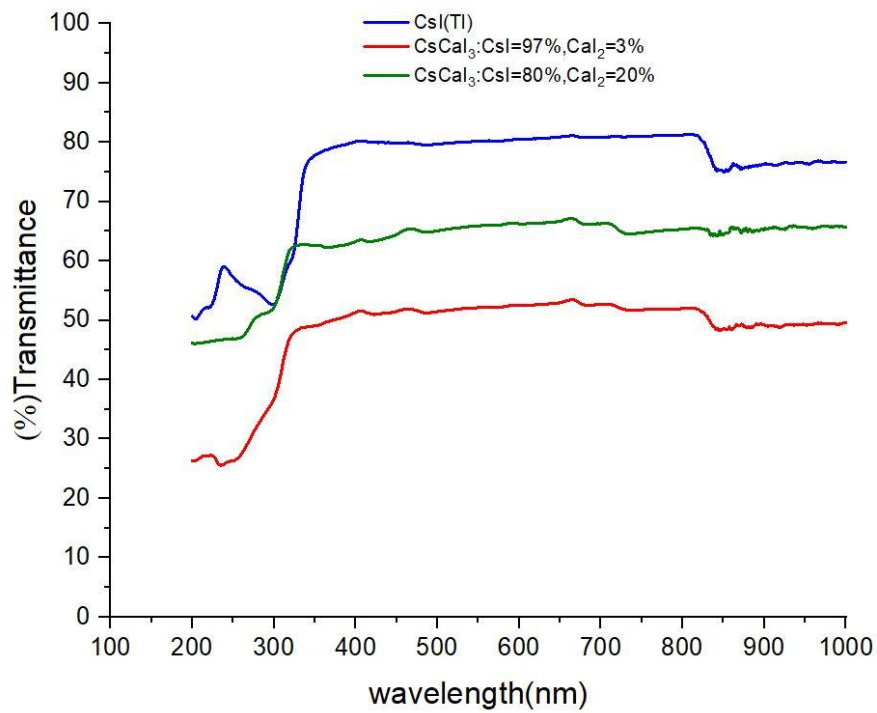
ภาพที่ 4.16 การส่องผ่านแสงและช่องว่างแถบพลังงานทางแสงของผลึก CsCa_{13} สัดส่วน 80:20 ของ $\text{CsI}:\text{CaI}_2$



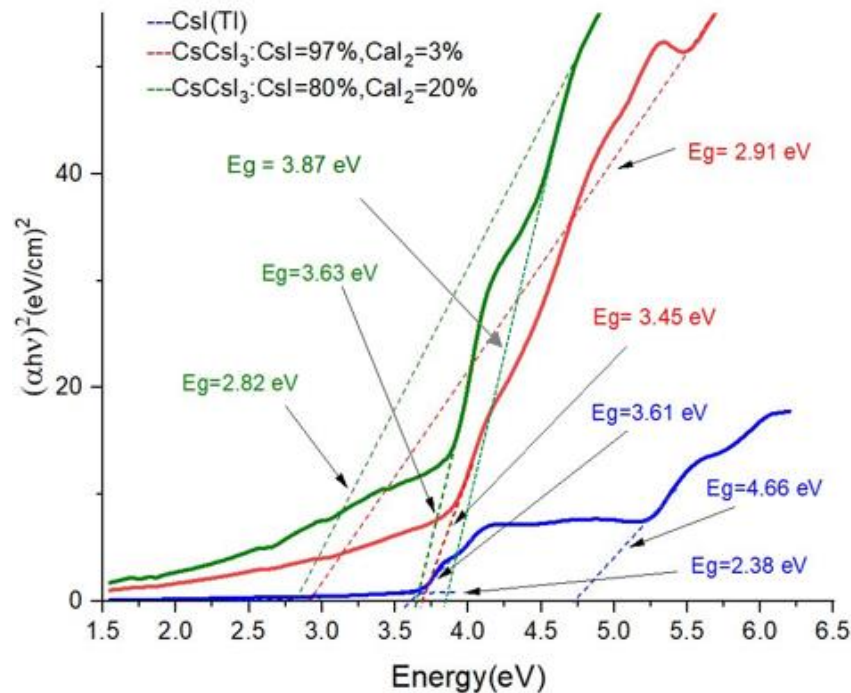
ภาพที่ 4.17 การส่องผ่านแสงและช่องว่างแถบพลังงานทางแสงของผลึก CsCa_{13} สัดส่วน 897:3 ของ $\text{CsI}:\text{CaI}_2$



ภาพที่ 4.18 ผลการส่องผ่านแสงและช่องว่างแถบพลังงานทางแสงของผลึก CsI(Tl)



ภาพที่ 4.19 การค่าตอบสนองการส่องผ่านแสงของผลึกทั้งสามก้อน



ภาพที่ 4.20 ค่าช่องว่างแถบพลังงานทางแสงของผลึกทั้งสามก้อนด้วยเทคนิค UV-visible

4.5 ผลการทดสอบประสิทธิภาพการวัดรังสีของผลึก

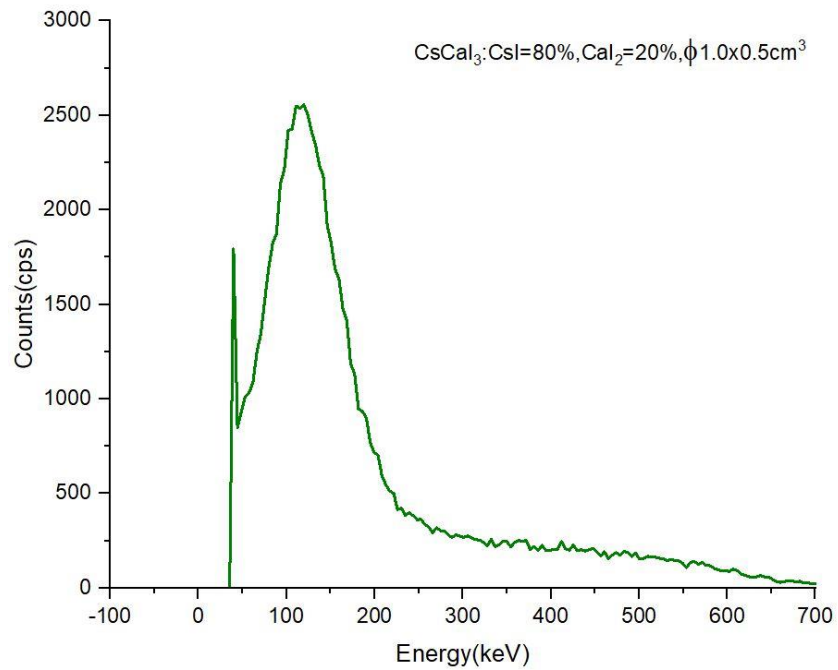
การทดสอบประสิทธิภาพการวัดรังสีของผลึก โดยการนำผลึกที่ได้จากการปลูกผลึกมาตัดและขัดเพื่อให้ผิวหน้าของผลึกมีความเรียบเพื่อที่จะนำไปประกอบเข้ากับส่วนของหลอดทวีคูณแสง (PMT) และส่วนวิเคราะห์สเปกตรัม ผลึกที่นำไปทดสอบประสิทธิภาพ คือ ผลึกซีเซียมแคลเซียมไอโอไดต์ที่มีสัดส่วน 80:20 ของ CsI:CaI₂ มีขนาดเส้นผ่านศูนย์กลาง 1.0 เซนติเมตร ยาว 0.5 เซนติเมตร ผลึกซีเซียมแคลเซียมไอโอไดต์ที่มีสัดส่วน 97:3 ของ CsI:CaI₂ มีขนาดเส้นผ่านศูนย์กลาง 1.0 เซนติเมตร ยาว 1.0 เซนติเมตร และ ผลึกซีเซียมไอโอไดต์เจือด้วยเทลเลียมมีขนาดเส้นผ่านศูนย์กลาง 1.0 เซนติเมตร ยาว 1.0 เซนติเมตร การทดสอบประสิทธิภาพการวัดโดยการนำผลึกที่ขัดแล้วใช้น้ำยาประสานผิวหน้า (Fluid coupling) ทาบนผิวหน้าของผลึกและนำไปติดตั้งเข้ากับหลอดทวีคูณแสง ซึ่งน้ำยาประสานที่ใช้จะช่วยลดการหักเหและสูญเสียความเข้มของแสง นำเทปกาวสีดำมาปิดเพื่อป้องกันไม่ให้มีแสงจากภายนอกมารบกวนและเป็นการป้องกันความเสียหายของหลอดทวีคูณแสง แล้วนำหัววัดที่ได้ไปติดตั้งเข้ากับระบบวิเคราะห์สัญญาณ สำหรับสารกัมมันตรังสีที่ใช้ในการทดสอบคือ โคบอลต์ 57 ที่มีระดับพลังงานของรังสีแกมมา 122 กิโลอิเล็กตรอนโวลต์ ผลจากการทดสอบพบว่า ผลึกซีเซียมแคลเซียมไอโอไดต์ที่มีสัดส่วน 80:20 ของ CsI:CaI₂ มีประสิทธิภาพการวัดรังสีร้อยละ

57.2 และกำลังแยกพลังงานร้อยละ 79.0 ผลึกซีเซียมแคลเซียมไอโอไดต์ที่มีสัดส่วน 97:3 ของ CsI:CaI₂ มีประสิทธิภาพการวัดรังสีร้อยละ 4.64 และค่าความสามารถในการแยกพลังงานรังสีร้อยละ 40.3 และผลึกซีเซียมไอโอไดต์เจือด้วยเทลเลียมมีประสิทธิภาพการวัดรังสีร้อยละ 46.2 และค่าความสามารถในการแยกพลังงานรังสีร้อยละ 40.2 แต่ด้วยว่าผลึกที่มีสัดส่วน 97:3 นั้นมีค่าอัตรานับวัดรังสีที่ได้จากระบบวัดรังสีนี้ไม่เหมาะสมในส่วนของวงจรรขยายสัญญาณและปรับรูปสัญญาณจึงทำให้ผลของการหาประสิทธิภาพการวัดรังสีและกำลังแยกของการวัดรังสีของผลึกนี้ยังไม่ถูกต้องเท่าไรนัก

โดยผลการวัดสเปกตรัมรังสีแกมมาเพื่อหาประสิทธิภาพและค่าความสามารถในการแยกพลังงานรังสีแสดงดังตารางที่ 4.7 และสเปกตรัมรังสีแกมมาที่วัดได้ของทั้งสามผลึกดังแสดงในภาพที่ 4.21, 4.22, และ 4.23 ตามลำดับ ผลการเปรียบเทียบสเปกตรัมรังสีแกมมาที่วัดได้ดังแสดงในภาพที่ 4.24 สำหรับสเปกตรัมรังสีแกมมาวัดที่ระยะ 0 , 3, 5 และ 15 เซนติเมตร ของผลึกซีเซียมแคลเซียมไอโอไดต์ที่มีสัดส่วน 80:20 ของ CsI:CaI₂ ผลึกซีเซียมแคลเซียมไอโอไดต์ที่มีสัดส่วน 97:3 ของ CsI:CaI₂ และผลึกซีเซียมเทลเลียมไอโอไดต์ มีสเปกตรัมรังสีแกมมาดังแสดงในภาพที่ 4.25, 4.26 และ 4.27 ตามลำดับ

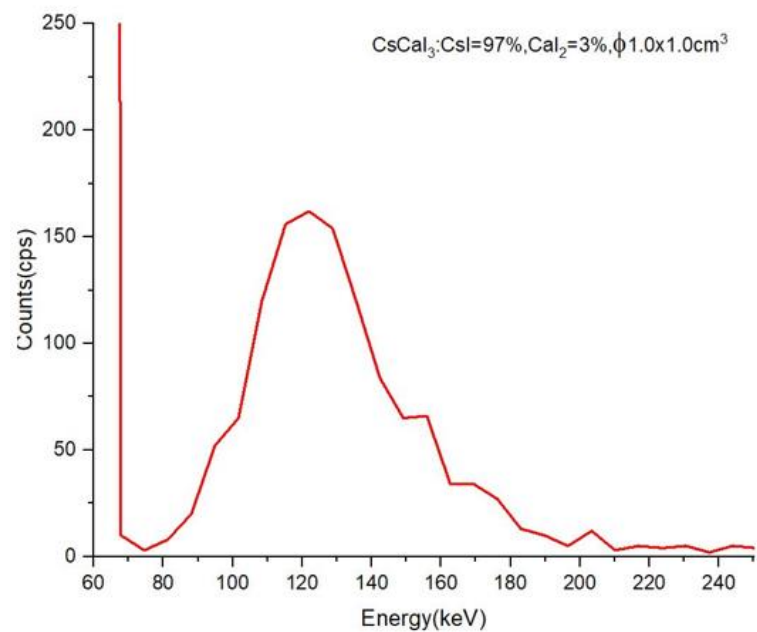
ตารางที่ 4.7 ประสิทธิภาพการวัดรังสีแกมมาพลังงาน 122 keV และความสามารถในการแยกพลังงานรังสีของผลึกทั้งสามก้อน ที่ระยะวัด 3 เซนติเมตร

ผลึก	ประสิทธิภาพสัมบูรณ์ของการวัดรังสี (E_{abs})	ประสิทธิภาพการวัดรังสี (E_{int})	ความสามารถในการแยกพลังงานรังสี (R)
CsCaI ₃ :CsI=80%, CaI ₂ =20%	0.4 %	57.2 %	79.0 %
CsCaI ₃ :CsI=97%, CaI ₂ =3%	0.01 %	4.64 %	40.3 %
CsI(Tl)	0.3 %	46.2 %	40.2 %



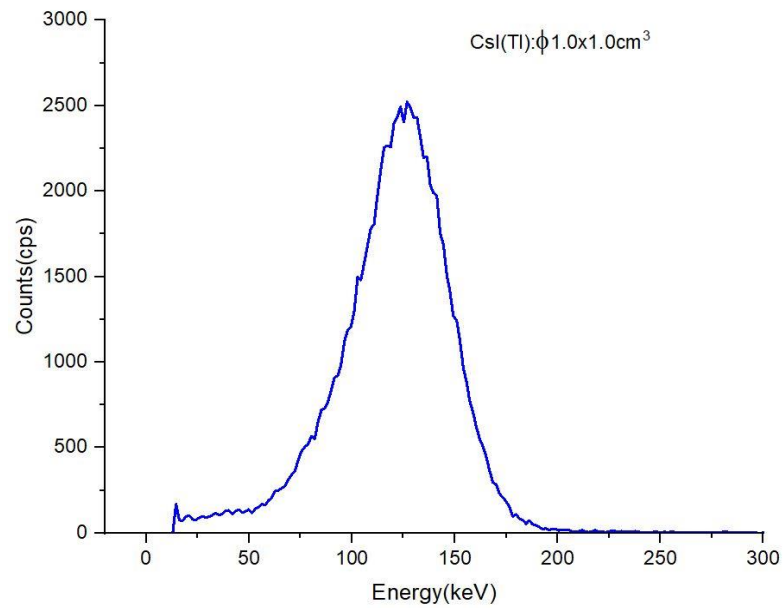
ภาพที่ 4.21 สเปกตรัมรังสีแกมมาพลังงาน 122 กิโลอิเล็กตรอนโวลต์ของผลึก

CsCal₃:CsI=80%, Cal₂=20% โดยวัดที่ระยะ 3 เซนติเมตร

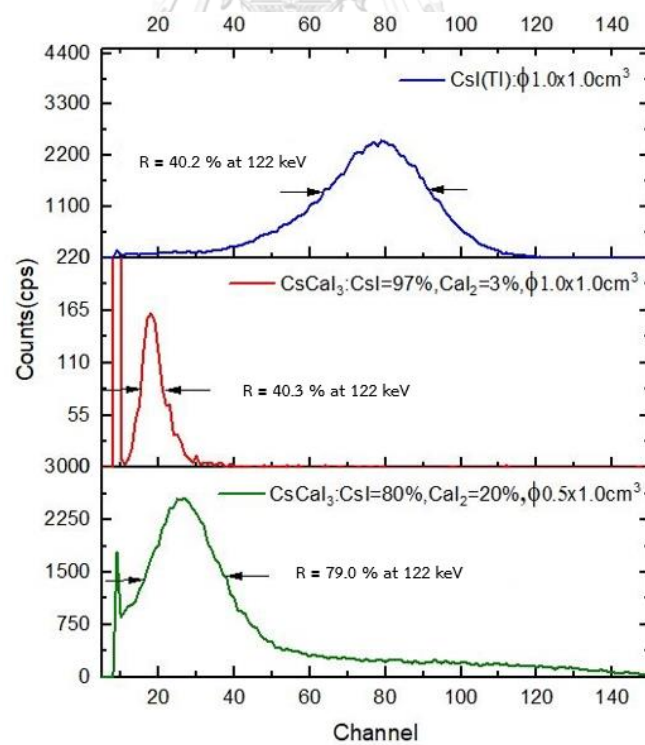


ภาพที่ 4.22 สเปกตรัมรังสีแกมมาพลังงาน 122 กิโลอิเล็กตรอนโวลต์ของผลึก

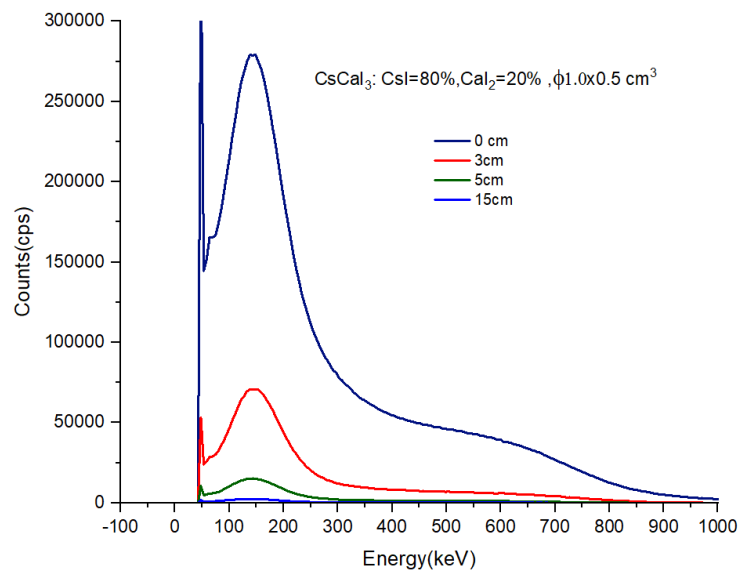
CsCal₃:CsI=97%, Cal₂=3% โดยวัดที่ระยะ 3 เซนติเมตร



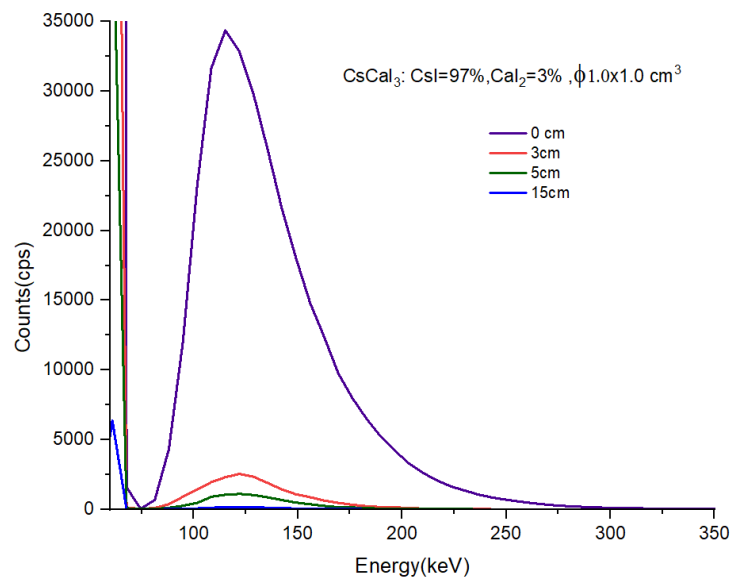
ภาพที่ 4.23 สเปกตรัมรังสีแกมมาพลังงาน 122 กิโลอิเล็กตรอนโวลต์ของผลึก CsI(Tl) โดยวัดที่ระยะ 3 เซนติเมตร



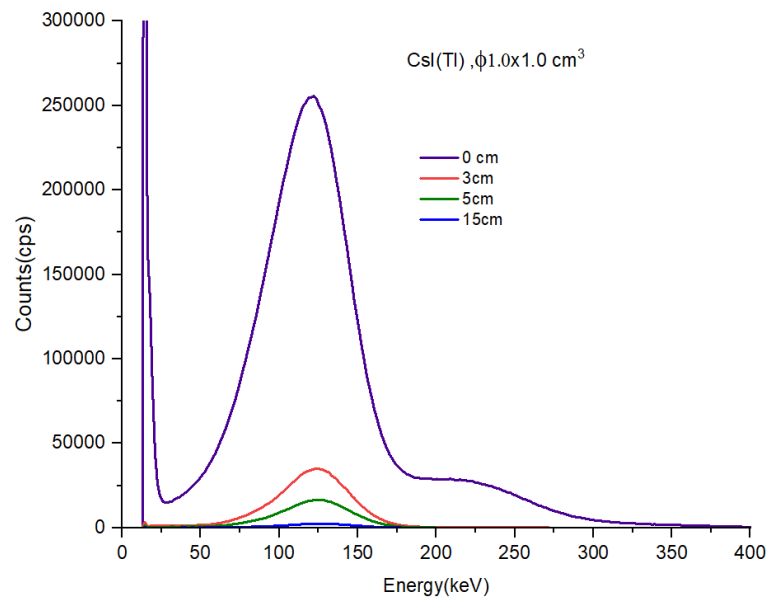
ภาพที่ 4.24 สเปกตรัมรังสีแกมมาพลังงาน 122 กิโลอิเล็กตรอนโวลต์ของผลึกทั้งสามก้อน วัดที่ระยะ 3 เซนติเมตร



ภาพที่ 4.25 สเปกตรัมรังสีแกมมาพลังงาน 122 กิโลอิเล็กตรอนโวลต์ของผลึก
CsCal₃:CsI=80%,CaI₂=20% วัดที่ระยะ 0-15 เซนติเมตร



ภาพที่ 4.26 สเปกตรัมรังสีแกมมาพลังงาน 122 กิโลอิเล็กตรอนโวลต์ของผลึก
CsCal₃:CsI=97%,CaI₂=3% วัดที่ระยะ 0-15 เซนติเมตร



ภาพที่ 4.27 สเปกตรัมรังสีแกมมาพลังงาน 122 กิโลอิเล็กตรอนโวลต์ของผลึก CsI(Tl) วัดที่ระยะ 0-15 เซนติเมตร



บทที่ 5

สรุปและวิจารณ์ผลการวิจัย

5.1 สรุปผลการวิจัย

การพัฒนาผลึกซีเซียมแคลเซียมไอโอไดต์เพื่อใช้วัดรังสีในงานวิจัยนี้ ได้ทำการปลูกผลึกด้วยวิธีบริดจ์แมน-สต็อกบาร์เกอร์ โดยใช้ CsI และ CaI_2 ในสัดส่วนที่แตกต่างกัน 2 ค่า คือ 80:20 และ 97:3 การวิจัยแบ่งออกเป็น การทดสอบคุณลักษณะของเตาปลูกผลึก โครงสร้างผลึก คุณสมบัติทางแสง และการตรวจวัดประสิทธิภาพและความสามารถในการวัดรังสี โดยผลการวิจัยสรุปได้ดังต่อไปนี้

5.1.1 ผลการทดสอบคุณลักษณะของเตาปลูกผลึก ผลึก CsCaI_3 ทั้งสองสัดส่วน และผลึก CsI(Tl) ควบคุมเวลาเมื่อถึงอุณหภูมิที่ตั้งไว้เป็นเวลาโดยประมาณ 10 ชั่วโมง แล้วทำการปรับอัตราการลดลงของอุณหภูมิด้วยอัตรา 0.05 องศาเซลเซียสต่อชั่วโมง ซึ่งผลจากการวัดค่าเกรเดียนท์ของอุณหภูมิ ทำให้ได้ค่าอัตราการตกผลึกของผลึก CsCaI_3 ทั้งสองสัดส่วน 0.82 มิลลิเมตรต่อชั่วโมง และผลึก CsI(Tl) มีอัตราการตกผลึก 0.78 มิลลิเมตรต่อชั่วโมง

5.1.2 ผลการวิเคราะห์โครงสร้างและคุณสมบัติทางแสง เมื่อปริมาณ CaI_2 ที่เพิ่มมากขึ้นส่งผลทำให้เกิดการจัดเรียงตัวของระนาบในโครงสร้างผลึกเปลี่ยนแปลงไปด้วยโครงสร้างผลึกที่ต่างกัน โดยที่ผลึก CsCaI_3 ที่สัดส่วน 80:20 มีขนาดผลึกที่ระนาบ (110) และ (211) คือ 25.30 และ 25.32 นาโนเมตร มีค่าคงที่แลตทิซ 4.5721 ± 0.0091 อังสตรอม เกิดความเครียดแบบดึงขยาย 0.34 % เมื่อเทียบกับผลึก CsI อ้างอิงที่มีค่า 4.5567 อังสตรอม ผลึก CsCaI_3 ที่สัดส่วน 97:3 มีค่าคงที่แลตทิซ 4.5512 ± 0.0107 อังสตรอม เกิดความเค้นแบบบีบอัด -0.12 % และผลึก CsI(Tl) มีค่าคงที่แลตทิซ 4.5484 ± 0.0022 อังสตรอม เกิดความเค้นแบบบีบอัด -0.18 % สำหรับผลึก CsCaI_3 ที่มีปริมาณสัดส่วน CaI_2 ที่สูงกว่าแต่ยังคงส่งผลการเปลี่ยนแปลงต่อคุณสมบัติทางแสงของผลึกได้ใกล้เคียงกันโดยให้ความยาวคลื่นแสงที่เปล่งออกมาประมาณ 458 นาโนเมตร ซึ่งเป็นความยาวคลื่นที่อยู่ในช่วงที่ตามองเห็นและอยู่ในช่วงการตอบสนองของอุปกรณ์รับแสง เช่น หลอดทวิคูณแสง (PMT) ที่ใช้งานทั่วไป และช่วยเพิ่มความเข้มแสงที่เปล่งออกมาสูงมากขึ้นเมื่อมีปริมาณสัดส่วนแคลเซียมมากกว่า สำหรับผลการส่องผ่านและการดูดกลืนแสง ทำให้ทราบว่า ผลึก CsCaI_3 ที่สัดส่วน 80:20 มีค่าช่องว่างแถบพลังงาน 2.82, 3.63 และ 3.87 อิเล็กตรอนโวลต์ ผลึก CsCaI_3 ที่สัดส่วน 97:3 มีค่าช่องว่างแถบพลังงาน 2.91 และ 3.45 อิเล็กตรอน

โวลต์ สำหรับผลึก CsI(Tl) มีค่าช่องว่างแถบพลังงาน 2.38, 3.61 และ 4.66 อิเล็กตรอนโวลต์ ซึ่งค่าเหล่านี้มีความใกล้เคียงกับผลวิเคราะห์ของงานวิจัยอื่น (Sintham, 2017)

5.1.3 ผลการตรวจวัดประสิทธิภาพของการวัดรังสีที่พลังงาน 122 กิโลอิเล็กตรอนโวลต์ พบว่าผลึก CsCal₃ ที่สัดส่วน 80:20 มีประสิทธิภาพการวัดรังสีมากที่สุดคือ 57.2 % ซึ่งมากกว่า ผลึก CsCal₃ ที่สัดส่วน 97:3 มีค่า 4.64 % และผลึก CsI(Tl) มีค่า 46.2 % สำหรับค่าความสามารถในการแยกพลังงานรังสี ผลึก CsCal₃ ที่สัดส่วน 80:20 มีค่ามากที่สุด (แยกพลังงานได้ไม่ตี) 79.0% ผลึก CsCal₃ ที่สัดส่วน 97:3 มีค่า 40.3% ในขณะที่ผลึกที่มีความสามารถในการแยกพลังงานได้ดีที่สุด คือผลึก CsI(Tl) ที่มีค่า 40.2% แต่ด้วยว่าเงื่อนไขของระบบนับวัดรังสีของผลึกที่มีสัดส่วน 97:3 ยังมีความไม่เหมาะสมจึงทำให้ได้ค่าอัตรานับวัดรังสีต่ำมากไป ส่งผลให้ค่าประสิทธิภาพการตรวจวัดรังสีและกำลังแยกพลังงานของผลึกวัดรังสีนี้เบี่ยงเบนไปจากค่าแท้จริงได้

5.2 วิจารณ์ผลการทดลอง

สำหรับผลการวิเคราะห์คุณภาพผลึก ได้ว่าขนาดผลึกของผลึก CsCal₃ สัดส่วน 80:20 คือขนาดผลึกระนาบ (110) และระนาบ (211) มีขนาด 25.30 nm. และ 25.32 nm. ตามลำดับ สำหรับผลึก CsCal₃ สัดส่วน 97:3 ของ CsI: Cal₂ คือ ขนาดผลึกระนาบ (110) และระนาบ (211) มีขนาด 25.10 nm. และ 26.12 nm. ตามลำดับ โดยผลึกที่มีสัดส่วนแคลเซียมเพิ่มมากขึ้นมีขนาดผลึกระนาบ (211) เล็กลงแต่ของระนาบ (110) แทบจะไม่เปลี่ยนแปลง แสดงว่าเมื่อมีแคลเซียมเพิ่มมากขึ้นส่งผลให้เกิดการจัดเรียงตัวของอะตอมในโครงสร้างเปลี่ยนแปลงไปบ้างเล็กน้อย แล้วค่าคงที่แลตทิซก็เพิ่มมากขึ้นทำให้เกิดสภาวะความเครียดเปลี่ยนแปลงจากรูปแบบบิออคกลายเป็นแบบดิงชยายแทน ซึ่งนี้อาจจะมาจากการที่มีโครงสร้างผลึกต่างกันของผลึกแคลเซียมไอโอไดด์ที่มีโครงสร้างแบบรอมโบฮีดรอน และผลรูปแบบการเลี้ยวเบนรังสีของผลึกที่มีสัดส่วน 80:20 ยังแสดงถึงพิคของโครงสร้างผลึกแคลเซียมไอโอไดด์ที่เพิ่มเติมขึ้นมาแต่ความเข้มพิคไม่สูงมากนัก ในขณะที่ผลึกสัดส่วน 97:3 และผลึก CsI:Tl ไม่ปรากฏพิคนี้ ทั้งนี้อาจเป็นไปได้ที่มีส่วนที่เป็นผลึกแคลเซียมไอโอไดด์หลอมปนรวมอยู่ในผลึก CsCal₃ นี้บ้างเล็กน้อย และสำหรับผลึก CsI(Tl) พบว่ามีขนาดผลึกระนาบ (110) และระนาบ (211) คือ ขนาด 21.78 nm. และ 23.59 nm. ตามลำดับ ซึ่งขนาดผลึกค่อนข้างเล็กเมื่อเทียบกับผลึกที่ใช้งานทั่วไปที่รายงานค่าใหญ่กว่าราว 2-3 เท่า อาจจะด้วยว่าเป็นการปลูกภายใต้สภาวะเงื่อนไขการปลูกที่ยังไม่เหมาะสมนัก

สำหรับค่าช่องว่างแถบพลังงานทางแสงของผลึก CsCal₃ สัดส่วน 80:20 ของ CsI:Cal₂ มีค่า 2.82, 3.63 และ 3.87 อิเล็กตรอนโวลต์ และผลึก CsCal₃ สัดส่วน 97:3 ของ CsI:Cal₂ มีค่า 2.91 และ

3.45 อิเล็กตรอนโวลต์ ซึ่งสำหรับสองค่าระดับนั้นมีค่าใกล้เคียงกัน แต่สำหรับผลึกที่มีสัดส่วนแคลเซียมไอโอไดต์สูงอาจเป็นไปได้ที่จะเกิดช่องว่างแถบพลังงานแยกกันระหว่างของผลึก CsI กับผลึก CaI_2 ได้จึงทำให้สามารถสังเกตเห็นค่าเพิ่มขึ้นอีกหนึ่งระดับ ผลึก CsCaI_3 สัดส่วน 80:20 ของ CsI: CaI_2 และผลึก CsCaI_3 สัดส่วน 97:3 ของ CsI: CaI_2 มีค่าความยาวแสงที่เปล่งออกมาประมาณ 458 นาโนเมตร โดยสัดส่วนที่เพิ่มขึ้นของแคลเซียมไอโอไดต์ช่วยส่งเสริมให้ความเข้มแสงที่เปล่งออกมาสูงขึ้น ซึ่งอาจจะเนื่องมาจากการไปเพิ่มระดับชั้นพลังงานในแถบช่องว่างพลังงาน ก็ช่วยเพิ่มโอกาสในการปลดปล่อยโฟตอนแสงออกมาได้จำนวนมากขึ้น ซึ่งเมื่อนำผลึก CsCaI_3 ทั้งสองสัดส่วนไปวิเคราะห์ประสิทธิภาพการวัดรังสีผลึกที่ได้คือ ผลึก CsCaI_3 ที่สัดส่วน 80:20 มีประสิทธิภาพการวัด 57.2% ที่ถือว่ายังไม่ดีเท่าไรนัก แต่ยังมีค่ามากกว่าผลึก CsCaI_3 ที่สัดส่วน 97:3 และผลึก CsI(Tl) ซึ่งสาเหตุที่ผลึก CsCaI_3 ที่สัดส่วน 80:20 ของ CsI: CaI_2 ประสิทธิภาพการวัดที่ดีกว่าอาจเป็นเพราะมีสัดส่วนของ CaI_2 ที่มากกว่าที่ช่วยส่งเสริมทำให้ค่าอัตราปริมาณความเข้มแสงที่เปล่งออกมาต่อพลังงานที่สูงมากขึ้น เมื่อนำผลการวิจัยนี้เปรียบเทียบกับงานวิจัยที่มีลักษณะการวิจัยที่ใกล้เคียงกัน (Iida et al., 2019) ที่ปลูกผลึก CaI_2 ขนาด $5 \times 5 \times 1 \text{ mm}^3$ มีความยาวแสงที่เปล่งออกมาที่ 410 นาโนเมตร โดยผลึกมีความสามารถในการแยกพลังงานรังสี คือ 3.2 % ที่พลังงาน 662 กิโลอิเล็กตรอนโวลต์ ซึ่งเมื่อเทียบกับผลึก CsCaI_3 ทั้งสองสัดส่วนที่มีค่าความยาวแสงที่เปล่งออกมาคือ 458 นาโนเมตร ซึ่งแสดงให้เห็นว่าการปลูกผลึกที่มีส่วนประกอบของ CaI_2 กับ CsI สามารถเปลี่ยนคุณสมบัติทางแสงได้ดีขึ้นและปรับความยาวคลื่นของแสงที่เปล่งออกมาให้อยู่ในช่วงการตอบสนองของอุปกรณ์รับแสงได้เหมาะสมมากขึ้น สำหรับค่าความสามารถในการแยกพลังงานรังสียังไม่ดีนัก ด้วยว่าคุณภาพผลึกทั้งสองนี้ยังไม่ดีนัก ผลึกยังมีโครงสร้างผลึกเป็นลักษณะพหุสัณฐานด้วยระนาบที่โดดเด่นพอกันสองระนาบ โดยเฉพาะกรณีของผลึก CsCaI_3 ที่สัดส่วน 97:3 นั้นมีผลการทดสอบการตรวจวัดรังสีด้วยระบบวงจรรขยายสัญญาณและปรับแต่งสัญญาณที่มีความไม่เหมาะสมหรือยังไม่สอดคล้องกันกับการเรืองแสงของผลึกนี้

5.3 ข้อเสนอแนะ

การวิจัยปลูกผลึก CsCaI_3 อุณหภูมิบริเวณโซนปลูกผลึกมีค่าสูงกว่าจุดหลอมเหลวของสารตั้งต้นเพียงเล็กน้อยอาจเป็นสาเหตุหนึ่งที่ทำให้สารตั้งต้นไม่หลอมละลายรวมกันได้ทั้งหมดและสามารถส่งผลทำให้ผลึกเกิดรอยร้าวขึ้นในบางส่วนของผลึก แต่ทั้งนี้เมื่อเพิ่มอุณหภูมิสูงมากเกินไป อาจจะทำให้ภาชนะปลูกผลึกมีการกักความร้อนไว้สูงมากเกินไป หรือส่งผลทำให้หลุดแตกได้ในขณะที่ทำการ

ปลูกผลึกอยู่ หรือส่งผลต่อการลดระดับความร้อนเพื่อทำการตกผลึก ดังนั้นประเด็นนี้จึงเป็นอีกหนึ่งตัวแปรที่จะต้องมีการศึกษาอย่างเป็นระบบ

ในส่วนของการทดสอบหาประสิทธิภาพการวัดรังสีและความสามารถในการแยกพลังงานรังสีของผลึกได้ไม่ดีนัก อาจมาจากสาเหตุคือการขัดผลึกไม่เรียบมากพอ หรือ อาจจะมาจากรูปร่างหรือสัดส่วนสารตั้งต้นที่ยังไม่เหมาะสม จึงทำให้ได้ผลึกที่มีคุณภาพผลึกยังไม่ดีพอจึงส่งผลทำให้ได้ประสิทธิภาพการตรวจวัดรังสีและความสามารถแยกพลังงานรังสีได้ไม่ดีมากนัก อีกทั้งควรต้องมีวงจรรขยายสัญญาณและปรับแต่งสัญญาณให้มีความเหมาะสมกับคุณสมบัติการเรืองแสงของผลึกชนิดนี้ที่เปล่งแสงความยาวคลื่น 458 นาโนเมตร ที่แม้ว่าจะมีความเหมาะสมอยู่ในช่วงการตอบสนองของอุปกรณ์รับแสงแล้วก็ตาม

ดังนั้นเพื่อการพัฒนาให้ได้ผลึกซีเซียมแคลเซียมไอโอไดต์ที่ดีขึ้นในงานวิจัยต่อไป ควรพิจารณาในการตั้งค่าอุณหภูมิปลูกผลึก การขัดผลึกให้เรียบ และต้องศึกษาหาสัดส่วนผสมของสารตั้งต้นทั้งสองที่เหมาะสมที่จะช่วยส่งเสริมทำให้คุณสมบัติแสงดีขึ้นโดยที่ไม่ส่งผลทำให้คุณภาพผลึกแยกลงไปมากนัก และอาจจะพิจารณานำสารอื่นเข้าร่วมด้วย

ภาคผนวก



ภาคผนวก ก.

คุณสมบัติของซีเซียมไดโอด และเทลเลียมไอโอดด์

Csl	
Cesium iodide	
Description Cesium iodide or cesium iodide (chemical formula Csl) is the ionic compound of cesium and iodine. It sometimes used for components in the widest range spectrophotometers. An extremely soft material it difficult to polish and so performance is compromised for range. Cesium iodide photocathodes are highly efficient at extreme ultraviolet wavelengths	
Properties	
Chemical formula	Csl
Molar mass	259.809 g/mol
Appearance	white crystalline solid
Density	4.51 g/cm ³
Melting point	632 °C (1,170 °F; 905 K)
Boiling point	1,280 °C (2,340 °F; 1,550 K)
Solubility in water	848 g/L (25 °C)
Magnetic susceptibility (χ)	-82.6·10 ⁻⁶ cm ³ /mol
Decay Constant (μ s)	0.03, 0.1
Emission spectra rage(nm)	250 to 500
Photons/MeV	16,800
Peak scintillation wavelength (nm)	310
Cleavage planes	None
Reflective index	1.78 at 10 °C
Shear modulus (G) (GPa)	6.24

Stability	Deliquescent
Temperature coefficient of light output (%K ⁻¹)	-0.53
Thermal expansion (K ⁻¹)	48.3x10 ⁻⁶ at 293 K
Youngs modulus (E)(GPa)	5.3
Bulk modulus(K) (GPa)	12.67
Apparent elastic limite (MPa)	5.6 (810psi)
Refractive index (nD)	1.9790 (0.3 μm)
Crystal structure	CsCl, cP2
Space group	Pm3m, No. 221
Lattice constant(nm)	0.4503
Lattice volume (V)	0.0913 nm ³
Formula units (Z)	1
Coordination geometry	Cubic (Cs ⁺), Cubic (I ⁻)
Heat capacity (C)	52.8 J/mol.K

CsI(Tl)	
Thallium doped Cesium iodide มหาวิทยาลัย	
Description CHULALONGKORN UNIVERSITY Thallium doped Cesium iodide (chemical formula CsI(Tl)) is one of the brightest scintillation material. It can be used in security inspection	
Properties	
Chemical formula	CsI(Tl)
Structure	BCC
Density	4.51 g/cm ³
Melting point	894
Specific heat (J.kg ⁻¹ .K ⁻¹)	0.048
Solubility in Alcohol	yes

Water solubility (g/100ml H ₂ O)	44 at 273 K
Decay Constant (μ s)	1.0
Emission spectra rage(nm)	375 to 725
Photons/MeV	60,000
Peak scintillation wavelength (nm)	550
Cleavage planes	No
Reflective index	1.79
Stability	Slightly hygroscopic
Temperature coefficient of light output (% °C ⁻¹)	+0.32
Youngs modulus (GPa)	5.3
After Grow	Approx. 2.0% after 2 ms Approx. 2.8% after 1 ms
Light escape from one face to air (%)	8.6 %
Light escape from one face to glass (%)	22.9 %
Gamma and x-ray absorption	10.00 at 100 keV
Gamma and x-ray coefficient (cm ⁻¹)	0.48 to 660 keV

ภาคผนวก ข.

คุณสมบัติสมบัติของขดลวดความร้อน

Physical and Mechanical Properties KANTHAL Alloys					
Heating Alloys	APM	A-1	A	AF	AE
Max continuous operating temperature (element temperature in air), °C °F	1425...2595	1400...2550	1350...2460	1300...2370	1300...2370
Nominal composition, % Cr Al Fe	5.8		22 Balance	5.3	
Density, g/cm ³ lb/in ³	7.10...0.256		7.15...0.258		
Electrical resistivity at 20 °C, Ω mm ² m ⁻¹ at 68 °F, Ω/cm ²	1.45...872		1.39...836		
Temperature factor of the resistivity, C _t 250 °C 480 °F 500 °C 930 °F 800 °C 1470 °F 1000 °C 1830 °F 1200 °C 2190 °F	1.00 1.01 1.03 1.04 1.04		1.01 1.03 1.05 1.06 1.06		
Coefficient of thermal expansion, K ⁻¹ 20-100 °C 68-210 °F 20-250 °C 68-480 °F 20-500 °C 68-930 °F 20-750 °C 68-1380 °F 20-1000 °C 68-1830 °F			— 11·10 ⁻⁶ 12·10 ⁻⁶ 14·10 ⁻⁶ 15·10 ⁻⁶		
Thermal conductivity at 50 °C, W m ⁻¹ K ⁻¹ 122 °F, Btu in ft ² h ⁻¹ F ⁻¹			11...76		
Specific heat capacity, kJ kg ⁻¹ K ⁻¹ , 20 °C Btu lb ⁻¹ F ⁻¹ , 68 °F			0.46 0.110		
Melting point (approx.), °C °F	1500...2730				
Mechanical properties *(approx.)					
Tensile strength, N mm ⁻² psi	680...98600**	760...110200	725...105200	700...101500	720...104400
Yield point, N mm ⁻² psi	470...68200**	545...79000	550...798000	500...72500	520...75400
Hardness, Hv	230	240	230		
Elongation at rupture, %	20**	20	22	23	20
Tensile strength at 900 °C, N mm ⁻² at 1650 °F, psi. Deformation rate 6.2 x 10 ⁻³ min ⁻¹	40 5900	34 4900		37 5400	34 4900
Creep strength*** at 800 °C, N mm ⁻² at 1470 °F, psi at 1000 °C, N mm ⁻² at 1830 °F, psi at 1100 °C, N mm ⁻² at 2010 °F, psi at 1200 °C, N mm ⁻² at 2190 °F, psi	8.2...1190 — — —	1.2...170 0.5...70 — —		— — 0.7...100 0.3...40	1.2...170 — — —
Magnetic properties	Magnetic (Curie point approx. 600 °C 1100 °F)				
Emissivity, fully oxidized condition	0.70				

KANTHAL A, AF, AE

Wire inch SWG

A: 0.325 – 0.002 in
 AE: 0.039 – 0.008 in
 AF: 0.325 – 0.004 in
 Resistivity Ω/cir.mil ft 837
 Density, lb/cu.in 0.258

$$R = \frac{FC}{p}$$

I = Current
 C_t = Temperature factor
 p = Surface load Win²

To obtain resistance at working temperature multiply by the factor C_t in the following table:

*F	68	212	392	572	752	932	1112	1292	1472	1652	1832	2012	2192	2372
C _t	1.00	1.00	1.01	1.01	1.02	1.03	1.04	1.04	1.05	1.05	1.06	1.06	1.06	1.05

Diameter SWG	inch	Resistance at 68°F Ω/ft	R ² /Ω at 68°F	Weight lb/1000 ft	Surface area in ² /ft	Cross sectional area in ² x 1000
0	0.324	0.00796	1530	255	12.2	82.4
1	0.300	0.00929	1220	219	11.3	70.7
2	0.276	0.0110	948	185	10.4	59.8
3	0.252	0.0132	722	154	9.50	49.9
4	0.232	0.0155	563	131	8.75	42.3
5	0.212	0.0186	430	109	7.99	35.3
6	0.192	0.0227	319	89.6	7.24	29.0
7	0.176	0.0270	246	75.3	6.64	24.3
8	0.160	0.0327	185	62.2	6.03	20.1
9	0.144	0.0403	135	50.4	5.43	16.3
10	0.128	0.0510	94.6	39.8	4.83	12.9
11	0.116	0.0621	70.4	32.7	4.37	10.6
12	0.104	0.0773	50.7	26.3	3.92	8.49
13	0.0920	0.0988	35.1	20.6	3.47	6.65
14	0.0800	0.131	23.1	15.8	3.02	5.03
15	0.0720	0.161	16.8	12.6	2.71	4.07
16	0.0640	0.204	11.8	10.0	2.41	3.22
17	0.0560	0.267	7.92	7.83	2.11	2.46
18	0.0480	0.363	4.99	5.60	1.81	1.81
19	0.0400	0.523	2.89	3.89	1.51	1.26
20	0.0360	0.645	2.10	3.15	1.36	1.02
21	0.0320	0.816	1.48	2.49	1.21	0.804
22	0.0280	1.07	0.990	1.91	1.06	0.616
23	0.0240	1.45	0.623	1.40	0.905	0.452
24	0.0220	1.73	0.480	1.18	0.829	0.380
25	0.0200	2.09	0.361	0.973	0.754	0.314
26	0.0180	2.58	0.263	0.798	0.679	0.254
27	0.0164	3.11	0.199	0.654	0.618	0.211
28	0.0148	3.82	0.146	0.533	0.558	0.172
29	0.0136	4.52	0.113	0.450	0.513	0.145
30	0.0124	5.44	0.0860	0.374	0.467	0.121
31	0.0116	6.21	0.0704	0.327	0.437	0.106
32	0.0108	7.17	0.0568	0.284	0.407	0.0916
33	0.0100	8.36	0.0451	0.243	0.377	0.0765
34	0.00920	9.88	0.0351	0.206	0.347	0.0665
35	0.00840	11.8	0.0267	0.172	0.317	0.0554
36	0.00760	14.5	0.0198	0.140	0.287	0.0454
37	0.00680	18.1	0.0142	0.112	0.256	0.0363
38	0.00600	23.2	0.00974	0.0875	0.226	0.0283
39	0.00520	30.9	0.00634	0.0658	0.196	0.0212
40	0.00480	36.3	0.00499	0.0560	0.181	0.0181
41	0.00440	43.2	0.00384	0.0471	0.166	0.0152
42	0.00400	52.3	0.00289	0.0389	0.151	0.0126
43	0.00360	64.5	0.00210	0.0315	0.136	0.0102
44	0.00320	81.6	0.00148	0.0249	0.121	0.00804
45	0.00280	107	0.000990	0.0191	0.106	0.00616
46	0.00240	145	0.000623	0.0140	0.0905	0.00452
47	0.00200	209	0.000361	0.00973	0.0754	0.00314
48	0.00160	327	0.000185	0.00622	0.0603	0.00201

ภาคผนวก ค.
คุณสมบัติของอิฐทนไฟ

Properties Type	INSULATING FIREBRICK	
	C 1	C 2
Maximum service Temperature (°C)	1300	1400
Bulk Density G/Cm ³	1.06	1.14
Thermal conductivity K Cal/mh C at 300 °C (mean)	0.28	0.32
Rehead shrinkage % at C x 8 hrs	0.57 (1300)	0.59 (1400)
Cold Shushing Strength Kg/Cm ²	63	78
Modulus of Rupture (Kg/cm)	25	32
Thermal Expansion % at °C	0.51 (1000)	0.49 (1000)
Chemical Composition %	30	35
AL ₂ O ₃	65	61
Si O ₂	1.8	1.6
Fe ₂ O ₃		
Raw material	Fire clay	

ภาคผนวก ง.
ข้อมูลอุปกรณ์ควบคุมอุณหภูมิ

1. Specifications

● Standard spec.

Model	FY400	FY600	FY700	FY800	FY900
Dimension	48X48mm	96X48mm	72X72mm	48X96mm	96X96mm
Supply voltage	AC 85~265V · DC 15~50V (Option)				
Frequency	50 / 60 HZ				
Power consumption	approx 3VA	approx 4VA	approx 3VA	approx 4VA	approx 4VA
Accuracy	0.2 % FS ± 1digit				
Sample time	250ms				
TC	K , J , R , S , B , E , N , T , W5Re/W26Re , PLII , U , L				
RTD	PT100,JPT100,JPT50				
Input mA dc	4~20mA ,0~20mA				
mV / V dc	0~1V,0~5V,0~10V,1~5V,2~10V -10~10mV,0~10mV,0~20mV,0~50mV,10~50mV				
Decimal point position	0000 , 000.0 , 00.00 , 0.000 Available for linear input (mA / mV / V)				
Output 1 Relay	SPST type	SPDT type	SPST type	SPDT type	SPDT type
Voltage pulse	3A , 220V , electrical life:100,000 times or more (under rated load)				
mA dc	For SSR drive. ON : 24V , OFF : 0V , max load current : 20mA				
Voltage dc	4~20mA, 0~20mA. Maximum load resistance:560 Ω				
Alarm 1	0~5V , 0~10V , 1~5V , 2~10V . Max load current:20mA				
Control algorithm	3A , 220V , electrical life:100,000 times or more (under rated load)				
PID range	PID · PI · PD · P · ON / OFF(P=0) · FUZZY ·				
Isolation	P: 0.0 ~ 200.0 % · I: 0~3600s · D: 0~900s				
Isolated resistance	Output terminals(control output , alarm , transmission) and input terminals are isolated separately				
Dielectric strength	10MΩ or more between input and case (ground) at DC 500 V 10MΩ or more between output and case (ground) at DC 500 V				
Operating temperature	1000V AC for 1 minute between input terminal and case (ground) 1500V AC for 1 minute between output terminal and case (ground)				
Humidity range	0~50℃				
Weight	20~90%RH				
Display Height	150g	225g	225g	225g	300g
	PV:7mm SV:7mm	PV:7mm SV:7mm	PV:14mm SV:10mm	PV:7mm SV:7mm	PV:14mm SV:10mm

● **Optional Spec.**

Model	FY400	FY600	FY700	FY800	FY900
Output 2	For heating and cooling control use. Relay , SSR , 4~20mA , 0~20mA , 0~5V , 0~10V , 1~5V , 2~10V				
Alarm 2	SPST type	SPDT type	SPST type	SPDT type	SPDT type
	3A , 220V , electrical life:100,000 times or more (under rated load)				
Alarm 3	Not available	Available	Available	Available	Available
	SPST type	SPST type	SPST type	SPST type	SPST type
	3A , 220V , electrical life:100,000 times or more (under rated load)				
Heater Break Alarm (HBA)	Display range of heater current : 0.0~99.9A , Accuracy : 1%FS				
	Included CT : SC-80-T				
	Alarm relay : AL1				
Transmission	Available for PV or SV transmission				
	4~20mA , 0~20mA , 0~1V , 0~5V , 0~10V , 1~5V , 2~10V				
Remote SV	4~20mA , 0~20mA , 0~1V , 0~5V , 0~10V , 1~5V , 2~10V				
Communication	Protocol : MODBUS RTU , MODBUS ASCII , TAIE				
	RS232 , RS485 , TTL				
	Baud rate: 2400 , 4800 , 9600 , 19200 , 38400 bps.				
	Data bits : 8 , Stop bit : 1 or 2bit , Odd or Even parity.				
Water/Dust proof	IP65				

● **Special control output (OUT1)**

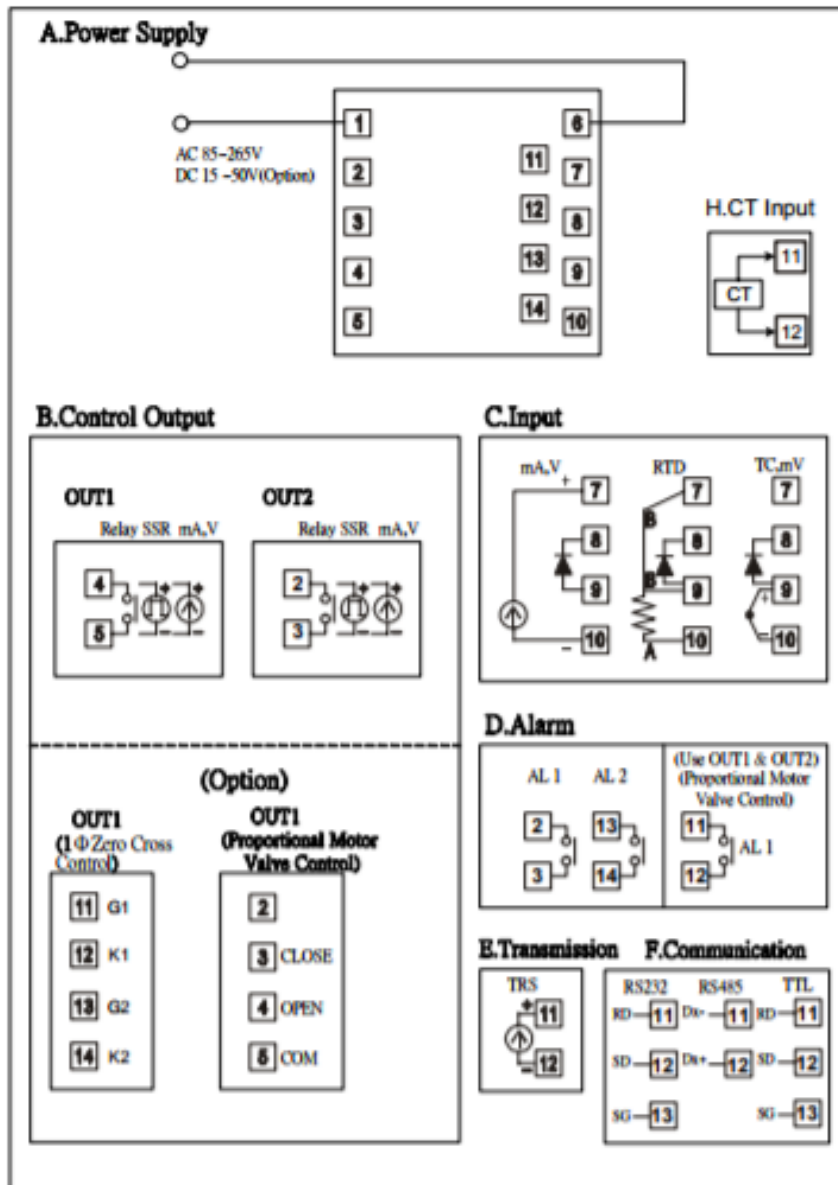
Model	FY400	FY600	FY700	FY800	FY900
1φ zero crossing control(1φSSR)	Available	Not available	Available	Not available	Available
3φ zero crossing control(3φSSR)	Not available				Available
Motor valve control	Available				
1φ phase angle control(1φSCR)	Not available	Available			
3φ phase angle control(3φSCR)	Not available				Available

● **Programmable RAMP/SOAK**

Model	PFY400	PFY600	PFY700	PFY800	PFY900
Programmable RAMP/SOAK	2 patterns with 8 segments each. The 2 patterns can be linked together as 16 segments use.				

3. Terminal arrangement

3.1 FY400 Terminals (48mm x 48mm , DIN 1/16)



ภาคผนวก จ.

ข้อมูลการกำหนดของหลอดทวิคูณแสง

Photosensor Modules H5773/H5783/H6779/H6780 Series



The H5773/H5783/H6779/H6780 series are photosensor modules housing a metal package PMT and high-voltage power supply circuit. The metal package PMTs have a metallic package with the same diameter as a TO-8 package used for semiconductor photodetectors, and deliver high gain, wide dynamic range and high-speed response while maintaining small dimensions identical to those of photodiodes. The internal high-voltage power supply circuit is also compact, making the module easy to use.

Considering the mounting methods, a cable output type and a pin output type are provided, and a total of 7 types are available according to the wavelength range to be measured. A P-type is also available with selected gain and dark count ideal for photon counting under extremely low light conditions.

Product Variations

Suffix	None	-01	-02	-03	-04	-06	-20	Output Type	Features
Type No.	None	-01	-02	-03	-04	-06	-20	Output Type	Features
H5773	yes	yes	yes	yes	yes	yes	yes	On-board	Low power consumption
H5783	yes	yes	yes	yes	yes	yes	yes	Cable output	
H5773P	yes	no	no	no	no	no	no	On-board	For photon counting
H5783P	yes	no	no	no	no	no	no	Cable output	Low power consumption
H6779	yes	yes	yes	yes	yes	yes	yes	On-board	Low ripple noise
H6780	yes	yes	yes	yes	yes	yes	yes	Cable output	Fast settling time

Suffix	Spectral Response
None	300 nm to 650 nm
-01	300 nm to 850 nm
-02	300 nm to 880 nm
-03	185 nm to 650 nm
-04	185 nm to 850 nm
-06	185 nm to 650 nm
-20	300 nm to 900 nm

The suffix -06 type (synthetic silica window) has higher sensitivity than the -03 type below 300 nm in wavelength range.

Specifications

Parameter		H5773 / H5783 / H6779 / H6780 Series						Unit	
Suffix		None	-03, -06	-01, -04	-02	-20		—	
Input Voltage		+11.5 to +15.5						V	
Max. Input Voltage		+18						V	
Max. Input Current		H5773 / H5783 Series: 9 H6779 / H6780 Series: 30						mA	
Max. Output Signal Current		100						μA	
Max. Control Voltage		+1.0 (Input impedance 100 kΩ)						V	
Recommended Control Voltage Adjustment Range		+0.25 to +0.9						V	
Effective Area		φ8						mm	
Sensitivity Adjustment Range		1: 10 ⁴						—	
Peak Sensitivity Wavelength		420	420	400	500	630		nm	
Cathode	Luminous Sensitivity	Min.	40	40	80	200	350	μA/lm	
		Typ.	70	70	150	250	500		
	Blue Sensitivity Index (CS 5-58)		8	8	—	—	—	—	
Red/White Ratio		—	—	0.2	0.25	0.45	—	—	
Radiant Sensitivity *1		62	62	60	58	78		mA/W	
Anode	Luminous Sensitivity	Min.	10	10	15	25	35	A/lm	
		Typ.	50	50	75	125	250		
	Radiant Sensitivity ** 2		4.3 × 10 ⁴	4.3 × 10 ⁴	3.0 × 10 ⁴	2.9 × 10 ⁴	3.9 × 10 ⁴	A/W	
P. Type	Dark Current ** 3	Typ.	0.2	0.2	0.4	2	2	nA	
		Max.	2	2	4	20	20		
	Gain *2	Min.	7.5 × 10 ⁶	—	—	—	—	—	
	Typ.	1 × 10 ⁶	—	—	—	—	—		
Radiant Sensitivity ** 2		6.2 × 10 ⁴	—	—	—	—	A/W		
Dark Count ** 3	Typ.	80	—	—	—	—	s ⁻¹		
	Max.	400	—	—	—	—	—		
Rise Time *2		0.78						ns	
		H5773 Series		H5783 Series		H6779 Series		H6780 Series	
Ripple Noise ** 4 (peak to peak) Max.		1.2		—		0.6		mV	
Settling Time *5		2		—		0.2		s	
Operating Ambient Temperature		+5 to +50			+5 to +45			°C	
Storage Temperature		-20 to +50						°C	
Weight		60	80	60	80			g	

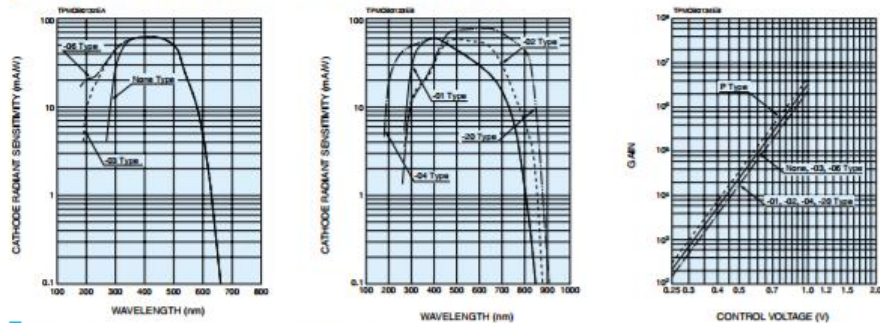
*1: Measured at the peak sensitivity wavelength *2: Control voltage = +0.8 V *3: After 30 minute storage in darkness

*4: Cable RG-174UJ, Cable length 450 mm, Load resistance = 1 MΩ, Load capacitance = 22 pF

*5: The time required for the output to reach a stable level following a change in the control voltage from +1.0 V to +0.5 V.

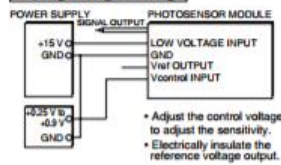
Current Output Type Photosensor Modules

Characteristics (Cathode radiant sensitivity, Gain)

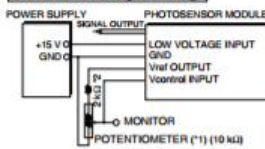


Sensitivity Adjustment Method

Voltage Programming



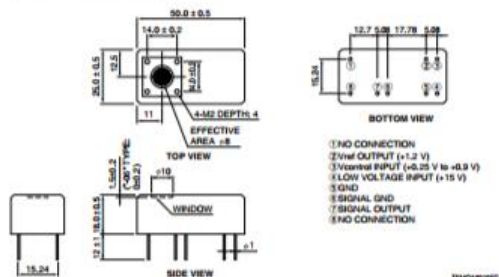
Resistance Programming



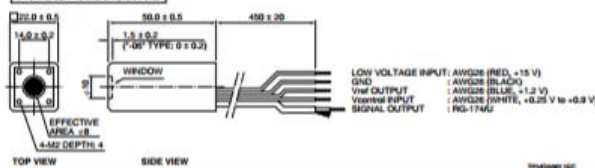
- *1: When using a potentiometer to adjust sensitivity, monitor the control voltage so it does not exceed +1.0 V.
- *2: H6779/H6780 series has this 2 kΩ resistor. No external resistor is needed.

Dimensional Outlines (Unit: mm)

H5773/H6779 Series

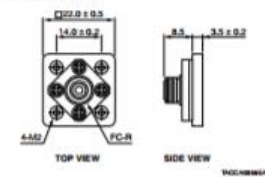


H5783/H6780 Series

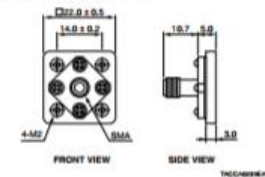


Option (Optical Fiber Adaptor) (Unit: mm)

E5776 (FC Type)



E5776-51 (SMA Type)



ภาคผนวก ฉ.
ฐานข้อมูล XRD ของ CsI

00-006-0311

Jul 6, 2021 5:37 PM (User)

Status Primary QM: Star Pressure/Temperature: Ambient Chemical Formula: Cs I
Empirical Formula: Cs I Weight %: Cs51.16 I48.84 Atomic %: Cs50.00 I50.00
Compound Name: Cesium Iodide

Radiation: CuK α : 1.5405Å Filter: Ni Beta Intensity: Diffractometer

SYS: Cubic SPGR: Pm-3m (221)
Author's Cell [AuthCell a: 4.5679Å AuthCell Vol: 95.31Å³ AuthCell Z: 1.00 AuthCell MolVol: 95.31]
Density [Dcalc: 4.526g/cm³ SS/FOM: F(15) = 49.0(0.0113, 27)
Temp: 299.000K (Author provided temperature)

Space Group: Pm-3m (221) Molecular Weight: 259.81
Crystal Data [XtlCell a: 4.568Å XtlCell b: 4.568Å XtlCell c: 4.568Å XtlCell : 90.00° XtlCell : 90.00°
XtlCell : 90.00° XtlCell Vol: 95.31Å³ XtlCell Z: 1.00]
Crystal Data Axial Ratio [a/b: 1.000 c/b: 1.000]
Reduced Cell [RedCell a: 4.568Å RedCell b: 4.568Å RedCell c: 4.568Å RedCell : 90.00°
RedCell : 90.00° RedCell : 90.00° RedCell Vol: 95.31Å³]

Crystal (Symmetry Allowed): Centrosymmetric

CAS: 7789-17-5 Pearson: cP2.00 Prototype Structure: Cs Cl Prototype Structure (Alpha Order): Cl Cs
Subfile(s): Educational Pattern, Common Phase, NBS Pattern, Inorganic, Primary Pattern
Last Modification Date: 01/11/2013
Cross-Ref PDF #'s: 04-002-7015, 04-005-4225, 04-006-2282, 04-006-2818, 04-006-9243, 04-007-3148

References:

Type	DOI	Reference
Primary Reference		Swanson et al. Natl. Bur. Stand. (U. S.), Circ. 539 IV, 47 (1955).

Database Comments: Analysis: Spectroscopic analysis: 0.0025% K; 0.001% Na, Br, Cl; <0.001% Ca, Mg. Color: Colorless.
Sample Source or Locality: Sample from the Harshaw Chemical Company. Temperature of Data Collection: Pattern taken at 299 K. Unit Cell Data Source: Powder Diffraction.

d-Spacings (15) - 00-006-0311 (Fixed Slit Intensity) - Cu K1 1.54056Å

2 θ	d(Å)	I	h	k	l	*	2 θ	d(Å)	I	h	k	l	*	2 θ	d(Å)	I	h	k	l	*
27.5933	3.230000	100	1	1	0		71.4630	1.319000	4	2	2	2		104.5285	0.974000	20	3	3	2	
39.4189	2.284000	20	2	0	0		78.2272	1.221000	10	3	2	1		111.4237	0.932300	2	4	2	2	
48.7892	1.865000	35	2	1	1		84.8216	1.142100	2	4	0	0		118.6277	0.895700	4	5	1	0	
56.9732	1.615000	18	2	2	0		91.3642	1.076600	6	4	1	1		134.9155	0.834000	2	5	2	1	
64.4257	1.445000	8	3	1	0		97.8879	1.021500	4	4	2	0		145.0725	0.807500	2	4	4	0	



จุฬาลงกรณ์มหาวิทยาลัย
CHULALONGKORN UNIVERSITY

บรรณานุกรม

- Iida, T., Kamada, K., Yoshino, M., Kim, K. J., Ichimura, K., & Yoshikawa, A. (2020). High-light-yield calcium iodide (CaI_2) scintillator for astroparticle physics. *Nuclear Instruments and Methods in Physics Research Section A: Accelerators, Spectrometers, Detectors and Associated Equipment*, 958, 162629. doi:<https://doi.org/10.1016/j.nima.2019.162629>
- Jitpukdee, M., Wongsawaeng, D., & Punnachaiya, S. (2011). Applied Moving-Temperature-Gradient Technique for CsI(Tl) Crystal Growth. *Journal of Nuclear Science and Technology*, 48(9), 1250-1255. doi:10.1080/18811248.2011.9711813
- Stand, L., Zhuravleva, M., Chakoumakos, B., Wei, H., Johnson, J., Martin, V., . . . Melcher, C. L. (2019). Characterization of mixed halide scintillators: CsSrBr₂:Eu, CsCaBr₂:Eu and CsSrClBr₂:Eu. *Journal of Luminescence*, 207, 70-77. doi:<https://doi.org/10.1016/j.jlumin.2018.10.108>
- Yanagida, T. (2018). Inorganic scintillating materials and scintillation detectors. *Proceedings of the Japan Academy, Series B*, 94(2), 75-97. doi:10.2183/pjab.94.007
- Zhang, Z., Zhao, Q., Li, Y., & Ouyang, X.-P. (2016). Electronic structure and optical properties of CsI, CsI(Ag), and CsI(Tl). *Journal of the Korean Physical Society*, 68, 1069-1074. doi:10.3938/jkps.68.1069
- Zhao, Q., Zhang, Z., & Ouyang, X. (2017). Electronic structure and optical properties of CsI under high pressure: a first-principles study. *RSC Advances*, 7(83), 52449-52455. doi:10.1039/C7RA08777B
- Sintham, P. (2017). Effects of Gamma ray Irradiation on Structural and Optical properties of CsI: Tl Crystals. Thesis. Department of Nuclear Engineering, Faculty of Engineering, Chulalongkorn University
- Klimonsky S, K. F. Sheberstov, A. E. Gold'dt, A. S. Sinitskii, V. Yu. Yokovlev and L. N. Trefilova. (2011). Synthesis and Properties of Nanocrystalline CsI. *Inorganic Materials*, Vol. 47, No. 9, pp. 1033-1038
- Persson and Kristin. (2014). Materials data on CaI_2 (SG: 164) by materials project.

Accessed 14 Aug. 2021. <https://materialsproject.org/materials/mp-30031/>

Wadeng I. (2017). Development of CsI crystal by multi-doping technique. Thesis.
Department of Nuclear Engineering, Faculty of Engineering, Chulalongkorn
University

Liaw. Pho Yee, N. K. Farhana, Fatin Saiha Omar, V.Sundarajan, Shahid Bashir, Norshahirah
M. and saidi, S. Ramesh. (2019). Enhancing efficiency of dye sensitivity solar cells
based on poly (propylene) carbonate polymer gel electrolytes incorporating
double salts. Springer nature. 26:493-502





จุฬาลงกรณ์มหาวิทยาลัย
CHULALONGKORN UNIVERSITY

ประวัติผู้เขียน

ชื่อ-สกุล	นายประวิทย์ บัวบาน
วัน เดือน ปี เกิด	19 กรกฎาคม 2525
สถานที่เกิด	จังหวัดนครราชสีมา
วุฒิการศึกษา	สำเร็จการศึกษาปริญญาวิทยาศาสตรบัณฑิต ภาควิชาฟิสิกส์ คณะ วิทยาศาสตร์ มหาวิทยาลัยเทคโนโลยีพระจอมเกล้าธนบุรี ในปีการศึกษา 2547 และเข้าศึกษาต่อในหลักสูตรวิทยาศาสตรมหาบัณฑิต ภาควิชา วิศวกรรมนิวเคลียร์ คณะวิศวกรรมศาสตร์ จุฬาลงกรณ์มหาวิทยาลัย เมื่อ พ.ศ. 2561
ที่อยู่ปัจจุบัน	12/11 หมู่ 7 ตำบลชะแล อำเภอดอนจานบุรี จังหวัดกาฬสินธุ์ 71180

